

**საქართველოს ტემინიური უნივერსიტეტი
ჰიდრომეტეოროლოგიის ინსტიტუტი**

შ03რ0 № IHM-19-40- GTU-CD-5702

“ გ ა მ ტ კ ი ც ე ბ ”

**საქართველოს ტექნიკური უნივერსიტეტის
ჰიდრომეტეოროლოგიის ინსტიტუტის**

დირექტორი

თ.ცინცაძე

“ 25 ” დეკემბერი 2019 წ.



**საქართველოს ცალკეული აღმინისტრაციული რეგიონების
კლიმატის, კლიმატური და აგროკლიმატური რესურსების პლანა**

8. რაჭა-ლეჩხემი მგემო სვანეთი

(დასკვნითი ანგარიში)

**საქართველოს ტექნიკური უნივერსიტეტის
ჰიდრომეტეოროლოგიის ინსტიტუტის
სამეცნიერო საბჭოს თავჯდომარე,**

გიორგი მელაძე

**საქართველოს ტექნიკური უნივერსიტეტის
ჰიდრომეტეოროლოგიის ინსტიტუტის
კლიმატოლოგიის და აგრომეტეოროლოგიის
განყოფილების გამგე,**

ელიზბარ ელიზბარაშვილი

**პროექტის ხელმძღვანელი კლიმატოლოგიის
და აგრომეტეოროლოგიის განყოფილების გამგე,
გეოგრაფიის მეცნიერებათა დოქტორი, პროფესორი
ელიზბარ ელიზბარაშვილი**

თბილისი

2 0 1 9

რეზიუმე
საქართველოს ცალკეული ადმინისტრაციული რეგიონების კლიმატის, კლიმატური და აგროკლიმატური რესურსების კვლევა.
8. რაჭა-ლეჩხუმი, ქვემო სვანეთი

გამოკვლეულია რაჭა-ლეჩხუმი ქვემო სვანეთის რეგიონის კლიმატის ფორმირების ძირითადი ფაქტორები: რელიეფი, რადიაციული ფაქტორები, ატმოსფეროს ცირკულაციური პროცესები; კლიმატის ძირითადი ელემენტების ტერიტორიული განაწილების კანონზომიერებანი: ჰაერის ტემპერატურა, ჰაერის სინოტივე, ატმოსფერული ნალექები, თოვლის საფარი, ქარი. შეფასებულია რეგიონის კლიმატური რესურსების პოტენციალი: საკურორტო რესურსები, ჰელიოენერგეტიკული რესურსები, ქარის ენერგეტიკული რესურსები. განსაკუთრებული ყურადღება ეთმობა აგროკლიმატურ რესურსებს და პროგნოზებს. განხილულია ამინდის საშიში მოვლენები: ძლიერი ქარები, ქარბუქი, ნისლი, ინტენსიური და უხვი ნალექები, წაყინვები.

Summary

Study of climate, climatic and agroclimatic resources of certain administrative regions of Georgia **8. Racha-Lechkhumi, Kvemo Svaneti**

The main factors shaping the climate of Racha-Lechkhumi Kvemo Svaneti were studied: topography, atmospheric radiation factors, circulation processes; regularities of the territorial distribution of the main climatic elements: air temperature and humidity, atmospheric precipitation, snow cover, wind; potential of climatic resources: resort, helio and wind energy resources; considerable attention is paid to agroclimatic resources and forecasts; considered dangerous weather phenomena: strong winds, blizzards, fogs, intense and heavy rainfall, frosts.

Резюме

Исследование климата, климатических и агроклиматических ресурсов отдельных административных регионов Грузии **8. Рача-Лечхуми, Квемо Сванети**

Исследованы основные факторы формирования климата Рача-Лечхуми Квемо Сванети: рельеф, радиационные факторы атмосферы, циркуляционные процессы; закономерности территориального распределения основных климатических элементов: температура и влажность воздуха, атмосферные осадки, снежный покров, ветер; потенциал климатических ресурсов: курортные, гелио и ветроэнергетические ресурсы; значительное внимание уделено агроклиматическим ресурсам и прогнозам; рассмотрены опасные явления погоды: сильные ветры, метели, туманы, интенсивные и обильные осадки, заморозки.

რეზერატი

ანგარიში შეიცავს: 129 გვერდს, 64 ცხრილს, 28 ნახატს, 102 ლიტერატურულ წყაროს

საკვანძო სიტყვები: ქლიმატი, ქლიმატური ფაქტორები, ქლიმატური რესურსები, აგროკლიმატური რესურსები, საშიში მეტეოროლოგიური მოვლენები

წინამდებარე ანგარიშში წარმოდგენილია რაჭა-ლეჩხუმი და ქვემო სვანეთის რეგიონის კლიმატის, კლიმატური და აგროკლიმატური რესურსების კვლევა. ნაშრომი შესრულებულია წინასწარ შემუშავებული სტანდარტის შესაბამისად, შედგება შესავლისა, 5 თავისაგან და ლიტერატურის სიისაგან, რაც წარმოდგენილია ცალკე თავების მიხედვით.

პირველ თავში განხილულია კლიმატის ფორმირების ძირითადი ფაქტორები, კერძოდ ფიზიკურ-გეოგრაფიული პირობები, კლიმატის რადიაციული ფაქტორები, ატმოსფერული პაერის წნევა და ატმოსფეროს ცირკულაციური პროცესები.

ანგარიშის მეორე თავი ეთმობა კლიმატის ძირითადი ელემენტების ტერიტორიული განაწილების კანონზომიერებების გამოვლენას. განხილულია ძირითადი კლიმატური ელემენტები: პაერის ტემპერატურა, პაერის სინოტიკე, ატმოსფერული ნალექები, თოვლის საფარი და ქარი.

მესამე თავი ეძღვნება რეგიონის კლიმატური რესურსების გამოვლენას, გაანალიზებას და მათი რაციონალურად გამოყენების რეკომენდაციების შემუშავებას. შეფასებულია საკურორტო, ჰელიოენერგეტიკული და ქარის ენერგეტიკული რესურსები.

ცალკე თავი ეთმობა აგროკლიმატურ რესურსებს და აგრომეტეოროლოგიურ პროგნოზებს. გამოკვლეულია აგროკულტურების სითბოთი და ტენით უზრუნველყოფა, დადგენილია აგროკლიმატური ზონები, შესწავლილია აგროკულტურებისათვის ამინდის არახელსაყრელი მოვლენები და დამუშავებულია აგრომეტეოროლოგიური პროგნოზების სქემები.

დასკვნით მე-5 თავში გაანალიზებულია ამინდის საშიში და სტიქიური მოვლენები: ძლიერი ქარები, ქარბუქი, ნისლი, წაყინვები, ინტენსიური და უხვი ატმოსფერული ნალექები.

შემსრულებელთა სია

პასუხისმგებელი შემსრულებელი:	სახელი, გვარი	ხელისმოწერა
კლიმატოლოგიის და აგრომეტეოროლოგიის განყოფილების გამგე, გეგრაფიის მეცნ.დოქტორი, პროფესორი	ელიზბარ ელიზბარაშვილი	
განყოფილების მთ.მეცნ თანამშრომელი გეორაფიის მეცნ.დოქტორი	რევაზ სამუკაშვილი	
განყოფილების მთ.მეცნ თანამშრომელი ს/მ მეცნ.დოქტორი, პროფესორი	გიორგი მელაძე	
განყოფილების უფრ.მეცნ თანამშრომელი ფიზ-მათ მეცნ.კანდიდატი	ჯემალ ვაჩნაძე	
განყოფილების მთ.მეცნ თანამშრომელი ს/მ მეცნ.კანდიდატი	მაია მელაძე	
შემსრულებლები:		
1 უფრ.მეცნ თანამშრომელი გეოგრ.მეცნ.დოქტორი	ლიანა ქართველიშვილი	
2 უფრ.მეცნ თანამშრომელი გეოგრაფიის დოქტორი	მიხეილ ფიფია	
3 მეცნიერ თანამშრომელი	ციცინო დიასამიძე	
4 მეცნ თანამშრომელი ფიზ-მათ მეცნ.კანდიდატი	ნანა ჭელიძე	
5 მეცნ თანამშრომელი გეოგრაფიის დოქტორი	ნინო შავიშვილი	
6 მეცნიერ თანამშრომელი გეოგრაფიის დოქტორი	შალვა ელიზბარაშვილი	

შინაარსი

1	შესაგალი (ე.ელიზბარაშვილი)	7
2	თავი I. პლიმატის ფორმირების ძირითადი ფაზები	8
	1.1 ფიზიკურ-გეოგრაფიული პირობები (რ.სამუკაშვილი, ც.დიასამიძე)	8
	1.2 კლიმატის რადიაციული ფაქტორები (რ.სამუკაშვილი)	11
	1.3 ატმოსფერული ჰაერის წნევა (რ.სამუკაშვილი)	24
	1.4 ატმოსფეროს ცირკულაციური პროცესები (ჯ.ვაჩნაძე, რ.სამუკაშვილი, ც.დიასამიძე)	26
3	თავი II პლიმატის ძირითადი ელემენტების ტერიტორიული განაწილების პარონზომილებები	28
	2.1 ჰაერის ტემპერატურა (ე.ელიზბარაშვილი, ნ.ჭელიძე)	28
	2.2 ჰაერის სინოტივე (ე.ელიზბარაშვილი, ნ.ჭელიძე)	35
	2.3 ატმოსფერული ნალექები (ე.ელიზბარაშვილი, შ.ელიზბარაშვილი)	39
	2.4 თოვლის საფარი (რ.სამუკაშვილი)	41
	2.5 ქარი (რ.სამუკაშვილი)	47
4	თავი III პლიმატური რეზულსების კონცენტრაცია	54
	3.1 საკურორტო კლიმატური რესურსები (ე.ელიზბარაშვილი, ლ.ქართველიშვილი, ნ.შავიშვილი)	54
	3.2 ჰელიოენერგეტიკული რესურსები (რ.სამუკაშვილი, ც.დიასამიძე)	56
	3.3 ქარის ენერგეტიკული რესურსები (რ.სამუკაშვილი, ჯ.ვაჩნაძე, ც.დიასამიძე)	59
5	თავი IV აბროპლიმატური რეზულსები	69
	4.1 აგროკულტურების სითბოთი და ტენით უზრუნველყოფა (მ.მელაძე, გ.მელაძე)	69
	4.2 აგროკლიმატური ზონები (გ.მელაძე, მ.მელაძე)	75
	4.3 აგროკულტურებისათვის ამინდის არახელსაყრელი მოვლენები (მ.მელაძე, გ.მელაძე)	78
	4.4 აგრომეტეოროლოგური პროგნოზები (გ.მელაძე, მ.მელაძე)	86
6	თავი V ამინდის საშიში მოვლენები	89
	5.1 ძლიერი ქარები (რ.სამუკაშვილი)	89
	5.2 ქარბუქი (რ.სამუკაშვილი, ჯ.ვაჩნაძე, მ.ფიფია)	+2

5.3	ნისლი (რ.სამუკაშვილი, ჯ.გაჩნაძე, ც.დიასამიძე)	98
5.4	წაყინვები (ჯ.გაჩნაძე, რ.სამუკაშვილი, ც.დიასამიძე)	100
5.5	ინტენსიური და უხვი ატმოსფერული ნალექები (შ.ელიზბარაშვილი)	109
დასკვნა		111
ლიტერატურა პირგელი თავის		113
ლიტერატურა მეორე თავის		114
ლიტერატურა მესამე თავის		115
ლიტერატურა მეოთხე თავის		117
ლიტერატურა მეხუთე თავის		118

შმაგალი

დასკვნითი ანგარიში წარმოადგენს საქართველოს ტექნიკური უნივერსიტეტის პიდრომეტეოროლოგიის ინსტიტუტის სამეცნიერო-კვლევითი გეგმით გათვალისწინებულ ნაშრომს. მასში განხილულია რაჭა-ლეჩხეუმი, ქვემო სვანეთის კლიმატი და კლიმატური რესურსები.

კვლევაში გამოყენებულია რაჭა-ლეჩხეუმის და ქვემო სვანეთის რეგიონში არსებული მეტეოროლოგიური სადგურების დაკვირვებათა მონაცემები დაწყებული დღიდან მათი დაარსებისა დამთავრებული იმ დრომდე, როდემდეც ფუნქციონირებდა სადგური და აგრეთვე საქართველოს ტექნიკური უნივერსიტეტის პიდრომეტეოროლოგიური ინსტიტუტის მონაცემთა ბაზები. დაკვირვებათა მონაცემების დამუშავებაში გამოიყენებოდა კლიმატოლოგიაში აპრობირებული მონაცემთა ინტერპოლაციის და ექსტრაპოლაციის მეთოდები.

ნაშრომი შესრულებულია პიდრომეტეოროლოგიის ინსტუტის სამეცნიერო სამუშაოთა თემატური გეგმის შესაბამისად პროფესორ ე.ელიზბარაშვილის ხელმძღვანელობით. პასუხისმგებელი შემსრულებლებია გეოგრაფიის მეცნ. დოქტორი რ.სამუკაშვილი, სოფლის მეურნეობის მეცნ. დოქტორი, პროფესორი გ.მელაძე, ფიზ.მათ. მეცნ. აკად. დოქტორი ჯ.ვაჩნაძე, სოფლის მეურნეობის მეცნ. აკად. დოქტორი მ.მელაძე.

ნაშრომში წარმოდგენილი ცხრილები და გრაფიკული მასალა შეასრულა ც.დიასამიძემ.

ამ მიმართულების კვლევები ქვეყნდება სერიით “საქართველოს ჰავა”. უკვე შესრულებულია 7 ტომი:

1. აჭარა. პიდრომეტეოროლოგიის ინსტიტუტის შრომები, ტ. 110, 2003.
2. აფხაზეთი. პიდრომეტეოროლოგიის ინსტიტუტის შრომები, ტ.112, 2006.
3. სამეცნიერო-ზემო სვანეთი. პიდრომეტეოროლოგიის ინსტიტუტის შრომები, ტ.113, 2010
4. გურია. პიდრომეტეოროლოგიის ინსტიტუტის შრომები, ტ. 118, 2011.
5. შიდა ქართლი. პიდრომეტეოროლოგიის ინსტიტუტის შრომები, ტ. 122, 2016.
6. იმერეთი.
7. კახეთი.

ნაშრომი განკუთვნილია კლიმატოლოგებისათვის, გეოგრაფებისათვის, აგრონომებისათვის, აგრომეტეოროლოგებისათვის, ენერგეტიკოსებისათვის, მედიცინის მუშაკთათვის და მკიონებელთა ფართო წრისათვის, ვინც დაინტერესებულია რაჭა-ლეჩხეუმი, ქვემო სვა-

ნეთის რეგიონის კლიმატური რესურსებით და მათი რაციონალურად გამოყენების პერსპექტივებით.

ის გამოადგება სპეციალისტებს, რომლებიც მუშაობენ ბუნებრივი რესურსების გამოვლენისა და ათვისების, სამოქალაქო და სამრეწველო ნაგებობების, კავშირგაბ-მულობის, ელექტროგადამცემი და მიღსადენი ხაზების დაგეგმარების და პროექტი-რების დარგში და სხვ.

თავი I. პლიმატის ზორამირების ძირითადი ფაზორები

1.1. ზოზიპშრ-ბეობრაზიული პირობები

რაჭა-ლეჩხეუმის რეგიონს უკავია ცენტრალური კავკასიონის სამხრეთი ფერდობის ნაწილი. მისი ტერიტორია შემოსაზღვრულია კავკასიონის, სამეგრელოსა, ლეჩხეუმის და რაჭის ქედებით, ხვამლისა და ასხის მასივებით. რაჭა-ლეჩხეუმი წარმოადგენს მთიან რეგიონს ძლიერ დანაწევრებული რელიეფით, მისი ტერიტორია განლაგებულია 300 (ტვიშის კლდეკარი) – 4460 (მთა ჭანჭახი) მეტრის ნიშნულებს შორის. განსახილველი ფიზიკურ-გეოგრაფიული რაიონი ზემო სვანეთის სამხრეთ-აღმოსავლეთით მდებარეობს და კავკასიონის ქედიდან კოლხეთის სუბტროპიკულ ზონამდე ვრცელდება. ძემო სვანეთს რაჭა-ლეჩხეუმის ტერიტორია სამეგრელოს და ლეჩხეუმის ქედებით ესაზღვრება, რუსეთის ფედერაციაში შემავალ ჩრდილოეთ ოსეთს – კავკასიონის მთავარი წყალგამყოფი ქედით, სამაჩაბლოს(ე.წ. სამხრეთ ოსეთს) – რაჭის ქედით, იმერეთს – რაჭის ქედითა და ხვამლის მასივით, სამეგრელოს –ასხის მასივით. რაჭა-ლეჩხეუმის ტერიტორიის ერთი მესამედი ლეჩხეუმს უკავია (დასავლეთი ნაწილი), დამარჩენი ორი მესამედი კი რაჭას, რომელიც თავის მხრივ ორ მაწილად იყოფა – ზემო და ქვემო რაჭად (მარუაშვილი, 1964).

რაჭა-ლეჩხეუმის რელიეფი რთული თავისებურებებით გამოიჩევა. მისი ჩრდილოეთით განლაგებული “კავკასიონის ქედის კრისტალური გული აზიდულია ზღვის დონიდან 4000-4500მეტრზე და ერთზიული პროცესებით გაშიშვლებულია” (საქართველოს გეოგრაფია, ნაწილი 1, ფიზიკური გეოგრაფია, 2000). რაჭა-ლეჩხეუმის ტერიტორიის ფარგლებში არსებული კავკასიონის სამხრეთი ფერდობის სისტემაში გამოიყოფა მთის რაჭის ქვაბულის რელიეფი, რომელიც შედარებით დაბალი აბსოლუტური ნიშნულებით ხასიათდება და იყოფა ორ ნაწილად: დასავლეთო-ლეჩხეუმის და აღმოსავლეთით - რაჭის ნაწილებად.

რაჭა-ლეჩხეუმის რეგიონი დაბალმთიან, საშუალო და მაღალმთიან რაიონებად იყოფა. აქ მყინვარები ძირითადად გავრცელებულია კავკასიონის ქედის სამხრეთ ფერდობზე 3300-3400 მეტრის ზევით. ამჟამად მდინარე რიონის აუზში, რომელიც რაჭა-ლეჩხეუმის ტერიტორიაზე გაედინება სულ 73 მყინვარია ფართობით 60,4კმ². 1965 წლიდან რაჭის მყინვარწვერზე მათი ბალანსის, რეზიმის და მოძრაობის (თავისებურებების) დასახასიათებლად სტაციონალურ დაკვირვებებს ატარებენ ვახუშტი ბაგრატიონის სახელობის გეოგრაფიის ინსტიტუტის გლაციოლიგები.

რაჭა-ლეჩხუმის მაღალმთიანი რელიეფი (2000მ-ის ზევით) ხასიათდება ინტენსიურად მიმდინარე ფიზიკური გამოფიტვით, რომელიც აქ ხელს უწყობს დიდი მასშტაბის ღვარცოფების განვითარებას.

რაჭა-ლეჩხუმის საშუალომთიან რაიონებში (1000-2000მ ზღვის დონიდან) შედის რაჭის ქედი, ხვამლის, ასხის და წედის-კოდაროს კირქვიანი მასივები. აქ განვითარებულია რელიეფის კარსტული ფორმები (ძაბრები, ჭები, მდგიმები სტალაქტიდები, მდინარეები, რომლებიც აქ კირქვიან მასივებში გაედინებიან ღრმა ხეობებს აჩენენ).

დაბალმთიანი რაიონი მოიცავს რაჭა-ლეჩხუმის ქვაბულს ონიდან ცაგერამდე ქვაბულის ფერდობები ხასიათდება აქტიური მეწყერული პროცესებით (განსაკუთრებით რაჭის ქედის ჩრდილოეთი ფერდობები და ლეჩხუმის ქედი). ქვაბულის ძირი კი მდინარეების რიონის, ცხენის წყლის და ლაჯანურის ალუვიური ნალექებითაა დაფარული. რაჭა-ლეჩხუმის რელიეფის დამახასიათებელ თავისებურებას წარმოადგენს მისი გერტიკალური და პორიზონტალური მოძრაობა ვინაიდან აქ ერთმანეთს ეჯახებიან ურთიერთსაწინააღმდეგო მიმართულების ორი სტრუქტურა – კავკასიონი და საქართველოს ბელტი. აქ დიდი კავკასიონის საერთო აღზევების ფონზე (10-15მმ წელიწადში) აღინიშნება მოძრაობის განსხვავებული სიჩქარეები: შოდა კედელას ქედისათვის ეს მაჩვენებელია 6-8 მმ/წელიწადში სიჩქარით, რომელსაც უკავშირდება მძლავრი (6-8ბალი) მიწისძვრები. გარდა ვერტიკალური გადაადგილებისა, რაჭის ქედი განიცდის პორიზონტალურ გადაადგილებას ჩრდილო-აღმოსავლეთის (სიჩქარე 4.2 მმ/წელიწადში) მიმართულებით. ხოლო კავკასიონი მოძრაობს სამხრეთ-დასავლეთის მიმართულებით (ხურუთი, ლესორა 6.8 მმ/წლიწადში), რაც გამოწვეულია კავკასიონის ქვეშ საქართველოს ბელტის შემდწევი მოძრაობით (საქართველოს გეოგრაფია, ნაწილი 1, ფიზიკური გეოგრაფია, 2000).

რაჭა-ლეჩხუმის პიდროგრაფიული ქსელის ძირითადი წარმომადგენელია მდ. რიონი, თავისი მრავალრიცხვოვანი შენაკადებით. მდინარეები საზრდოობენ მდნარი სეზონური (თოვლის და მყინვარების დნობის შდეგად), წვიმისა და მიწისქვეშა (გრუნტის) წყლებით. მდინარეების ჩამონადენის მაქსიმუმი აღინიშნება ზაფხულში (აბლიაციის პერიოდში), მინიმუმი- ზამთარში.

რაჭა-ლეჩხუმის ტერიტორიაზე ძირითადად მცირე ზომის კარსტული და მყინვარული წარმოშობის ტბებია. ადგილი აქვს აგრეთვე ტბებს, რომლებიც გაჩნდნენ მდინარეთა კალაპოტის კლდეზვავების მიერ ჩახერგვით (მაგ. ქვედის ტბა, რომლის

სიგრძეა 970მ, სიგანე 110მ, სიღრმე 16მ და სხვ.). აღსანიშნავია ლაჯანურის და შაორის წყალსაცავები, ტერიტორიაზე მრავლადაა მინერალური და მტკნარი წყლები.

მთიანი რეგიონის რაჭა-ლეჩხუმის ნიადაგების და მცენარეული საფარის განლაგება ემორჩილება ვერტიკალური ზონალობის კანონს. დაბალმთიანი ზონა (1000 მეტრამდე), რომელიც წარმოადგენს სასოფლო-სამეურნეო ტერიტორიას, ძირითადად წარმოდგენილია კულტურული ლანდშაფტით. ბუნებრივი ფიტოცინოზები აქ ძნელად მისაწვდომ ადგილებშია შემორჩენილი. ამ ზონაში ძირითადად გავრცელებულია ნეშოლპალა-კარბონაული ნიადაგები, მდინარეების რიონისა და ცხენისწყლის ხეობებში კი – ალუვიური ნიადაგები.

საშუალომთიან ზონაში (1000-2000მ) გვხვდება კოლხური ტიპის მცენარეულობა (1300მ-დე სიმაღლეზე), ხოლო ზემოთ შერეული ტყეების მასივები. ამავე ზონაში გავრცელებულია ყომრალი და გაუწირებული ყომრალი ნიადაგები, აგრეთვე ნეშომპალა კარბონატული ნიადაგები.

მაღალმთიან ზონაში 2200-2300 მეტრს ზევით განლაგებულია სუბალპური და ალპური მდელოები. ამ ზონაში ეწეროვანი ნიადაგებია განვითარებული. ყველაზე მაღალ ნივალურ-გლაციურ ზონაში (3400მ-ზე ზევით) მცენარეულობიდან შეიძლება აღინიშნოს ხავსები და მღიერები იზოლირებული უბნების სახით. ეს ზონა მოკლებულია ნიადაგების და მცენარეულობის საფარს.

როგორც აღნიშნულია (საქართველოს გეოგრაფია, ნაწილი 1, ფიზიკური გეოგრაფია, 2000) “რაჭა-ლეჩხუმში გამოიყოფა შემდეგი ძირითადი ლანდშაფტები: ნოტიო სუბტროპიკების ბორცვიანი მთისპირეთის ლანდშაფტები, ნოტიო ჰავიანი მთის ტყის ლანდშაფტები, სუბალპური ლანდშაფტები, ალპური ლანდშაფტები, ნივალურ-გლაციური ლანდშაფტები”.

1.2. კლიმატის რაზიაციული ფაქტორები

დედამიწაზე კლიმატის ფორმირების ფატორებს შორის, როგორც ცნობილია, მთავარ როლს თამაშობს მზის სხივური ენერგია. ის აგრეთვე წარმოადგენს დედამიწის გეოგრაფიულ გარსში და ლითოსფეროს ზედა პირგელ ფენაში მიმდინარე ბიოტური და აბიოტური პროცესების ერთ-ერთ ძირითად მაფორმირებელ ფაქტორს. მის, როგორც ეკოლოგიურად სუფთა განახლებად და ამოუწურავ წყაროს ათვისებას ორგანული გენეზისის ამოწურვადი ენერგომატარებლებით ატმოსფეროს თანამედროვე მზარდი დაბინძურების პირობებში (რაც განაპირობებს სათბურის ეფექტს და გლობალური დათბობის პროცესს) დიდი მნიშვნელობა ენიჭება.

რაჭა-ლეჩხეუმი-ქვემო სვანეთის ტერიტორიის კლიმატის მაფორმირებელი რადაციული ფაქტორების დროში და სივრცეში რაოდენობრივი ცვლილებების დადგენის მიზნით გამოყენებული იქნა საქართველოს აქტინომეტრიული სადგურების მრავალწლიური (1953-1990წ). დაკვირვებების მონაცემები, რაც განაპირობა აქტინომეტრიული სადგურების არსებობამ ამ რეგიონში. როგორც ცნობილია, საქართველოს ტერიტორიაზე ფუნქციონირებდა შემდეგი აქტინომეტრიული სადგურები: სოხუმი(378), ანასეული(1678) დასავლეთ საქართველოში, თბილისი(4048) და სკრა საქართველოს ცენტრალურ ნაწილში, თელავი(5628) აღმოსავლეთ აქართველოში, წალკა(14648) სამხრეთ სქართველოს თიანეთში, მაღალმთიანი ყაზბეგი(36578) დიდ კავკასიონზე გლაციურ-ნივალურ ზონაში.

უნდა აღინიშნოს, რომ აქტინომეტრიული მონაცემების ლეჩხეუმის მთიანი რელიეფის როგორ პირობებში აძნელებს აქ მიმდინარე რადიაციული პროცესების დეტალურ კვლევას. მაგრამ ამ შემთხვევაში წარმატებით გამოიყენება რუსეთის მთავარ გეოფიზიკურ ობსერვატორიაში დამუშავებული რადიაციული ბალანსის და მისი მდგენელების კლიმატოლოგიური გამოთვლის მეთოდები (Берлянд, 1960; Пивоварова, 1977; Сивков, 1968).

რაჭა-ლეჩხეუმის დაბლობი ტერიტორიისათვის კლიმატის რადიაციული მოკლეტალდოვანი (S, S', Q, D) მახასიათებლების დროში და სივრცეში ცვლილებების დადგენის მიზნით გამართლებულია აქტინომეტრიულ სადგურებზე სოხუმი და ანასეული არსებული სათანად დაკვირვებების მასალების გამოყენება, რადგანაც (Пивоварова, 1977)-ის მიხედვით ასდგურებს შორის მანძილი, რომელზეც უზრუნველყოფილია პირდაპირი, გაბნეული, ჯამური რადიაციების და რადიაციული ბალანსის თვიური ჯამების 0.56 სიზუსტე შეადგენს შესაბამისად 380,320,300 და 320კმ-ს. რადიაციული ბალნსის მდგომარეობის დროში და სივრცეში ცვალებადობის ანალიზიდან გამომდინარე მიზანშეწონილია ინტერპოლაციის სიზუსტის დაშვება მოკლეტალდიანი მდგენელებისათვის (S, S', Q, D) 0.56, რადიაციული ბალანსისათვის -0.76 (Пивоварова, 1977). ამრიგად ამ მეთოდიკის გამოყენება რაჭა-ლეჩხეუმის დაბლობი ტერიტორიისათვის რადიაციული ბალანსისა და მისი მდგენელების სიდიდის დასადგენად გამართლებულია იმით, რომ მოწმენდილი ცის შემთხვევაში რადიაციული ბალანსის მოკლეტალდიანი მდგენელების თვიური ჯამების საშუალოკვადრატული გადახრიდან მუდმივი რჩება 300-400კმ-ის მანძილზე და მათ სიდიდეზე გავლენას ვერ ახდენს ქვეფენილი ზედაპირის ფიზიკური თვისებები (ალბედო). რადიაციული ბალანსი B, ეფექტური გამოსხივება E, ქვეფენილი

ზედაპირის მიერ არეკლილი და შთანთქმული Q3 რადიაცია წარმოადგენენ ალბედოს ფუნქციებს და მათი ტერიტორიული და მაღლივი ცვლილებების კანონზომიერებების დადგენისას გათვალისწინებული უნდა იქნეს მაღალი ალბედოს მქონე სეზონური თოვლის საფარის რეჟიმული მახასიათებლები(Самукашвили, 1980).

რაც შეეხება რადიაციული ბალანსის მოკლეტალდიანი მდგენელების სიდიდის დამოკიდებულებას ადგილის განედზე, უნდა აღინიშნოს, რომ რაჭა-ლეჩხუმის ტერიტორიისათვის მისი ცვლლებების დიაპაზონი იმდენად მცირეა, რომ იგი მოწმენდილი ცის შემთხვევაში პრაქტიკულად შესამჩნევ გავლენას ვერ ახდენს რადიაციული ბალნსის მოკლეტალდიანი მდგენელების სიდიდეზე.

რაჭა-ლეჩხუმის მთიან პირობებში რადიაციული ბალანსისა და მისი მდგენელების ადგილის აბსოლუტურ სიდიდეზე დამოკიდებულების კანონზომიერების დასადგენად გამოყენებული იქნა საქართველოს მთიანი (სადგური წალკა 1457მ) და მაღალმთიანი (მ/მთ ყაზბეგი 3653მ) აქტინომეტრიული სადგურების დაკვირვებების მრავალწლიური ინფორმაცია. ამავე მიზნით შეიძლება გამიყენებული იქნეს იალბუზზე 2,2-3,8კმ სიმაღლეთა დიაპაზონში განლაგებული აქტინომეტრიული სადგურების (ობსერვატორია ტერსკოლი 2150მ, ტერსკოლის 3100მ, ყინულოვანი ბაზა 3800მ) დაკვირვებების მონაცემები.

რაჭა-ლეჩხუმის ტერიტორიაზე კლიმატის რადიაციული მახასიათებლების სიდიდის ფორმირებაზე მნიშვნელოვან გავლენას ახდენს ღრუბლიანობის რეჟიმი, მზის ნათების ხანგრძლივობა, ადგილის აბსოლუტური სიმაღლე და ქვეყნილი ზედაპირის ფიზიკური თვისებები.

ცხრილ 1.2.1-ში მოცემულია საერთო და ქვედა იარუსის ღრუბლიანობის საშუალოთვიური და წლიური სიდიდეები(ბალი), მოწმენდილი და მოღრუბლული დღეების რაოდენობა საერთო a და ქვედა იარუსის b ღრუბლიანობის შემთხვევაში.

როგორც ცხრილი 1.2.1-დან ჩანს, საერთო ღრუბლიანობის წლიური მნიშვნელობა სადგურების უმრავლესობაზე (შოვი, მამისონის უღელტეხილი, ცაგერი, ჭრებალო და ამბროლაური) მერყეობს 6.0-6.3 ბალის საზღვრებში. ხერგაში ეს მაჩვენებელი ტოლია 5,6 ბალისა. ქვედა იარუსის ღრუბლიანობის წლიური მნიშვნელობები სადგურებზე: ცაგერი, ჭრებალო, ამბროლაური, შოვი მერყეობს 3,6-3,8 ბალის საზღვრებში, მამისონის უღელტეხილზე ეს მაჩვენებელი ტოლია 5,3 ბალის (მაქსიმუმი). მოწმენდილი დღეების რაოდენობა საერთო ღრუბლიანობის შემთხვევაში წელიწადში მერყეობს შოვში, ონში, ჭრებალოში და ამბროლაურში 63 (ამბროლაური) – 68 (ჭრებალო)-ის ფარგლებში.

ცხრილი 1.2.1. საერთო N და ქვედა იარუსის n საშუალოთვიური და წლიური მნიშვნელობები(ბალი), მოწმენდილი და მოღრუბლული დღეების რაოდენობა საერთო a და ქვედა იარუსის b ღრუბლიანობის შემთხვევაში (Справочник по климату СССР, вып. 14, Облачность и атмосферные явления, 1970; საქართველოს სამეცნიერო-გამოყენებითი კლიმატური ცნობარი, ნაწ. 1, 2011)

N(გ)	N n	თ ვ ე												წლი
		I	II	III	IV	V	VI	VII	VIII	IX	X	XI	XII	
1507	შოვი													
	N	6,6	6,9	7,5	6,9	7,1	6,2	5,7	5,1	5,2	5,6	6,0	6,2	6,2
	n	4,5	4,9	5,2	5,2	5,6	5,0	4,8	4,2	4,4	4,4	4,2	4,0	4,7
2854	გამისონის უღელტესილი													
	N	6.4	7.8	7.1	6.1	7.4	6.8	6.0	5.6	5.4	5.6	5.4	5.6	6.3
	n	5.0	5.4	5.7	5.9	6.2	5.9	5.5	5.2	5.0	4.7	4.3	4.4	5.3
474	ცაგერი													
	N	6.8	7.3	7.4	7.1	6.7	6.0	6.1	5.4	5.2	5.2	6.0	6.4	6.3
	n	3.9	4.2	4.4	4.0	3.6	3.8	4.6	4.0	3.6	3.0	2.8	3.2	3.8
788	ონი													
	N	6.4	6.7	6.8	6.6	6.4	5.7	5.6	4.9	4.8	5.3	5.5	5.8	5.9
	n	4.5	4.6	4.7	4.5	4.6	4.3	4.4	3.8	3.8	3.9	3.9	3.9	4.2
525	ჭრებალო													
	N	6.7	6.8	7.1	6.5	6.4	5.7	5.8	5.2	4.9	5.5	5.7	6.2	6.0
	n	4.1	4.1	4.3	4.1	4.0	3.6	3.8	3.4	3.2	3.3	3.4	3.7	3.8
544	ამბროლაური													
	N	6.8	7.0	7.1	6.7	6.6	5.7	5.8	5.1	4.8	5.3	5.7	6.3	6.1
	n	4.0	4.1	4.2	4.0	3.9	3.6	3.9	3.3	3.1	3.1	3.1	3.5	3.6
1131	ხერგა													
	N	6.4	6.5	6.6	6.1	6.0	5.0	5.4	4.8	4.5	5.0	5.3	5.7	5.6
	n	3.9	3.9	4.1	4.0	3.6	3.6	4.2	3.4	3.0	3.3	2.9	3.4	3.6
მოწმენდილი დღეების რაოდენობა														
N(გ)	ab	თ ვ ე												წლი
		I	II	III	IV	V	VI	VII	VIII	IX	X	XI	XII	
1507	შოვი													
	a	5.8	3.9	3.4	3.3	2.6	3.7	5.1	7.6	8.4	7.3	7.2	6.1	6.4
	b	11.3	8.5	8.7	7.4	5.2	6.3	7.7	9.7	10.9	11.2	11.9	12.8	11.2
2854	გამისონის უღელტესილი													
	a	5.4	3.9	3.4	3.1	1.7	2.0	3.5	4.7	6.0	6.6	7.2	6.2	5.4
	b	10.4	8.0	7.3	6.4	1.1	3.5	4.5	5.9	7.6	10.1	11.2	12.0	9.1

ცხრილი 1.2.1.-ის გაგრძელება

		ცაგერი												
474														
	a	3.6	3.2	2.8	3.6	2.6	3.8	4.3	5.7	6.7	6.5	5.9	5.1	5.4
788	ონი													
	a	4.9	3.7	3.6	3.6	3.0	4.4	5.1	7.7	8.9	7.3	7.6	6.5	6.6
525	ჭრებალო													
	a	4.8	3.9	3.8	4.4	4.0	5.1	52	7.6	8.6	6.8	7.4	6.5	6.8
544	ამბროლაური													
	a	4.0	3.3	2.8	3.6	3.0	4.7	5.1	7.0	9.0	7.5	6.9	5.8	6.3
1131	ხერგა													
	a	4.5	3.8	4.4	5.3	4.4	6.4	6.2	8.0	9.2	7.5	8.1	7.1	7.5
	b	11.8	10.1	10.8	11.5	12.8	11.9	10.0	12.3	12.7	13.2	15.2	14.1	14.6
მოღრუბლული დღეების რაოდენობა														
N(გ)	ab	თ ვ ე												წელი
		I	II	III	IV	V	VI	VII	VIII	IX	X	XI	XII	
1507	შოვი													
	a	14.7	14.0	17.3	15.5	14.7	10.9	10.3	8.2	9.2	11.1	11.7	13.7	15.1
2854	გამისონის უდელტებილი													
	a	12.6	12.6	15.6	15.3	15.8	12.7	11.8	10.3	10.2	11.6	11.0	11.7	15.1
474	ცაგერი													
	a	15.0	14.1	16.7	14.1	12.5	9.8	11.0	8.7	8.6	10.0	11.2	13.1	14.5
788	ონი													
	a	12.9	12.1	14.0	12.4	10.4	8.7	8.2	7.0	7.5	8.8	9.7	11.3	12.3
525	ჭრებალო													
	a	14.1	13.3	15.5	13.4	12.1	9.5	10.3	8.0	8.4	9.8	11.1	13.3	13.9
544	ამბროლაური													
	a	14.3	14.2	16.1	13.6	12.0	8.5	9.8	7.4	7.8	9.6	10.4	13.0	13.7
1131	ხერგა													
	a	12.3	11.5	13.2	11.0	9.7	7.4	8.0	6.6	6.3	7.5	8.7	10.9	11.3
	b	5.0	4.8	6.6	5.8	4.5	3.8	4.4	3.3	3.4	3.4	3.6	5.3	5.4

ხერგაში იგი აღწევს მაქსიმუმს (75დღე). მოწმენდილი დღეების რაოდენობის მინიმუმი წელიწადში აღნიშნულია მამისონის უდელტეხილზე და ცაგერში (54დღე). მოწმენდილი დღეების რაოდენობა ქვედა იარუსის დრუბლიანობის შემთხვევაში მაქსიმალურია ამბროლაურში (152) და ხერგაში (146), მინიმალურია მამისონის უდელტეხილზე (91), ცაგერში და ჭრებალოში იგი მერყეობს 138-139-ის ფარგლებში.

მოღრულული დღეების რაოდენობა საერთო დრუბლიანობის შემთხვევაში წელიწადში შოვში და მამისონის უდელტეხილზე აღწევს 151-ს, ცაგერში იგი შეადგენს 145-ს. ჭრებალოში და ამბროლაურში მერყეობს 137(ამბროლაური) – 139(ჭრებალო) საზღვრებში. ამ მახასიათებლის აბსოლუტური მინიმუმი დაფიქსირებულია ხერგაში (113დღე).

მოღრუბლული დღეების რაოდენობა ქვედა იარუსის დრუბლიანობის შემთხვევაში სადგურებზე ჭრებალო, ამბროლაური, ხერგა მერყეობს 48(ამბროლაური) – 54(ხერგა)-ის ფარგლებში. ცაგერში და ონში 71-73-ის საზღვრებში. ამ მახასიათებლის აბსოლუტური მაქსიმუმი (117დღე) და მინიმუმი (48დღე) აღნიშნულია შესაბამისად მამისონის უდელტეხილზე და ამბროლაურში. ამ მახასიათებლის სიდიდით მეორე ადგილზეა სადგური შოვი (97დღე).

საერთო რღუბლიანობის საშუალოწლიური მნიშვნელობები რაჭა-ლეჩხუმის აღნიშნულ სადგურებზე მერყეობენ 5,6(ხერგა)-6,3(მამისონის უდელტეხილი, ცაგერი) ბალის საზღვრებში, ქვედა იარუსის დრუბლიანობის შემთხვევაში კი 3,6(ამბროლაური, ხერგა) – 5,3(მამისონის უდელტეხილი) ბალის საზღვრებში. ორივე მახასიათებლის აბსოლუტური მაქსიმუმი დაფიქსირებულია მამისონის უდელტეხილზე შესაბამისად 6,3 და 5,3 ბალი. საერთო და ქვედა იარუსის დრუბლიანობის პირობებში მოწმენდილი (0-2ბალი), ნახევრადმოწმენდილი (3-7ბალი) და მოღრუბლული (8-10ბალი) ცის მდგომარეობის ალბათობა წელიწადში (%) მოცემულია ცხრილ 12.2.-ში.

როგორც ცხრილ 12.2.-დან ჩანს, საერთო დრუბლიანობის შემთხვევაში მოწმენდილი ცის (0-2 ბალი) ალბათობა რაჭა-ლეჩხუმის ტერიტორიაზე მერყეობს 28-39%-ის ფარგლებში მაქსიმუმით ხერგაში (39%) და მინიმუმით მამისონის უდელტახილზე და ცაგერში (28%). დანარჩენ სადგურებზე (შოვი, ონი, ჭრებალო, ამბროლაური) ეს მაჩვენებელი იცვლება უმნიშვნელოდ 28-31%-ის ფარგლებში. მოღრუბლული ცის (8-10 ბალი) მდგომარეობის ალბათობა ამ რეგიონის ყველა სადგურზე ახლოა ერთმანეთთან: იცვლება 50(ონი) –57(მამისონის უდელტეხილი) პროცენტის ფარგლებში.

ცხრილი 1.2.2. საერთო და ქვედა იარუსის ღრუბლიანობის შემთხვევაში მოწმენდილი (0-2ბალი), ნახევრადმოწმენდილი (3-7ბალი) და მოღრუბლული (8-10ბალი) ცის მდგომარეობის ალბათობა n(%). წელიწადი (Справочник по климату СССР, вып. 14, Облачность и атмосферные явления, 1970; საქართველოს სამეცნიერო-გამოყენებითი კლიმატური ცნობარი, ნაწ. 1, 2011)

სადგური	H(გ)	საერთო ღრუბლიანობა			ქვედა იარუსის რუბლიანობა		
		ბალი			ბალი		
		0-2	3-7	8-10	0-2	3-7	8-10
შოვი	1507	29	15	56	44	17	30
მამისონის უდ.	2854	28	15	57	40	12	48
ცაგერი	474	28	18	54	52	15	33
ონი	788	31	19	50	47	20	33
ჭრებალო	525	31	16	53	50	22	28
ამბროლაური	544	29	20	51	53	23	24
ხერგა	1131	39	9	52	60	7	33

ნახევრადმოწმენდილი ცის მდგომარეობის ალბათობა ყველა სადგურზე ახლოა ერთმანეთთან (იცვლება 15-20%-ის საზღვრებში) გარდა სადგური ხერგასი, სადაც ის წელიწადში საშუალოდ შეადგენს 9%-ს.

ქვედა იარუსის ღრუბლიანობის შემთხვევაში მოწმენდილი (0-2 ბალი) ცის მდგომარეობის ალბათობა მერყეობს 40(მამისონის უდელტეხილი) – 60(ხერგა) პროცენტის ფარგლებში, მოღრუბლული ცის მდგომარეობის ალბათობა იცვლება 24(ამბროლაური) – 48(მამისონის უდელტეხილი) პროცენტის ფარგლებში, ნახევრადმოწმენდილი ცის მდგომარეობის ალბათობა კი 7(ხერგა) – 23(ამბროლაური) პროცენტის ფარგლებში. მოწმენდილი ცის პირობებში კლიმატის რადიაციული მახასიათებლებზე დიდ გავლენას ახდენენ ატმოსფეროს ფიზიკური თვისებები, რომლების რაოდენობრივად ფასდება გამჭვირვალობის კოეფიციენტით P2 და ლინკეს სიმღვრივის ფაქტორით T2. ჩვენს მიერ ს.სივგოვის მეთოდით (Сивков, 1968).

გამოთვლილი იქნა P2 და T2-ის საშუალოთვიური მნიშვნელობები რაჭალებზემის ტერიტორიისათვის. ამ რეგიონის დაბლობ წინამთის ნაწილში P2-ის საშუალოთვიური სიდიდეები შეადგენენ იანვარში 80%-ს, მარტში 76%-ს, ივლისში 66%-ს, ოქტომბერში 77%-ს.

ადგილის აბსოლუტური სიმაღლის მატების შემთხვევაში გამჭვირვალობის კოეფიციენტის სიდიდე მატულობს. სიმღვრივის ფაქტორის სიდიდე კი კლებულობს,

რაც განპირობებულია ატმოსფეროს სისქის და მასში წყლის ორთქლის და აეროზოლების კონცენტრაციის შემცირების შედეგად. დამოკიდებულებები: $P_2=f(H)$ და $T_2=f(H)$ ცენტრალური კავკასიონის სამხრეთი ფერდობისათვის ჩვენს მიერ დადგენილია (Сивков, 1968)-ში. ეს დამოკიდებულებები შეიძლება გამოყენებული იქნეს რაჭა-ლეჩხეუმის მთიანი რაიონებისათვის P_2 და T_2 სიდიდეების გამოსათვლელად: მაგალითად, ამ დამოკიდებულებებს იანვრის თვისათვის აქვს შემდეგი ანალიზური სახე:

$$P_2 = 0,664 + 0,1137H - 0,0138H^2 \quad (1)$$

$$P_2 = 3,14e^{-0,241H} \quad (2)$$

მოწმენდილი ცის პირობებში ატმოსფეროში მზის პირდაპირი რადიაციის ინტენსივობა მცირდება მოლეკულებზე გაბნევით, წყლის ორთქლის მიერ შთანთქმით, ატმოსფეროში არსებულ აეროზოლებზე გაბნევით და შთანთქმით. მზის პირდაპირი რადიაციის ინტენსივობის შემცირების სიდიდე დამოკიდებულია მზის სიმაღლეზე (სხივის მიერ განვლილ მანძილზე ატმოსფეროში). მზის სიმაღლის მატებისას $10-70^0$ -ის ფარგლებში პირდაპირი რადიაციის ინტენსივობის შემცირების სიდიდე რაჭა-ლეჩხეუმის დაბლობ ტერიტორიაზე ეცემა $0,85\text{კვტ}/\text{მ}^2$ -დან $0,49\text{კვტ}/\text{მ}^2$ -მდე (ე.ი. თითქმის ორჯერ).

რაჭა-ლეჩხეუმის რეგიონის ტერიტორიის დაბლობი ნაწილის რადიაციული კლიმატის მახასიათებლების სიდიდეები მოწმენდილი ცის შემთხვევაში (მზის პირდაპირი რადიაცია სხივისადმი მართობულ და პორიზონტალურ ზედაპირზე S,S' გაბნეული D და ჯამური რადიაცია $Q=S'+D$) უმნიშვნელოდ განსხვავდებიან სადგურ ანასეულში არსებული შესაბამისი მნიშვნელობების სიდიდეებისაგან (Пивоварова , Стадник, 1969).

დაბლობი რაიონების პირობებში ტერიტორიაზე რადიაციის სიდიდეებს შორის კავშირის ხარისხის მახასიათებელი-კორელაციის კოეფიციენტის (r) $0,50$ და მეტი მნიშვნელობის შემთხვევაში სადგურებს შორის ოპტიმალური მანძილის სიდიდე აღემატება (ჯამური და გაბნეული რადიაციების ჯამების შემთხვევაში) 300კმ -ს. ამ შემთხვევაში ინტერპოლაციის სიზუსტე (მხედველობაშია თვიური ჯამები) სადგურებს შორის შეადგენს $0,2\text{კმალ}/\text{სმ}^2$ თვეს.

მოწმენდილი ცის შემთხვევაში სადგურებზე ცაგერი, ამბროლაური, ჭრებალო, რომლებიც განლაგებულია შესაბამისად 474, 544 და 525 მეტრზე ზღვის დონიდან წელიწადში სხივისადმი მართობულ და პორიზონტალურ ზედაპირზე მზის პირდაპირი

S/S' გაბნეული D და χ -ამური რადიაციის Q χ -ამები შესაბამისად ტოლია 11300,0, 6290,0, 1320,6 და 7610,6 $\text{მჯ}/\text{მ}^2$ -ისა.

რაჭა-ლეჩხეუმის მთიანი რაიონისათვის (სადაც აქტინომეტრიული დაკვირვების მასალები არ არსებობს) რადიაციული ბალანსის და მისი მდგრენელების სიდიდეები დადგენილი იქნა სითბური ბალანსის მდგრენელების კლიმატოლოგიური გამოთვლების მეთოდიკით (Будыко, Берлянд, Зубенок, 1954).

ამ მეთოდიკის თანახმად ღრუბლიანობის საშუალო პირობებისათვის χ -ამური რადიაციის თვიური χ -ამები $\Sigma_{\text{თ}} Q_{\text{დ}}$ გამოითვლება საგინოგ-ანგსტრემის ფორმულით:

$$\Sigma_{\text{თ}} Q_{\text{დ}} = \Sigma_{\text{თ}} Q_0 [1 - (1 - k)n] \quad (3)$$

რომელ შიც $\Sigma_{\text{თ}} Q_0$ არის χ -ამური რადიაციის თვიური χ -ამები მოწმენდილი ცის პირობებში, K -ღრუბლიანობის კოეფიციენტი, რომელიც წარმოადგენს მთლიანი მოღრუბლულობის პირობებში χ -ამური რადიაციის სიდიდის შეფასებას, მოწმენდილი ცის შემთხვევაში არსებული შესაძლო χ -ამური რადიაციის სიდიდესთან. K არის მზის სიმაღლის, ღრუბლიანობის, ქვეფენილი ზედაპირის ალბედოს და ადგილის აბსოლუტური სიმაღლის ფუნქცია, რის შედეგად მას გააჩნია თვის და წლიური სვლა. მთიანი რაიონისათვის χ -ამური რადიაციის თვიური χ -ამების გამოთვლისას აუცილებელია რომ ცნობილი იყოს მოწმენდილი ცის შემთხვევაში χ -ამური რადიაციის თვიური χ -ამების $\Sigma_{\text{თ}} Q_0$ სიდიდეები (რაიონის შესაბამისი განედისათვის) და ღრუბლიანობის კოეფიციენტის (K) ადგილის აბსოლუტურ სიმაღლეზე დამოკიდებულების თავისებურებები. ჩვენს მიერ სოხუმისა და ანასეულის აქტინომეტრიულ სადგურებზე მოწმენდილი ცისა და მოღრუბლულობის საშუალო პირობებში χ -ამურ რადიაციაზე და ღრუბლიანობაზე ჩატარებული დაკვირვებების მონაცემებით (3) გამოთვლილი იქნა K -ს საშუალოთვიური სიდიდეები, რომლებმაც გვიჩვენა, რომ ღრუბლიანობის კოეფიციენტს გააჩნია გარკვეული წლიური სვლა მაქსიმუმით წელიწადის თბილი (IV-X) და მინიმუმით ცივი (XI-III) პერიოდისათვის (ცხრილი 1.2.3).

აღსანიშნავია, რომ კოლხეთის დაბლობის შესაბამისი განედისათვის K -ს მნიშვნელობა (Будыко, Берлянд, Зубенок, 1954) წელიწადის განმავლობაში მუდმივია და ტოლია 0,34-ისა.

რაჭა-ლეჩხეუმის რეგიონისათვის ამ მეთოდიკით გამოთვლილი იქნა საშუალო ღრუბლიანობის გათვალისწინებით χ -ამური რადიაციის ($\Sigma_{\text{თ}} D_{\text{დ}}, \Sigma_{\text{თ}} Q_{\text{დ}}$) თვიური და წლიური χ -ამები. გამოთვლებისას გათვალისწინებული იყო K -ს წლიური მსვლელობა. შრომაში (Берлянд, 1960) შედარებით გრძლევადიანი დაკვირვებების მოგაცემების

გამოყენებით ღრუბლიანობის პირობებში ჯამური რადიაციის თვიური სიდიდეების ($\Sigma_{\text{თ}} Q$) გამოსათვლელად მიღებული იქნა შემდგა სახის გამოსახულება

$$\Sigma_{\text{თ}} Q_{\text{ღ}} = \Sigma_{\text{თ}} Q_0 [1 - (1 - k)n] \quad (3)$$

რომელშიც a და b ი- უგანზომილებო კოეფიციენტებია. a წარმოადგენს ადგილის განედის ფუნქციას. მას ფიქსირებული განედისათვის წელიწადის თვეების მიუხედავად გააჩნია ერთი მუდმივი მნიშვნელობა $b=0,38$. ჩვენი გამოთვლებით დადგინდა, რომ კოეფიციენტ a -ს გააჩნია გარკვეული წლიური სვლა. კოლხეთის დაბლობისათვის a -ს მნიშვნელობები წელიწადში იცვლება 0,27(მაისი)–0,52(ნოემბერი)-ის საზღვრებში მაქსიმუმით წელიწადის ცივ და მინიმუმით თბილ პერიოდში (ცხრილი 1.2.3).

ცხრილი 1.2.3. K -ს მნიშვნელობები კოლხეთის დაბლობისათვის: K_1 -ჩვენი გამოთვლებით, K_2 -რუსეთის მთავარი გეოფიზიკური ობსერვატორიის მონაცემებით, K_3 -თბერლიანდის ფორმულით (3).

თვე	I	II	III	IV	V	VI	VII	VIII	IX	X	XI	XII
K_1	0.37	0.36	0.35	0.37	0.38	0.39	0.37	0.37	0.38	0.38	0.37	0.35
K_2					0.34							
K_3	0.40	0.39	0.34	0.33	0.27	0.30	0.31	0.31	0.34	0.42	0.45	0.43

როგორც ცნობილია, მთელ რიგ შრომებში (Стейнхаузер, 1951; Диртнеирн , 1951; Борзенкова, 1965) მთიანი რეგიონების შემთხვევაში $\Sigma_{\text{თ}} Q$ -სიდიდეების გამოსათვლელად მოცემულია ღრუბლიანობის კოეფიციენტის სიდიდის ადგილის აბსოლუტურ სიმაღლეზე (H) დამოკიდებულებების ანალიზური სახეები. მაგალითად, ალპების შემთხვევაში შრომებში (Стейнхаузер, 1951; Диртнеирн, 1951) მოცემულია ღრუბლიანობის კოეფიციენტის დამოკიდებულება ადგილის აბსოლუტურ სიმაღლეზე ცხრილის და ანალიზური სახით:

ცხრილი 1.2.4. დამოკიდებულება ადგილის აბსოლუტურ სიმაღლეზე

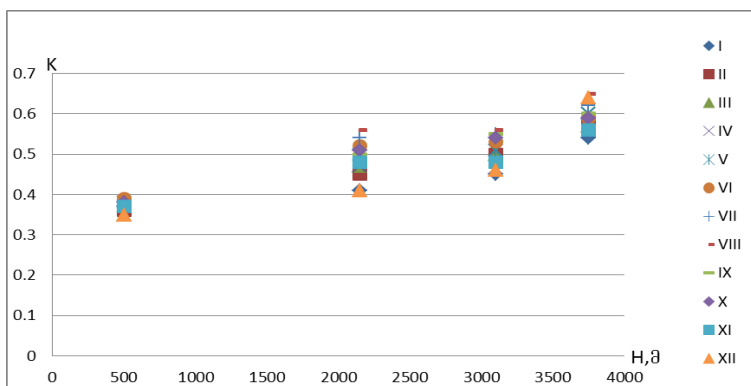
ადგილის სიმაღლე (H)	0	1000	2000	3000
K_1	0.21	0.26	0.33	0.42

$$K = \frac{1}{100} \left(21 + \frac{3}{100} H \right) \quad (5)$$

რომელშიც ჩარის სადგურის სიმაღლე ზღვის დონიდან მეტრებში. შრომაში (Борзенкова, 1965) შეა აზის და კავკასიონის მთების სისტემებისათვის დრუბლიანობის კოეფიციენტის დამოკიდებულებას ადგილის აბსოლუტურ სილადლეზე აქვს შემდეგი ანალიზური სახე:

$$K = \frac{1}{100} (K_0 + 0,05H) \quad (6)$$

რომელშიც K_0 არის დრუბლიანობის კოეფიციენტის მნიშვნელობა დედამიწის ზედაპირზე, ხოლო H ადგილის აბსოლუტური სიმაღლე მეტრებში. ჩვენს შრომაში (Самукашвили, 2016). დიდი კავკასიონის ჩრდილოეთი ფერდობის 0,5-3,8კმ სიმაღლეთა დიაპაზონში განლაგებული ოთხი სადგურისათვის (ნალჩიკი 500მ, ობსერვატორია ტერკოლი 2150მ, ტერსკოლის პიკი 3100მ, ყინულოვანი ბაზა 3800მ) დრუბლიანობის საშუალო პირობებისათვის გამოთვლილინ იქნა დრუბლიანობის კოეფიციენტის (K) საშუალოთვიური მნიშვნელობები, რომლებიც მოცემულია ნახ.1.2.1.-ზე და ცხრილ 1.2.5-ში. როგორც ამ ცხრილიდან ჩანს, დრუბლიანობის კოეფიციენტი ადგილის სიმაღლის ზრდით სინქრონულად მატულობს.



ნახ. 1.2.1 დრუბლიანობის კოეფიციენტის დამოკიდებულება ადგილის აბსოლუტურ სიმაღლეზე $K=f(H)$

ცხრილი 1.2.5. დრუბლიანობის კოეფიციენტის (K) მნიშვნელობები კავკასიონის ჩრდილოეთ ფერდობზე (Самукашвили, 2016).

$H, \text{მ}$	თ ვ ვ											
	I	II	III	IV	V	VI	VII	VIII	IX	X	XI	XII
500	0.37	0.36	0.35	0.37	0.38	0.39	0.37	0.37	0.38	0.38	0.37	0.35
2150	0.41	0.45	0.47	0.47	0.50	0.52	0.54	0.56	0.50	0.51	0.48	0.41
3100	0.45	0.50	0.50	0.51	0.51	0.53	0.55	0.56	0.55	0.54	0.48	0.46
3750	0.54	0.58	0.57	0.60	0.60	0.59	0.62	0.65	0.60	0.59	0.56	0.64

რაჭა-ლეჩხუმის სადგურებისათვის მოდრუბლულობის საშუალო პირობებში ჯამური რადიაციის საშუალოთვიური და წლიური ჯამების სიდიდე გამოთვლილი იქნა ნახ.1.2.1.-ზე (და ცხრ.1.2.5.-ში) მოყვანილი K_0 -ის სიდიდეების გამოყენებით (ცხრილი 1.2.6.)

ცხრილი 1.2.6. მოდრუბლულობის საშუალო პირობებში ჯამური რადიაციის საშუალოთვიური და წლიური მნიშვნელობები ($\text{მჯ}/\text{მ}^2$)

სადგური	თ ვ ე												წლი
	I	II	III	IV	V	VI	VII	VIII	IX	X	XI	XII	
ჭრებალო	6.0	8.3	11.7	15.4	17.9	20.0	19.1	17.8	14.9	10.7	7.44	5.4	154.6
ცაგერი	6.0	8.0	10.8	14.6	17.6	19.4	18.5	17.2	13.2	11.0	7.2	5.3	158.8
ამბროლაური	6.0	8.3	11.2	15.1	17.9	20.3	19.1	17.8	15.1	11.0	7.4	5.4	153.9
შოვი	6.2	8.7	12.3	16.4	18.2	20.9	20.9	19.1	15.8	11.8	7.8	5.7	163.8
ონი	6.5	8.7	11.5	15.4	17.9	20.0	19.5	18.3	14.8	10.9	7.3	5.3	156.0
ხერგა	6.3	9.0	12.5	16.0	18.1	20.2	20.1	18.6	15.1	11.5	7.4	5.5	160.3
მამისონის უდ.	7.1	10.1	14.0	18.0	20.5	22.9	22.8	23.2	17.0	12.8	8.8	6.4	183.6

როგორც ცხრილ 1.2.6.-დან ჩანს რაჭა-ლეჩხუმის რეგიონში ადგილის აბსოლუტური სიმაღლის მატებისას 474 მეტრიდან (ცაგერი) 2854 მეტრამდე (მამისონის უდ.) ჯამური რადიაციის წლიური ჯამები მატულობს $154,6 \text{მჯ}/\text{მ}^2$ -დან $183,6 \text{მჯ}/\text{მ}^2$ -მდე.

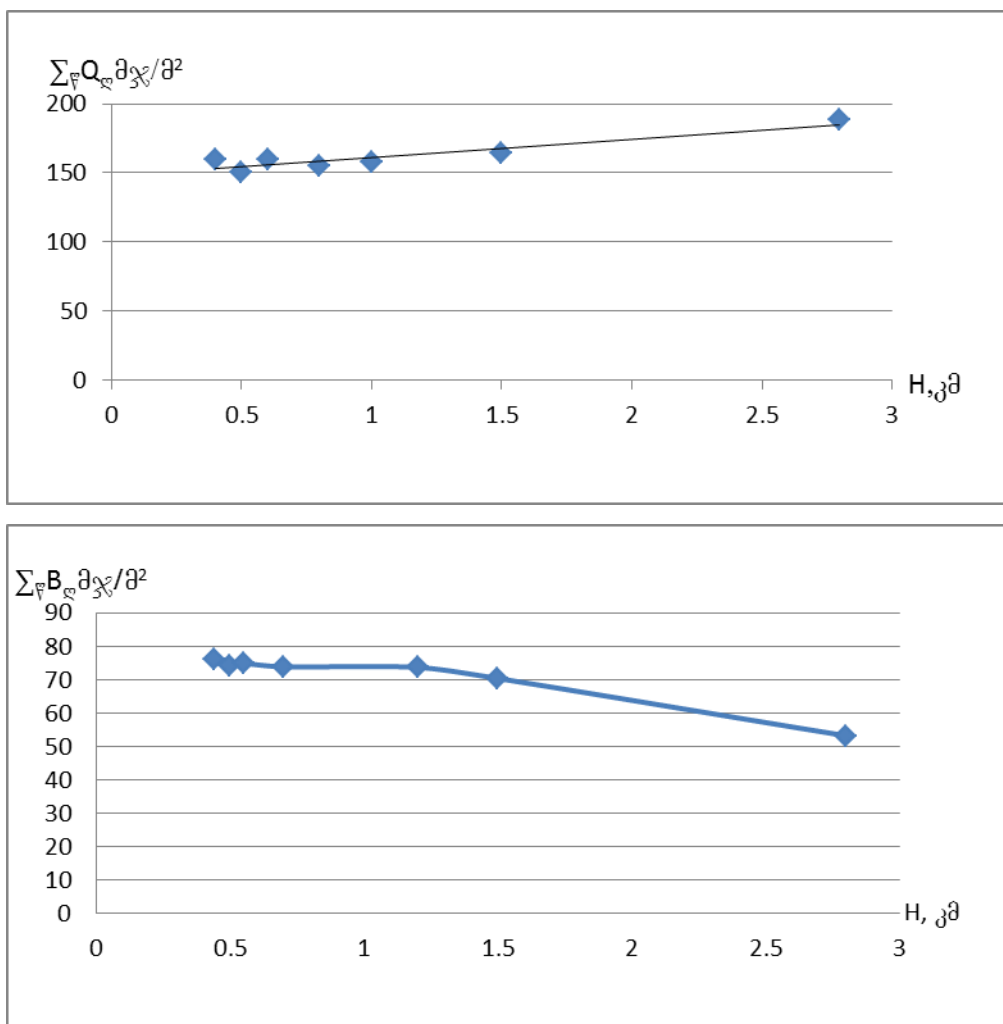
რაჭა-ლეჩხუმის სადგურებისათვის რადიაციული ბალანსის წლიური ჯამების სიდიდე გამოთვლილი იქნა (Самукашвили, 1987)-ში მოცემული შემდეგი სახის ფორმულით:

$$\Sigma_{\beta} B_{\varphi} = \Sigma_{\beta} Q_{\varphi} (0,48 - 0,023 H^2) \quad (7)$$

ცხრილი 1.2.7. ღრუბლიანობის საშუალო პირობებში რადიაციული ბალანსის წლიური ჯამების მნიშვნელობები, $\text{მჯ}/\text{მ}^2$.

სადგური	ჭრებალო	ცაგერი	ამბროლაური	შოვი	ონი	ხერგა	მამისონის უდ.
$\Sigma_{\beta} B_{\varphi}$	77,4	76,2	73,9	70,4	74,9	73,7	53,2

დამოკიდებულებების $\sum \nabla Q_{\varphi} = f(H)$ და $\sum \nabla B_{\varphi} \partial \chi / \partial^2 = f(H)$ გრაფიკები სახე მოცემულია ნახ.1.2.2.-ზე.



ნახ.1.2.2. დამოკიდებულებები $\Sigma \nabla Q_{\varphi} = f(H)$ და $\Sigma \nabla B_{\varphi} = f(H)$

როგორც ნახ.1.2.2-დან ჩანს რაჭა-ლეჩხეუმის ტერიტორიაზე ადგილის აბსოლუტური სიმაღლის მატებისას 0-3 გმ-ის ფარგლებში მოდრუბლულობის საშუალო პირობებში ჯამური რადიაციის წლიური ჯამები იზრდება $148 \text{მჯ}/\text{მ}^2$ -დან $191,5 \text{მჯ}/\text{მ}^2$ -მდე, რადიაციული ბალანსის წლიური ჯამები კი მცირდება $75 \text{მჯ}/\text{მ}^2$ -დან $53 \text{მჯ}/\text{მ}^2$ -მდე.

დამოკიდებულება $\sum \nabla Q_{\varphi} = f(H)$ ანალიზურად წარმოიდგინება წრფივი ფუნქციის სახით:

$$\Sigma \nabla Q_{\varphi} = 16,6H + 141,7 \quad (8)$$

ამ ფორმულიდან გამომდინარე რაჭა-ლეჩხეუმის წინა მთის ზონაში ($H=0,5 \text{ გ}$) $\sum \nabla Q_{\varphi} = 150,0 \text{მჯ}/\text{მ}^2$, დაბალი მთის ზედა საზღვარზე ($H=1 \text{ გ}$) $\sum \nabla Q_{\varphi} = 158,3 \text{მჯ}/\text{მ}^2$, მეტა

მთის ზონის ზედა საზღვარზე ($H=2\text{m}$) $\sum Q_{\text{დ}}=174,9 \text{მ}^3/\text{მ}^2\text{-ს}$, მაღალი მთის ზონის 3კმ სიმაღლეზე $\sum Q_{\text{დ}}=191,5 \text{მ}^3/\text{მ}^2\text{-ს}$.

რადიაციული ბალანსის წლიური ჯამი რაჭა-ლეჩხუმის წინა მთის ზონაში ($H=0,5\text{m}$) შეადგენს $75 \text{მ}^3/\text{მ}^2\text{-ს}$, დაბალი მთის ზედა საზღვარზე ($H=1\text{m}$) $-72,5 \text{მ}^3/\text{მ}^2\text{-ს}$, შეა მთის ზონის ზედა საზღვარზე ($H=2\text{m}$) $-64 \text{მ}^3/\text{მ}^2\text{-ს}$, მაღალი მთის ზონის 3კმ სიმაღლეზე $-50,0 \text{მ}^3/\text{მ}^2\text{-ს}$.

13. ატმოსფერული პარას წევა

ატმოსფერული ჰაერის წნევის სიდიდე წარმოადგენს ადგილის აბსოლუტური სიმაღლის, ოროგრაფიის (მთიანი რელიეფის ელემენტების ორიენტაცია და დახრილობის კუთხე) და ატმოსფეროში მიმდინარე მაკროცირკულაციური პროცესების (ციკლონები, ანტიციკლონები) ფუნქციას. გარდა ამისა, დღე-დამის მონაცემების შედეგად ატმოსფერულ წნევას გააჩნია გარკვეული დღე-დამური სვლა. ადგილის აბსოლუტური სიმაღლის ზრდის შემთხვევაში ატმოსფერული წნევის სიდიდე კლებულობს, რაც განპირობებულია მისი სისქის, ასევე სიმკვრივის, ტენიანობის და აეროზოლების კონცენტრაციის შემცირებით. მთიან რაიონებში რელიეფის ელემენტების რადიაციული და სითბური ბალანსის სიდიდის ფორმორებაზე დიდ გავლენას ახდენს მათი აბსოლუტური სიმაღლე, ორიენტაცია და დახრილობა, რის შედეგად ფიქსირებულ აბსოლუტურ სიმაღლეზე ატმოსფერული წნევის ერთმანეთისაგან განსხვავებული სიდიდეები. მთიან რაიონებში ატმოსფერული წნევის გარდა უარყოფითად მოქმედებს ადამიანის ორგანიზმში მიმდინარე ფიზიოლოგიურ პროცესებზე. იმ ფაქტორებიდან, რომლებიც მთიან რეგიონებში დიდ სიმაღლეებზე ნებატიურ გავლენას ახდენენ ადამიანის ორგანიზმის ნორმალურ ფუნქციონირებაზე განსაკუთრებით აღსანიშნავია ატმოსფეროში ჟანგბადის პარციალური წნევის ვარდნა. ზღვის დონეზე ჟანგბადის პარციალური წნევა შეადგენს ვერცხლისწყლის სვეტის 85მმ-ს. დიდ სიმაღლეებზე ჟანგბადის პარციალური წნევის ვარდნა ზღვის დონეზე არსებულ მის წნევასთან შედარებით 12-14%-მდე ადამიანის ორგანიზმში იწვევს მწვავე პიპოქსიას (ჟანგბადის შიმშილს), რომლის დროსაც ადამიანის ორგანიზმში აღინიშნება ტანიკარდია (დროის ერთეულში გულის შეკუმშვის სისშირის მკვეთრი ზრდა). ეს პროცესი შეიძლება დაიწყოს 2000-3000 მეტრის სიმაღლეზე და გულის შეკუმშვის სისშირემ განაგრძოს ზრდა სიმაღლის შემდგომი მატების შოხვევაში, რომელსაც შეიძლება მოყვეს ცნობიერების დაკარგვა. დიდ სიმაღლეზე ასევე აღინიშნება ადამიანის სისხლში პემოგლობინისა და ერითროციტების რაოდენობის ზრდა. იმ შემთხვევაში, როდესაც ერითროციტების

რაოდენობა გაიზარდა ზღვის დონეზე არსებულ რაოდენობასთან შედარებით 60%-ით, იგი შეიძლება გახდეს ორგანიზმის სისხლის ნორმალური მიმოქცევის დარღვევის სერიოზულ მიზეზად და სხვა.

ადსანიშნავია, რომ მთიან რაიონებში ხანგრძლივი ცხოვრების პირობებში ადამიანის ორგანოზმი იძენს გარემოს შეცვლილ პირობებთან შეგუების (აკლიმატიზაციის) უნარს, რომლის შედეგად მას არა მარტო შეუძლია ამ პირობებში არსებობა, არამედ სასარგებლი საქმიანობის წარმოებაც (Биоклиматология, 1965).

მთაგორიანი რელიეფის პირობებში ატმოსფერული წნევის სხვა კლიმატურ მახასიათებლებთან კავშირის დადგენის მიზნით, მისი მნიშვნელობები დაყვანილი უნდა იქნეს ზღვის დონეზე ბარომეტრული ნიველირების მეთოდით, ე.ი. სპეციალური ფორმულით, რომლის გამარტივებულ ვარიანტს წარმოადგენს ბაზინეს ფორმულა:

$$\Delta Z = 16000(1 - 0,004t) \frac{P_0 - P_1}{P_0 + P_1} \quad (1)$$

სადაც t არის ჰაერის ფენის საშუალო ტემპერატურა სადგურების სიმაღლესა— Z_1 და ზღვის დონეს— Z_0 შორის, P_0 და P_1 —წარმოადგენენ ჰაერის წნევას ზღვის დონეზე და სადგურის სიმაღლეზე (ჰაერის ფენის ქვედა და ზედა საზღვრებზე), ΔZ წარმოადგენს სადგურის სიმაღლეს ზღვის დონიდან.

რაჭა-ლეჩხუმის ტერიტორიისათვის ზღვის დონეზე დაყვანილი ატმოსფერული წნევის საშუალოთვიური (I,VII) და წლიური სიდიდეები მოცემულია ცხრილ 1.3.1.-ში.

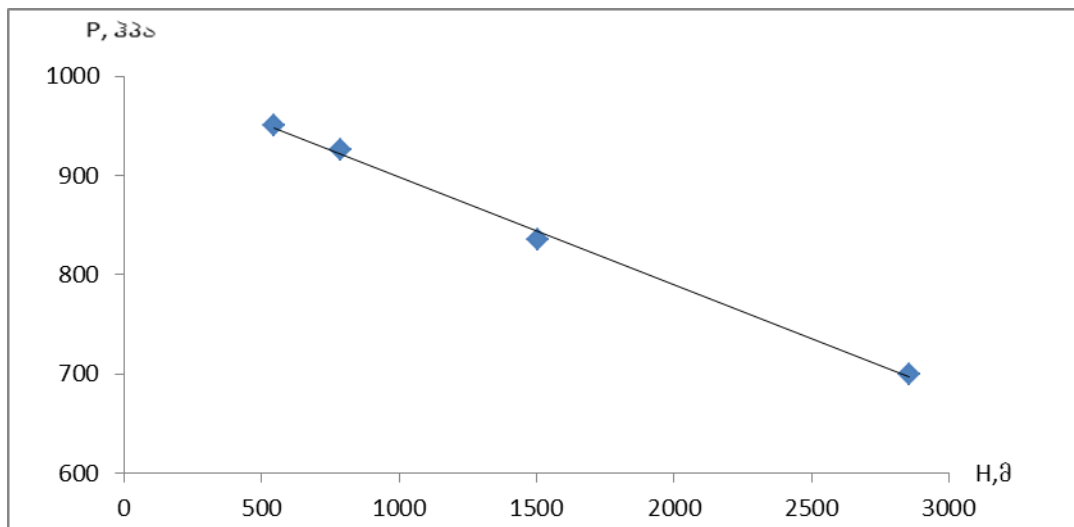
ცხრილი 1.3.1. ატმოსფერული წნევის საშუალოწლიური სიდიდეები (ჰპა). ზღვის დონეზე (საქართველოს სამეცნიერო-გამოყენებითი კლიმატური ცნობარი. ნაწ. 1, 2004).

სადგური	y	λ	$H, \text{მ}$	ატმოსფერული წნევა, ჰპა
ამბროლაური	42°09'	43°09'	544	950
მამისონის უდ.	42°42'	43°47'	2854	700
ონი	42°35'	43°27'	788	926
შოვი	42°42'	43°41'	1507	835

როგორც ცხრილ 1.3.1.-დან ჩანს ატმოსფერული წნევის საშუალოწლიური მნიშვნელობების სიდიდე დამოკიდებულია სადგურის სიმაღლეზე. სადგურის აბსოლუტური სილადლის მატების სინქრონულად ატმოსფერული წნევის საშუალოწლიური მნიშვნელობები კლებულობს. მაგალითად, სადგურ ამბროლაურში, რომლის

სიმაღლე შეადგენს 544მ-ს ზღვის დონიდან წნევის საშუალო წლიური სიდიდე ტოლია 950კპა-ისა, ხოლო შოვში (1507გ)- 835კპა-სა, მამისონის უღ.-ზე (2854გ) კი 700კპა-სა. მამისონის უღ.-ზე ამბოლაურთან შედარებით ატმოსფერული წნევის საშუალო წლიური სიდიდე კვემა 250კპა-ით.

ნახ. 1.3.1-ზე მოცემულია სადგურების დონეზე ატმოსფერული წნევის საშუალო წლიური მნიშვნელობების P (კპა) ადგილის აბსოლუტურ სიმაღლეზე ($H, \text{მ}$) დამოკიდებულების გრაფიკული სახე. ექსტრაპოლაციის მიზნით გამოყენებულია წნევის მნიშვნელობები: სადგურებზე ბახმარო (1926გ) და მამისონის უღელტეხილი (2854გ).



ნახ. 1.3.1. დამოკიდებულება $P=f(H)$

ნახ. 1.3.1-ზე წარმოდგენილი დამოკიდებულება ანალიზურად წარმოიდგინება წრფივი ფუნქციის სახით:

$$P = 1000 - 100H \quad (2)$$

ამ ფორმულის თანახმად $0,5\text{მ}$ სიმაღლეზე $P=950\text{kPa}$ -ს, 1მ სიმაღლეზე – $P=900\text{kPa}$ -ს, 2მ სიმაღლეზე – $P=800\text{kPa}$ -ს, 3მ სიმაღლეზე – $P=700\text{kPa}$ -ს.

1.4 ატმოსფეროს ცირკულაციური პროცესები

დასავლეთ საქართველოს კლიმატი განპირობებულია ატმოსფეროს ცირკულაციის ფორმათა ნაირსახეობით. მეცნიერთა უმეტესობის აზრით, ეს ნაირსახეობა შეიძლება გამოწვეული იყოს მათი ფორმათა ინტენსივობით, ხანგრძლივობით, მონაცვლეობით, გადანაცვლების სიჩქარითა და მიმართულებით.

დასავლეთ საქართველოში არსებული ცირკულაციური პროცესების
ნაირფეროვნება ბარიული წარმონაქმნების გადაადგილების უპირატესი
მიმართულების მიხედვით შეიძლება დაყვანილი იყოს შემდეგ ძირითად ტიპებზე:

—ზონალური ზემოქმედება უმეტესად დასავლეთის მდგენელით (W). ეს ტიპი
იშვიათია იანვარში, საშუალოდ თვეში 1 შემთხვევა, აპრილში და ოქტომბერში
შემთხვევათა რიცხვი იზრდება და შეადგენს თვეში 4 დღეს. აგვისტოში შემთხვევათა
რიცხვი უდიდესია და აღწევს 9-ს.

—ზონალური ზემოქმედება აღმოსავლეთის მდგენელით (E). იანვარში ასეთი
შემთხვევათა რიცხვი უდიდესია და შეადგენს საშუალოდ 7 დღეს. აგვისტოდან
ოქტომბრამდე ასეთი პროცესების ალბათობა პრაქტიკულად ნულის ტოლია.

—მერიდიანული ზემოქმედება ჩრდილოეთის მდგენელით (N). ამ ტიპის
ალბათობა უმცირესია იანვარში, არაუმეტეს 3 დღისა. აპრილიდან აგვისტომდე მათი
ალბათობა თვეში საშუალოდ 4-5 დღეა.

—მერიდიანული ზემოქმედება სამხრეთის მდგენელით (S). ეს ტიპი გამოირჩევა
სტაბილურობით და ძირითადად გვხვდება თვეში საშუალოდ 9-11 დღე.

—ასევე სტაბილურიბით გამოირჩევა ანტიციკლონური მდგომარეობა (A). მისი
ალბათობა შეადგენს თვეში 8-10 დღეს.

ზონალურ ტიპში გაერთიანებულია პროცესები, როდესაც ჰაერის მასები
გადაადგილდება აღმოსავლეთიდან დასავლეთისაკენ ან უფრო მეტად დასავლეთიდან
აღმოსავლეთისაკენ. ჩვენთვის უფრო მნიშვნელოვანია ზონალური ტიპის პროცესები
(W), რომელიც დაკავშირებულია აზორის ანტიციკლონის გაძლიერებასთან ან მის
აღმოსავლეთის თხემის საკვლევ ტერიტორიაზე მნიშვნელოვანი გავლენით.
მერიდიანული პროცესები (N) ძირითადად გამოწვეულია ხმელთაშუა ზღვის
ციკლონის გაძლიერებით ან ჰაერის ცივი მასების შემოჭრასთან დასავლეთ
საქართველოში ჩრდილო-დასავლეთიდან.

თითოეული ტიპი ხასიათდება ამინდის განსხვავებული თვისებებით სეზონების
მიხედვით. შემდგომი დეტალიზაციისათვის გავარჩიოთ ერთმანეთისაგან
ფრონტალური და შიდამასიური პროცესები. ფრონტალური პროცესები განსხვავდება
ერთმანეთისაგან ფრონტის ინტენსივობით, გადაადგილების სიჩქარითა და
მიმართულებით. ფრონტალური და შიდამასიური პროცესების მიმართულება, კერძოდ
დღეთა რიცხვის რაოდენობა თვეების მიხედვით ასეთ სურათს იძლევა: ფრონტალური
ტიპისათვის დამახასიათებელი ამინდი საკვლევ ტერიტორიაზე აღინიშნება აგვისტო-
ოქტომბერში და საშუალოდ შეადგენს თვეში 8 დღეს. ფრონტალური დღეების
უდიდესი რაოდენობა შეადგენს 16 დღეს და აღინიშნება აპრილში.

რაც შეეხება შიდამასიურ პროცესებს, უდიდესი აღნიშნულია აგვისტო-ოქტომბერში და აღწევს თვეში 23 დღეს. უმცირესი რაოდენობა შესაბამისად გვხვდება აპრილში და შეადგენს თვეში 14 დღეს. ამინდის ფორმირებაზე დიდი გავლენა აქვს შავი ზღვის სიახლოვეს, თუმცა სეზონების მიხედვით ეს გავლენა განსხვავებულია. ზოგადად შავი ზღვის სიახლოვე ზრდის რეგიონში ფარდობით სინოტივეს და ამცირებს ტემპერატურის კონტრასტს. შავი ზღვის გავლენა საგრძნობლად მცირდება ზღვიდან დაშორებისა და აბსოლუტური სიმაღლის ზრდის პროპორციულად. ეს ჩვენი მოკლე მიმოხილვა ძირითადად ვრცელდება რეგიონის დაბლობ ნაწილზე (500-800მ), სადაც ცხოვრობს მოსახლეობის უმეტესობა და იწარმოება სასოფლო-სამეურნეო პროდუქციის უდიდესი ნაწილი. რეგიონის სიმცირის მიუხდავად აქ აღინიშნება კლიმატური ზონების მრავალფეროვნება ნოტიო სუბტროპიკულიდან კონტინენტურ ჰავამდე.

**თავი II პლიმატის ძირითადი მდგრადი გეოგრაფიული ტერიტორიული
განაწილების კანონზომისათვალი**

2.1. პაროს ტემპერატურა

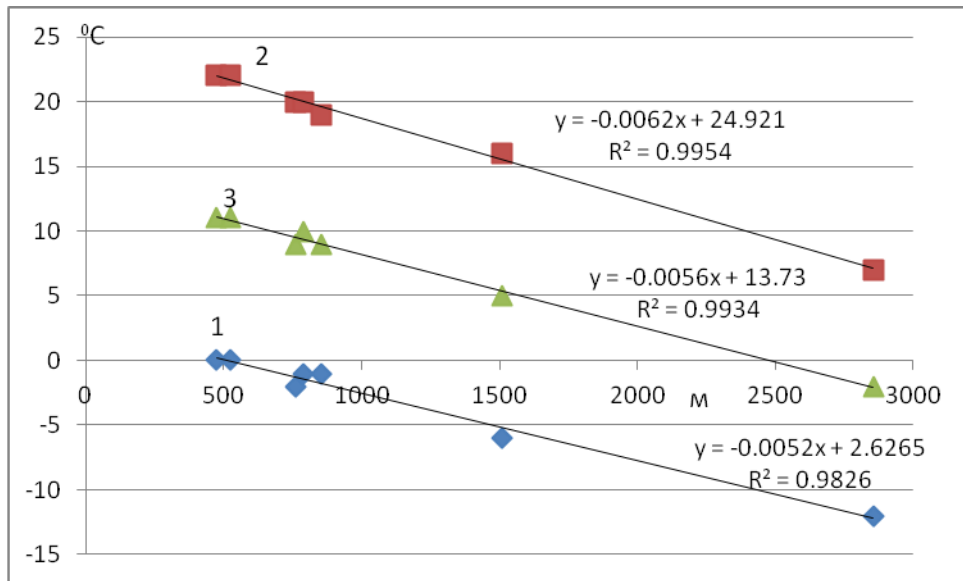
რაჭა-ლეჩხეუმის და ქვემო სვანეთის ტერიტორიაზე, მისი ფიზიკურ-გეოგრაფიული მრავალფეროვნების და სიმაღლეთა სხვაობის დიდი დიაპაზონის გამო, ტემპერატურის განაწილებას კონტრასტული ხასიათი აქვს, რაც კარგად ჩანს ქვემოდ წარმოდგენილი ცხრილიდან (ცხრილი 2.1.1).

ცხრილის თანახმად ყველაზე ცივი თვე ყველგან იანვარია, ყველაზე თბილი თვეები-ივლისი-აგვისტოა, ხოლო შემოდგომა გაზაფხულზე თბილია.

ცხრილი 2.1.1-დან ჩანს აგრეთვე, რომ ტემპერატურის ცვლილების მთავარი ფაქტორი ადგილის სიმაღლეა. სიმაღლის გაზრდასთან ერთად ტემპერატურა ეცემა. ეს კარგად ჩანს ნახ.2.1.1-ზე წარმოდგენილი დამოკიდებულებები-დან და მათი აღმწერი შესაბამისი ფუნქციებიდან.

ცხრილი 2.1.1 პაროს ტემპერატურა ${}^{\circ}\text{C}$

სადგური, სიაღლე, მ	თ ვ ე												წელი
	I	II	III	IV	V	VI	VII	VIII	IX	X	XI	XII	
ვაგერი, 474	0	1.1	5.3	11.1	16.4	19.5	21.8	22.0	17.9	12.5	7.0	1.7	11.4
ამბროლაური, 524	-0.3	1.1	5.4	10.9	15.9	19.2	21.9	22.1	17.9	12.5	6.7	1.4	11.2
ჭრებალო, 525	-0.6	1.2	5.6	11.2	16.3	19.6	22.1	22.4	18.4	12.7	6.8	1.1	11.4
ლენტები, 760	-1.8	-1.3	3.5	8.9	14.3	17.3	20.0	20.1	15.9	10.6	5.0	-0.3	9.4
ონი, 788	-1.0	0.3	4.0	9.5	14.5	17.6	20.4	20.5	16.4	11.2	5.8	0.8	10.0
ლაილაში, 853	-1.4	-0.2	3.2	8.8	13.5	16.7	19.2	19.6	16.0	11.5	6.0	1.3	9.5
შოვი, 1507	-5.6	-4.6	-1.2	3.8	9.6	12.8	15.6	15.6	11.4	6.6	1.4	-3.4	5.2
გამისონის უდ. 2854	-12.0	-12.2	-8.9	-4.1	0.6	3.8	7.3	7.6	4.0	-0.5	-5.3	-9.1	-2.4



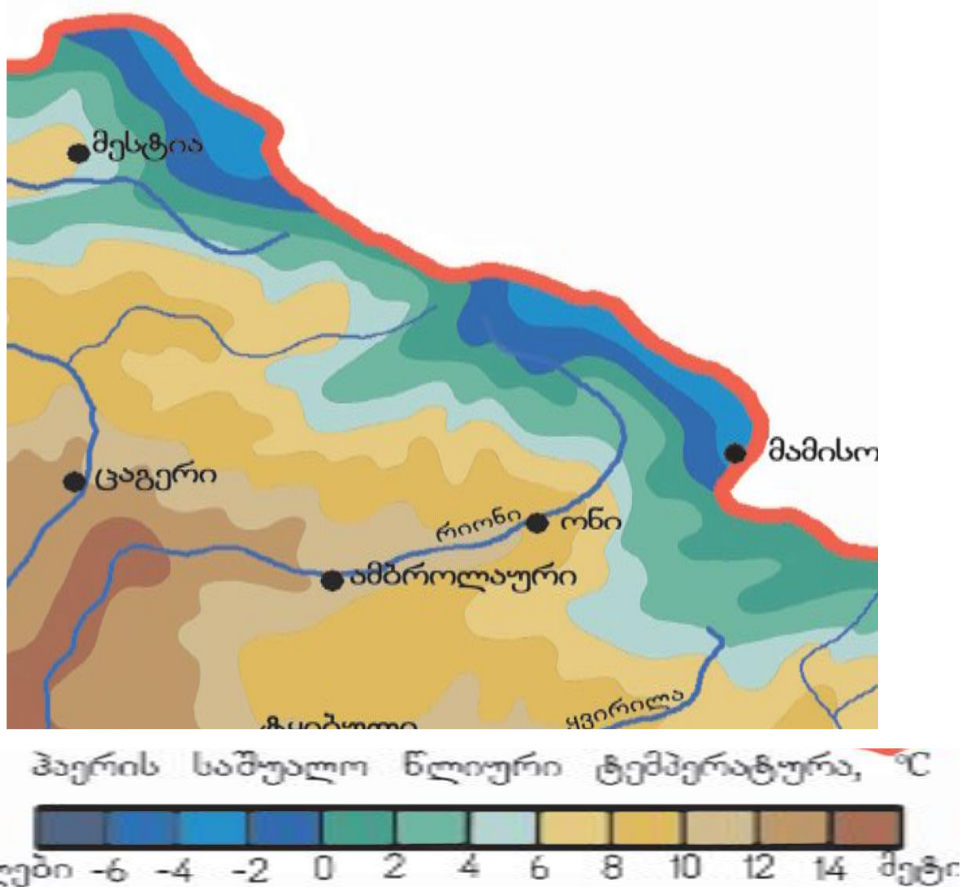
ნახ. 2.1.1. პაერის ტემპერატურის ცვლილება სიმაღლის მიხედვით რაჭა-ლეჩხეუმი, ქვემო სვანეთის რეგიონში და შესაბამისი აღმწერი ფუნქციები: 1-იანვარი; 2-ივლისი; 3-წელი (R^2 -დეტერმინაციის კოეფიციენტია)

ნახ.2.1.1.-დან და შესაბამისი განტოლებებიდან ჩანს, რომ ტემპერატურა სიმაღლის მიხედვით წრფივად კლებულობს. ტემპერატურის ვერტიკალური გრადიენტი იანვრისა და საშუალო წლიური ტემპერატურებისათვის ყოველ 100მ სიმაღლეზე 0.5^0 -ს, ხოლო ივლისის ტემპერატურისათვის 0.6^0 - შეადგენს. ამავე ნახ.-ზე წარმოდგენილი დეტერმინაციის კოეფიციენტი გვიჩვენებს, თუ რამდენია ადგილის სიმაღლის წვლილი ტემპერატურის ცვლილებაში. როგორც დეტერმინაციის კოეფიციენტის მნიშვნელობები გვიჩვენებს, ადგილის სიმაღლის წვლილი ტემპერატურის ცვლილებაში გადამწყვეტია და 100 %-ს უახლოვდება.

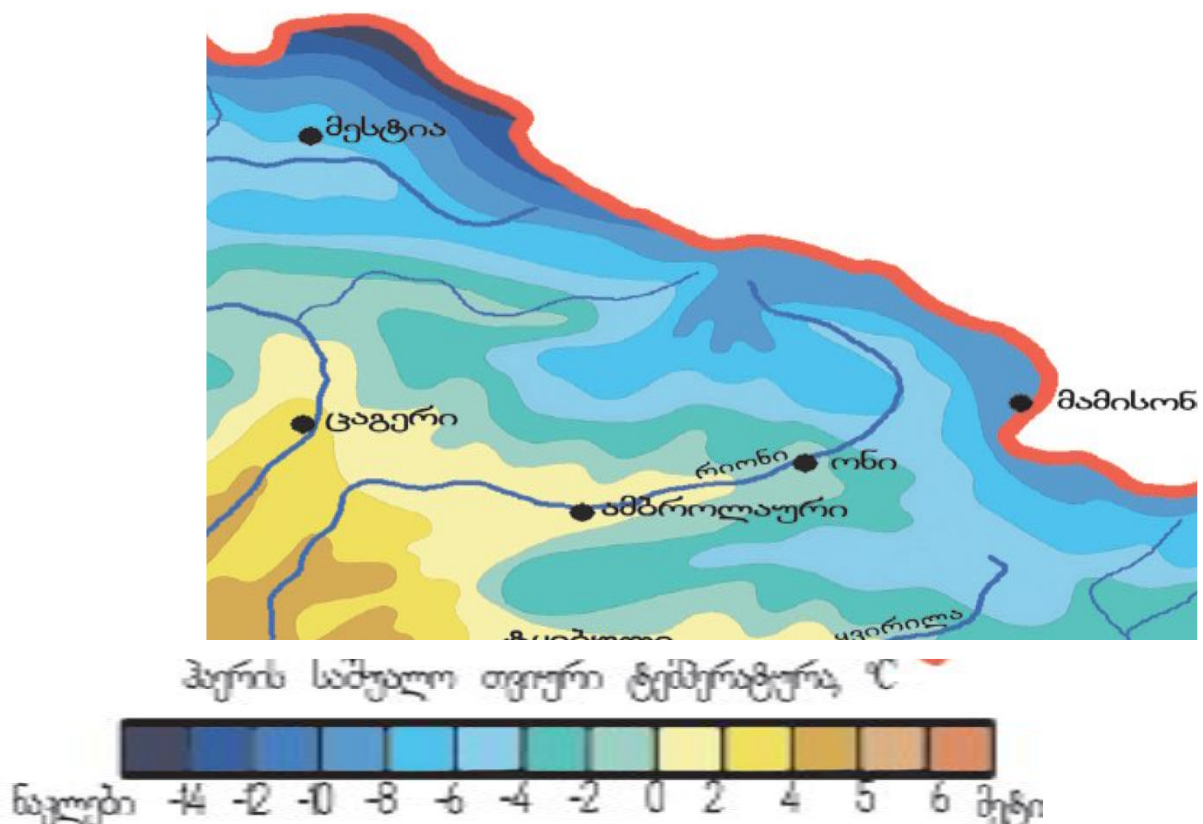
მიღებული განტოლებების მაღალი საიმედობიდან გამომდინარე შეგვიძლია საკმაო სიზუსტით ვიმსჯელოთ სხვადასხვა სიმაღლითი სარტყლის ტემპერატურულ რეჟიმზე და წარმატებით გამოვიყენოთ ისინი სხვადასხვა გაანგარიშებებში.

რეგიონის ტერიტორიის ტემპერატურული რეჟიმი კარგად აისახება ნახ.2.1.2.-2.1.6-ზე წარმოდგენილ იზოთერმების რუკებზე (საქართველოს კლიმატური და აგროკლიმატური ატლასი, 2011).

ნახ.2.1.2-დან ჩანს, რომ პაერის საშუალო წლიური ტემპერატურა საკვლევ ტერიტორიაზე ძირითადად დადებითია და მინუს 4-დან 16^0 -მდე იცვლება. უდიდესი ტემპერატურები აღინიშნება რიონის ხეობაში, ხოლო უმცირესი-კავკასიონის მაღალმთიან ზონაში. ტერიტორიის უდიდეს ნაწილზე ტემპერატურა $4-12^0$ ფარგლებში მერყეობს.



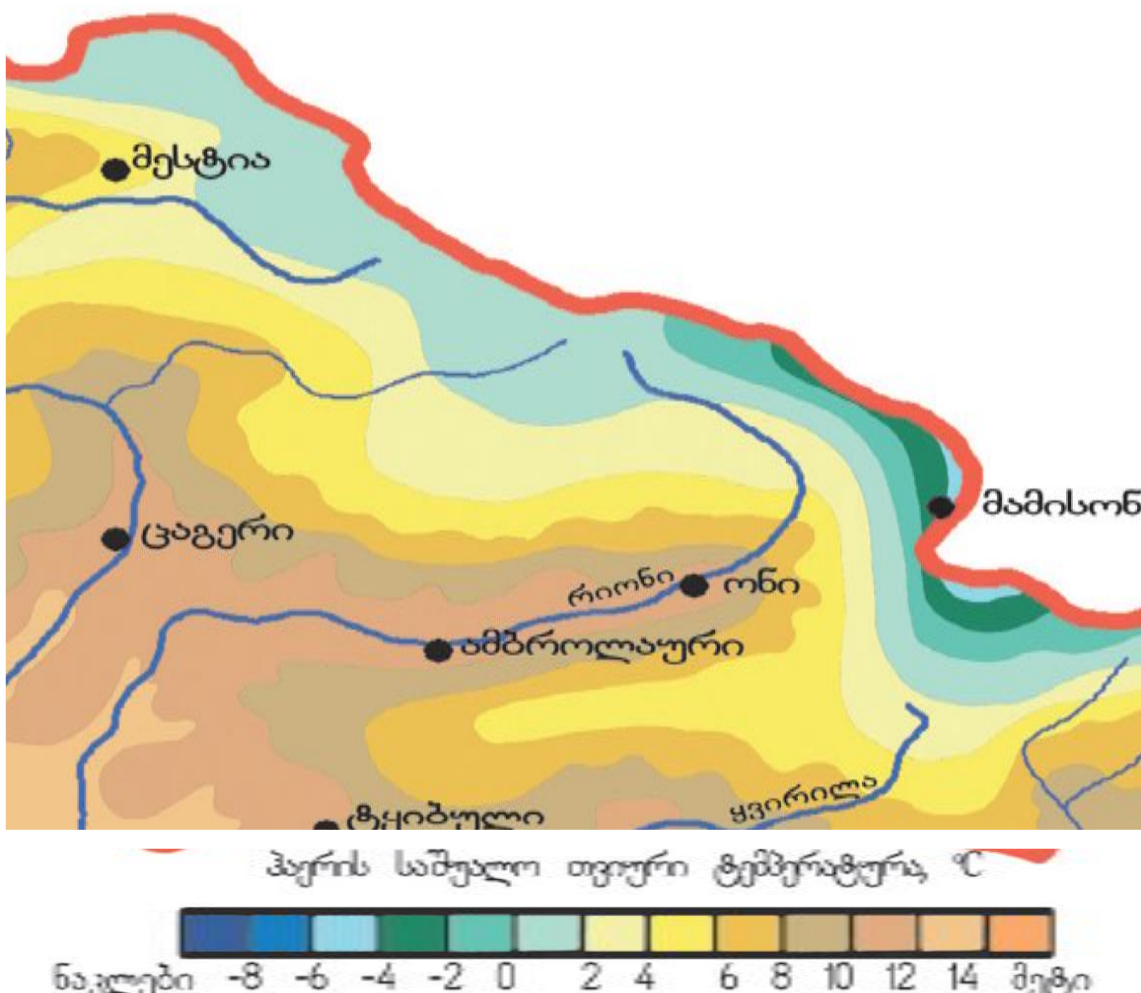
ნახ. 2.1.2. ჰაერის ტემპერატურა (საშუალო წლიური)



ნახ. 2.1.3. ჰაერის ტემპერატურა (იანვარი)

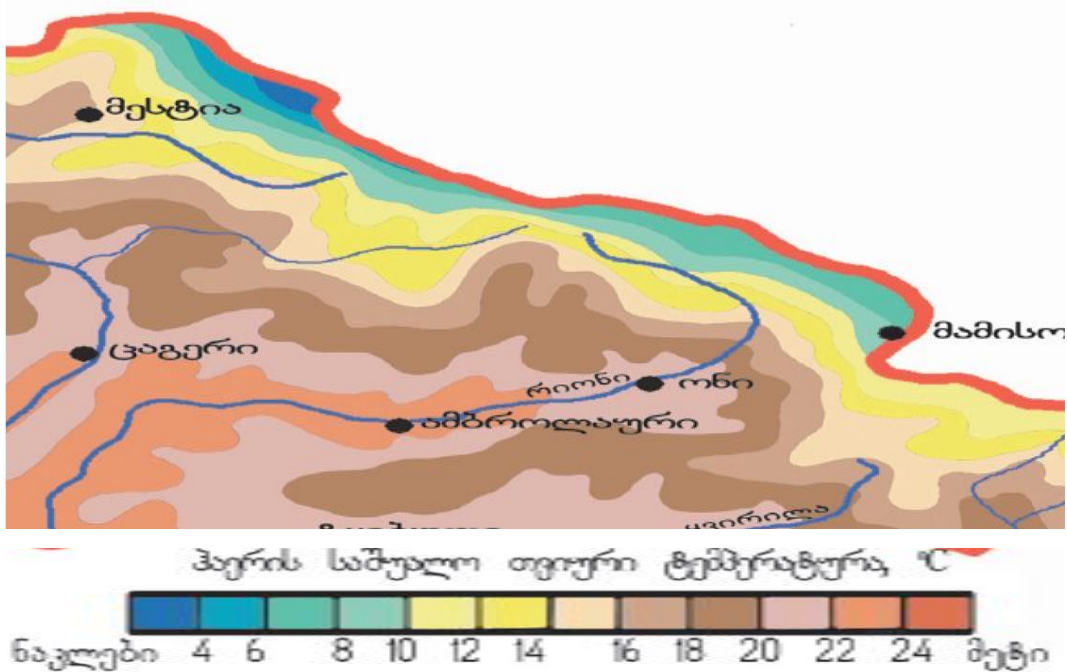
ნახ. 2.1.3-ის თანახმად იანვრის საშუალო თვიური ტემპერატურა მინუს 12-14°C-დან პლიუს 5° C-მდე ფარგლებში მერყეობს. უდიდესი ტემპერატურები აგრეთვე რიონის ხეობაში აღინიშნება, კავკასიონის მაღალმთიან ზონაში კი მინუს 14°C-მდე ეცემა.

აპრილში ტერიტორიის უდიდეს ნაწილზე ტემპერატურა დადებითია და 11°-მდე აღწევს, მაღალმთიან ზონაში კი უარყოფითია. ამ შემთხვევაშიც ყველაზე მაღალი ტემპერატურა აგრეთვე რიონის ხეობაში აღინიშნება, ხოლო ყველაზე დაბალი ტემპერატურა კი ბაგდასიონის მაღალმთიან ზონაში.



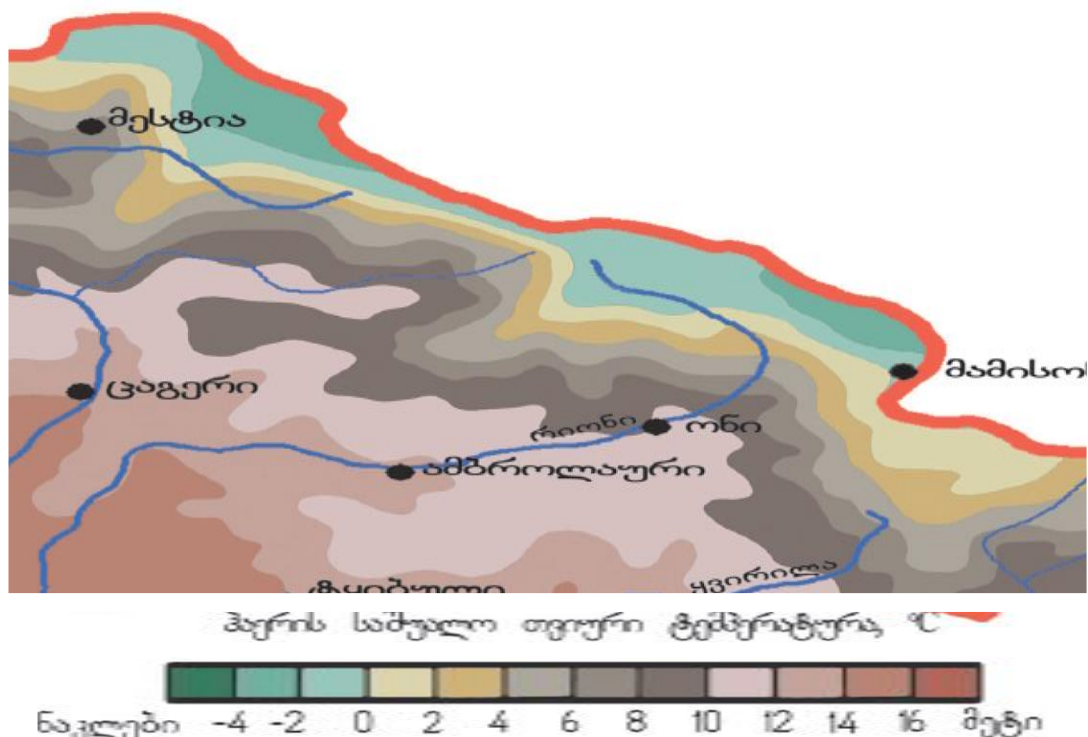
ნახ. 2.1.4. პაერის ტემპერატურა (აპრილი)

ივლისის თვეში პაერის საშუალო ტემპერატურა 7°-დან 22°-მდე იცვლება, მაქსიმუმით აგრეთვე აგრეთვე რიონის ხეობაში და მინიმუმით კავკასიონზე.



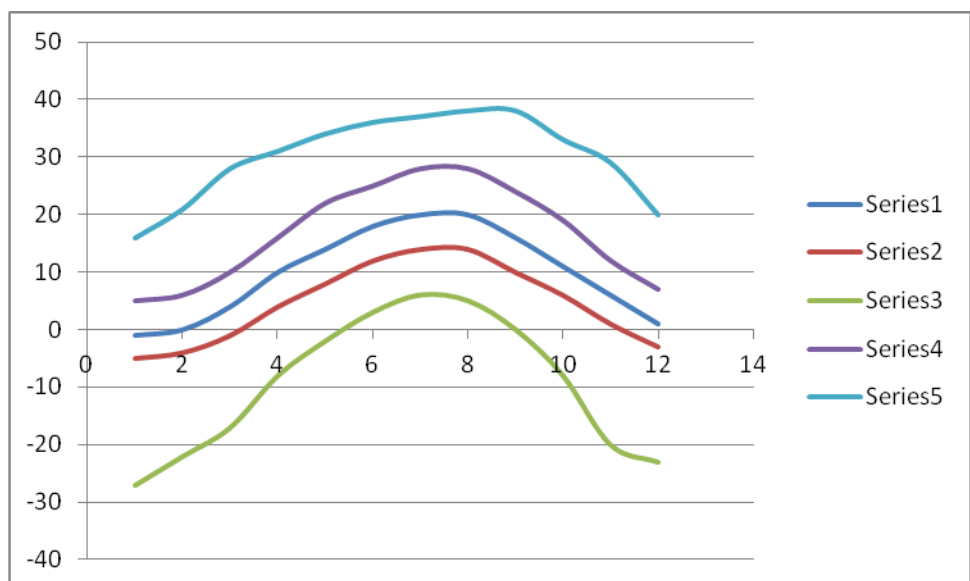
ნახ. 2.1.5. ჰაერის ტემპერატურა (ივლისი)

ოქტომბრის თვის ტემპერატურა მინუს 0.5⁰-დან პლიუს 12-13⁰-ფარგლებში მერყეობს. ამ თვეშიც შენარჩუნებულია ძირითადი გეოგრაფიული კანონზომიერება—ტემპერატურის თანდათანობითი დაცემა რიონის ხეობიდან კავკასიონის მიმართულებით, ადგილის სიმაღლის ზრდასთან ერთად.

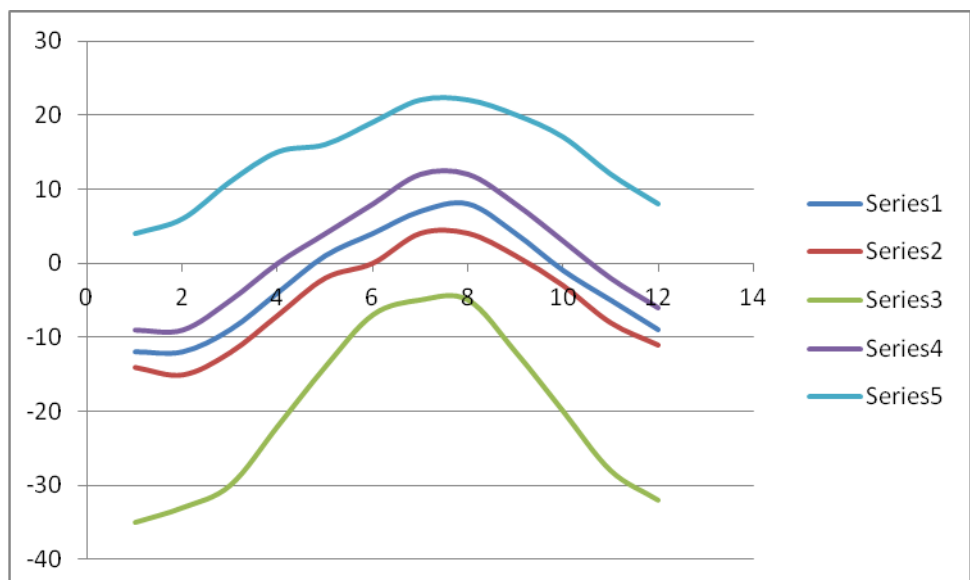


ნახ. 2.1.6. ჰაერის ტემპერატურა (ოქტომბერი)

ტემპერატურის წლიური სვლა ხასიათდება მინიმუმით იანვარში, ხოლო მაქსიმუმით ივლის-აგვისტოში. ასეთივე სვლა აქვს ტემპერატურის ექსტრემალურ მახასიათებლებს-აბსოლუტურ მინიმუმს და აბსოლუტურ მაქსიმუმს, საშუალო მინიმუმს და საშუალო მაქსიმუმს. ეს კარგად ჩანს ნახ. 2.1.7- დან სადაც წარმოდგენილია პაერის ტემპერატურის საშუალო და ექსტრემალური მნიშვნელობების წლიური სვლა ორ განსხვავებულ ფიზიკურ-გეოგრაფიულ პირობებში: ონში (788 მ ზღვის დონედან) და მამისონის უღელტეხილზე (2854 მ).



a)



b)

ნახ. 2.1.7. პაერის ტემპერატურის საშუალო და ექსტრემალური მნიშვნელობების წლიური სვლა ონში (ა) და მამისონის უდელტეხილზე (ბ): 1-საშუალო; 2-საშუალო მინიმუმი; 3- აბსოლუტური მინიმუმი; 4-საშუალო მაქსიმუმი; 5-აბსოლუტური მაქსიმუმი

როგორც ნახ.2.1.7-დან ჩანს, ექსტრემალურ ტემპერატურათა მნიშვნელობანი რეგიონში საკმაოდ დიდ დიაპაზონში მერყეობს. მაგალითად, მამისონის უდელტეხილზე იანვარში ტემპერატურის აბსოლუტური მინიმუმი მინუს 35 გრადუსზე დაბლა ეცემა, ხოლო ზაფხულში ტემპერატურის აბსოლუტური მაქსიმუმი 22-23 გრადუსს აღწევს.

2.2. პაერის სინოტივე

სინოტივის ძირითადი მახასიათებლებია წყლის ორთქლის პარციალური წნევა და პაერის შეფარდებითი სინოტივე.

წყლის ორთქლის პარციალური წნევა, პაერის ტემპერატურის მსგავსად, წლიურ სვლაში უმცირეს მნიშვნელობებს ზამთარში, ხოლო უდიდესს მნიშვნელობებს –ზაფხულში აღწევს. ამასთანავე სიმაღლის ზრდით პარციალური წნევაც აგრეთვე კანონზომიერად კლებულობს (ცხრილი 2.2.1).

ცხრილი 2.2.1. პაერის წყლის ორთქლის პარციალური წნევა (კპა)

სადგური, სიმაღლე, მ	თ ვ ე												წელი
	I	II	III	IV	V	VI	VII	VIII	IX	X	XI	XII	
ცაგერი, 474	5.6	5.8	6.7	9.2	13.2	16.7	19.6	19.4	15.8	11.3	8.3	6.3	11.5
ამბროლაური, 524	5.1	5.3	6.2	8.6	12.4	15.7	18.5	18.9	14.6	10.6	7.8	5.8	10.7
ჭრებალო, 525	5.2	5.4	6.3	8.8	12.6	16.0	19.0	18.7	15.1	11.0	8.1	5.9	11.0
ლენტები, 760	5.0	5.2	5.7	7.8	11.1	14.1	17.0	16.6	13.3	9.5	7.1	5.5	9.8
ონი, 788	4.6	4.8	5.4	7.4	10.8	13.8	16.4	15.8	12.8	9.4	6.9	5.2	9.4
შოვი, 1507	3.5	3.7	4.4	6.0	8.6	11.0	13.2	12.8	10.3	7.2	5.5	4.2	7.5
მამისონის უღ. 2854	2.0	2.0	2.6	3.8	5.2	6.8	8.6	8.2	6.4	4.4	3.2	2.5	4.6

ცხრილიდან აგრეთვე ჩანს, რომ წლის განმავლობაში პარციალური წნევის საშუალო წლიური მნიშვნელობა რეგიონის ტერიტორიაზე იცვლება დაახლოებით 4-დან 12 ჰა-მდე ფარგლებში.

იანვარში წყლის ორთქლის პარციალური წნევა უმცირესია და მერყეობს 2-დან 5-6 ჰა-ფარგლებში. გაზაფხულიდან პარციალური წნევა იზრდება და მაქსიმუმს ივლის-აგვისტოში აღწევს, როდესაც ის 8-20 ჰა ფარგლებში იცვლება. ზაფხულის შემდეგ პარციალური წნევა ეცემა.

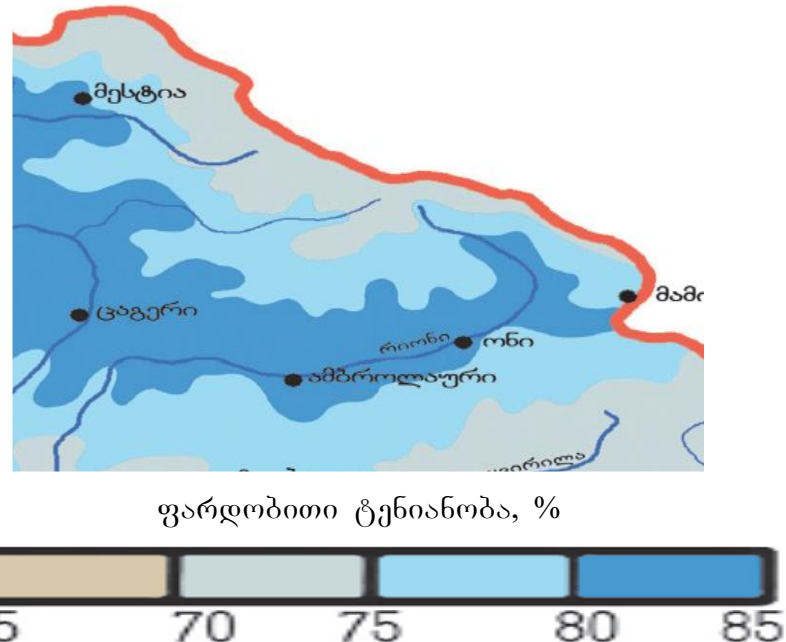
ჰაერის სინოტივის აგრეთვე მნიშვნელოვანი მახასიათებელია შეფარდებითი სინოტივე. ის წარმოადგენს ჰაერის შემავალი წყლის ორთქლის პარციალური წნევის შეფარდებას გაჯერებული წყლის ორთქლის პარციალურ წნევასთან იმავე ტემპერატურაზე და გამოისახება პროცენტებში (%). ეს ჰარამეტრი დამოკიდებულია ჰაერის ტემპერატურაზე, ცირკულარულ პროცესებზე, დრუბლიანობაზე, ქარის რეჟიმზე, ოროგრაფიაზე და ა.შ. შეფარდებით სინოტივეს აგრეთვე ახასიათებს სეზონური სვლა, თუმცა მნიშვნელოვნად დამოკიდებულია ადგილობრივ ჰიდრობენზე (ცხრილი 2.2.2.).

ცხრილი 2.2.2 ჰაერის შეფარდებითი სინოტივე (%)

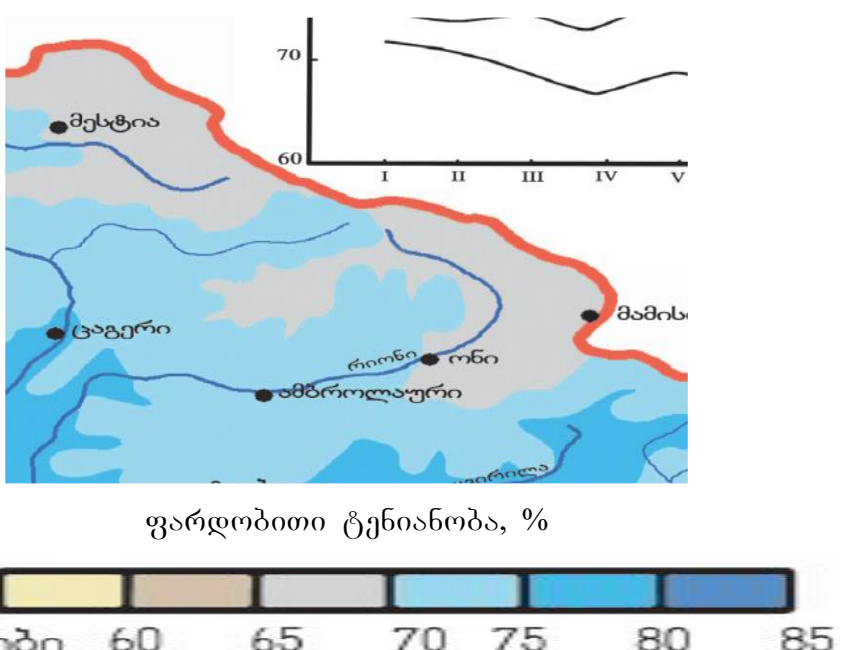
სადგური, სიმაღლე, მ	თ ვ ე												კლი
	I	II	III	IV	V	VI	VII	VIII	IX	X	XI	XII	
ცაგერი, 474	84	82	77	72	72	74	75	75	78	83	80	84	78
ამბროლაური, 524	81	78	73	68	70	71	72	71	74	78	78	81	75
ჭრებალო, 525	84	80	74	68	70	71	73	72	75	80	80	84	78
ლენტები, 760	85	82	77	71	70	72	74	74	78	81	80	86	78
ონი, 788	78	74	70	65	68	70	70	68	72	76	74	77	72
შოვი, 1507	80	80	78	76	74	75	76	76	80	80	80	81	78
მამისონის უდ. 2854	81	80	83	81	82	82	81	80	80	78	74	76	80

როგორც ცხრილიდან ჩანს შეფარდებითი სინოტივის საშუალო წლიური მნიშვნელობა 72-80 % ფარგლებში მერყეობს. წლიურ სვლაში მაქსიმუმი ზამთარში, ძირითადად დეკემბერში ან იანვარში, ხოლო მინიმუმი ძირითადად გაზაფხულზე აღინიშნება.

შეფარდებითი სინოტივის ტერიტორიული განაწილების შესახებ ზამთრის და ზაფხულის სეზონების ცენტრალურ თვეებში წარმოდგენას გვაძლევს ნახ.2.2.1 და ნახ.2.2.2- ზე წარმოდგენილი რუკები (საქართველოს კლიმატური და აგროკლიმატური ატლასი, 2011).



ნახ. 2.2.1. პაერის შეფარდებითი სინოტივე (%). იანვარი



ნახ. 2.2.2. პაერის შეფარდებითი სინოტივე (%). ივლისი

როგორც ნახ. 2.2.1-დან ჩანს პაერის შეფარდებითი სინოტივე იანვრის თვეში რეგიონის მთელ ტერიტორიაზე იცვლება 65-85%-ს ფარგლებში. ნახ. 2.2.2-ის თანახმად ივლისში შეფარდებითი სინოტივე იცვლება 65-80%-ს ფარგლებში. სინოტივე უდიდესია მდინარეთა ხეობებში, ხოლო უმცირესი მაღალმთიან ზონაში.

პაერის სინოტივის მნიშვნელოვანი მახასიათებელია დღეთა რიცხვი სინოტივის სხვადასხვა მნიშვნელობით. როდესაც შეფარდებითი სინოტივე ნაკლებია 30%-ზე, მას მშრალ დღეს უწოდებენ, ხოლო როდესაც შეფარდებითი სინოტივე აღემატება 80%-ს, მას მშრალ დღეს უწოდებენ (იხ.ცხრილი 2.2.3).

ცხრილი 2.2.3 მშრალი (შეფარდებითი სინოტივე $\leq 30\%$) და ნოტიო ($\geq 80\%$)

დღეთა რიცხვი

სადგური, დღეთა რიცხვი	მშრალი ($\leq 30\%$)	თ ვ ე												ტექ
		I	II	III	IV	V	VI	VII	VIII	IX	X	XI	XII	
ცაგერი	მშრალი ($\leq 30\%$)	0	0.4	1.4	4.5	2.0	1.2	0.9	1.2	0.8	0.2	0.2	0.2	13.0
	ნოტიო ($\geq 80\%$)	10	7.7	6.6	4.6	3.2	2.6	2.1	2.4	2.9	4.1	6.3	10.5	63.0
ონი	მშრალი ($\leq 30\%$)	0.5	2.3	6.3	9.6	5.9	3.0	2.7	4.8	4.3	4.2	3.3	1.1	48.0
	ნოტიო ($\geq 80\%$)	7.9	5.0	4.2	2.4	2.5	1.9	1.6	1.5	2.1	4.3	4.7	6.8	44.9
ძალის უდინობის უდ	მშრალი ($\leq 30\%$)	3.0	2.2	2.0	1.0	0.6	0.4	0.6	1.3	1.9	2.3	3.0	3.9	22.2
	ნოტიო ($\geq 80\%$)	18.0	7.7	18.9	15.7	14.5	12.0	12.9	11.4	11.8	15.1	14.1	17.6	179.7

ცხრილის თანახმად მშრალ დღეთა რიცხვი რეგიონის ტერიტორიაზე წელიწადში დაახლოებით 10-50-ფარგლებშია. შედარებით მეტია ნოტიო დღეთა რიცხვი, როდესაც შეფარდებითი სინოტივე $\geq 80\%$. ასეთი დღეები შეადგენს 45-180-ს და მაქსიმუმს მაღალმთიან ზონაში აღწევს. მშრალ დღეთა რიცხვი უდიდესია ზაფხულში ან შემოდგომაზე, მაღალმთიან ზონაში კი მისი მაქსიმუმი ზამთრის თვეებზე გადაინაცვლებს. ნოტიონ დღეთა რიცხვი უდიდესია ზამთარში, ხოლო უმცირესი კი ზაფხულში.

2.3. ატმოსფერული ნალექები

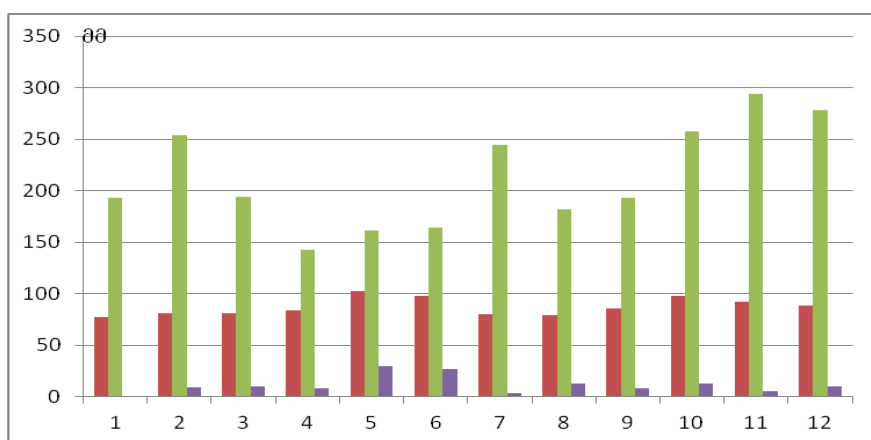
ცხრილში 2.3.1. წარმოდგენილია ატმოსფერული ნალექების თვიური და წლიური ჯამების მნიშვნელობები რეგიონის მთავარ პუნქტებში.

ცხრილი 2.3.1 ატმოსფერული ნალექების თვიური და წლიური ჯამები, მმ

სადგური, სიმაღლე, მ	თ ვ ე												წლი
	I	II	III	IV	V	VI	VII	VIII	IX	X	XI	XII	
ცაგერი, 474	106	110	108	111	112	114	96	87	110	122	107	114	1298
ამბროლაური, 524	79	86	86	86	105	99	80	80	87	99	94	93	1075
ჭრებალო, 525	77	79	84	89	109	103	84	82	90	102	97	92	1088
ლენტები, 760	100	104	103	106	109	111	93	83	106	118	102	102	1244
ონი, 788	77	81	81	84	103	98	80	79	86	98	92	89	1048
ზოვი, 1507	95	102	103	101	122	114	91	92	102	118	115	109	1264

ცხრილი 2.3.1-დან ჩანს, რომ რეგიონის ტერიტორიაზე წლის განმავლობაში უდიდესი ნალექი გაზაფხულზე, ზაფხულის დასაწყისში, ან შემოდგომის დასაწყისში, ხოლო უმცირესი ზამთარში მოდის.

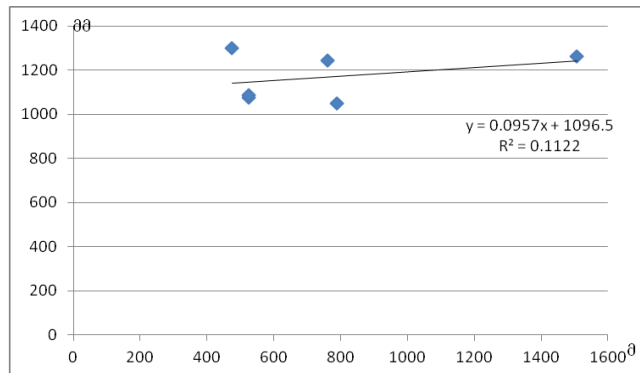
ნახ. 2.3.1-ზე წარმოდგენილია ნალექების თვიური ჯამების უდიდესი, საშუალო და უმცირესი მნიშვნელობების პისტოგრამები ონისათვის.



ნახ. 2.3.1. ატმოსფერული ნალექების წლიური სვლა ონში: უდიდესი, საშუალო და უმცირესი მნიშვნელობები

როგორც ნახ. 2.3.1-დან ჩანს იანვრის თვეში მთელი თვის განმავლობაში შესაძლებელია ნალექი საერთოდ არ მოვიდეს. ამავე დროს ცალკეულ წლებში შესაძლებელია მოვიდეს ნალექების ისეთი რაოდენობა, რომ ჯამში რამოდენიმეჯერ აღემატებოდეს ნალექების თვიურ ნორმას.

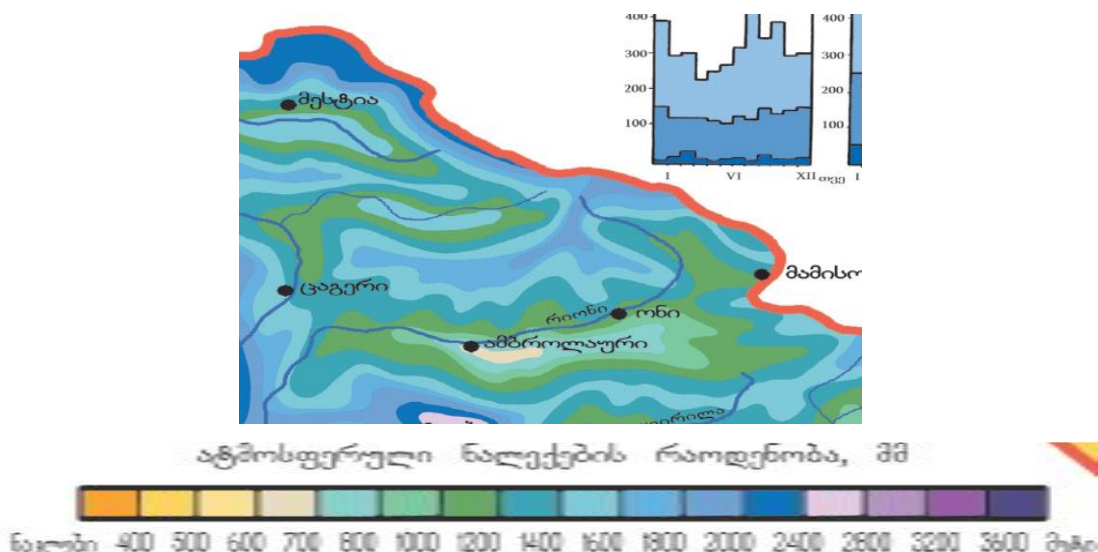
ნახ. 2.3.2-ზე წარმოდგენილია ნალექების ჯამების სიმაღლის მიხედვით ცვლილება რეგიონში, შესაბამისი აღმწერი ფუნქცია და დეტერმინაციის კოეფიციენტი.



ნახ. 2.3.2. ატმოსფერული ნალექების წლიური ჯამების ცვლილება სიმაღლის მიხედვით და შესაბამისი აღმწერი ფუნქცია (R^2 -დეტერმინაციის კოეფიციენტია)

დეტერმინაციის კოეფიციენტი საკმაოდ მცირეა, რაც იმას ადასტურებს, რომ ადგილის სიმაღლის ხვედრითი წილი ნალექთა ჯამის ცვლილებაში უმნიშვნელოა და მხოლოდ 11%-ს შეადგენს. ამდენად დანარჩენი წილი, ანუ 89%, ნალექთა ჯამების გადანაწილებაში რელიეფის ფორმას და სხვა მორფომეტრულ ფაქტორებს შეაქვს.

ატმოსფერული ნალექების ტერიტორიული განაწილების კანონზომიერებები კარგად ჩანს ნახ. 2.3.3-ზე წარმოდგენილი იზოპიეტების რუკიდან (საქართველოს კლიმატური და აგროკლიმატური ატლასი, 2011).



ნახ. 2.3.3. ატმოსფერული ნალექების წლიური ჯამები (მმ)

ნახ. 2.3.3.-ს თანახმად, რეგიონის ტერიტორიაზე მოსული ნალექების წლიური ჯამები მერყეობს 1000-დან 2000 მმ-დან 2000 მმ-დან უმცირესი ნალექები მდინარეთა ხეობებში მოდის, ხოლო ნალექების უდიდესი რაოდენობა კავკასიონის მაღალმთიან ზონაში აღინიშნება.

ცხრილში 2.3.2 წარმოდგენილია ატმოსფერული ნალექების მნიშვნელოვანი მახასიათებლები-დღეთა რიცხვი ნალექებით.

ცხრილი 2.3.2 ნალექებიან დღეთა რიცხვი

სადგური, სიმაღლე, მ	თ ვ ე												წელი
	I	II	III	IV	V	VI	VII	VIII	IX	X	XI	XII	
ცაგერი, 474	14.5	14.0	15.1	12.8	14.2	13.0	10.9	10.0	10.9	11.9	11.2	13.6	152
ამბროლაური, 524	12.2	13.5	14.0	13.0	14.8	12.7	10.7	9.7	10.1	11.6	10.9	12.8	148
ონი, 788	11.6	11.5	12.4	12.7	14.6	13.3	10.6	9.2	9.9	10.2	10.6	11.6	138
შოვი, 1507	15.5	15.6	17.0	16.5	19.8	18.3	15.4	13.3	13.6	13.8	12.2	13.3	184
მამისონის უდ. 2854	15.5	15.9	17.0	17.5	20.7	19.9	16.9	15.0	14.1	13.4	13.1	13.9	193

ცხრილიდან ჩანს, რომ ნალექიან დღეთა რიცხვი რეგიონში საშუალოდ 130-200 დღეს შეადგებს. ნალექებიან დღეთა რიცხვის წლიური სვლა ძირითადად შეესაბამება ნალექების ჯამების წლიური სვლას.

2.4 თოვლის საჭარი

თოვლის საფარის რეჟიმული მახასიათებლების (საშუალო დეკადური და მაქსიმალური სიმაღლე, გაჩენისა და გაქრობის თარიღები, არსებობის ხანგრძლივობა, სიმკვრივე, წონა და წყლიანობა, თოვლის ხანგრძლივობა და ინტენსივობა, თოვლის საფარით ზამთრების არსებობის ალბათობა, დიდოოვლიანი, საშუალოთოვლიანი და მცირეთოვლიანი ზამთრების განმეორადობა და სხვ.) შესწავლას აქვს დიდი მნიშვნელობა ადამიანის სამეურნეო საქმიანობისათვის. კერძოდ სოფლის მეურნეობის მცენარეების დარგში თოვლის საფარი ხელს უწყობს საშემოდგომო მარცვლოვანი კულტურების ნორმალურ განვითარებას იცავს რა მათ ყინვებისაგან ზამთრის პერიოდში, ნიადაგში ზრდის ტენიანობას რაც დადგებითად მოქმედებს მარცვლოვანი კულტურების მოსავლიანობაზე. გაზაფხულზე თოვლის საფარის დონის პერიოდში იზრდება მთის მდინარეების ჯამური ჩამონადენი და

პიდროელექტროსადგურების მიერ გამომუშავებული ელექტროენერგიის რაოდენობა. მთიანი რაიონების გლაციერ-ნივალურ ზონაში მყინვარების წარმოშობა და მათი არსებობა განპირობებულია წელიწადის განმავლობაში აქ მოსული მყარი ატმოსფერული ნალექებით (ძირითადად თოვლით). აბლიაციის პერიოდში მთის მდინარეების ჯამურ ჩამონადენში მთავარ როლს ასრულებს მყინვარული მდგენელი. თოვლის საფარის რეჟიმული მახასიათებლების ცოდნა აუცილებელია სახალხო მეურნეობის მთელ რიგ დარგებთან (სამთო ტურიზმი, ალპინიზმი, სამთო-სათხილამურო სპორტი და სხვ) დაკავშირებული პერსონალისთვის როგორც ცნობილია, ამ დარგების რეკრეაციული ინფრასტრუქტურის ობიექტები (საცხოვრებელი, ადმინისტრაციული, სასპორტო-კულტურული შენობები, საბაგირო გზები, ელექტროგადამცემი ხაზები და სხვ.), ძირითადად განლაგებულია მდგრადი თოვლის საფარის ზონაში, რომელიც ხასიათდება უხვოვლიანობით და ხშირ შემთხვევაში ოროგრაფიის ელემენტების (მაგალითად ფერდობების) ისეთი მახასიათებლებით, რომლებიც ხელს უწყობენ თოვლის ზვავების წარმოქმნას და საფრთხეს უქმნიან ტურისტების, ალპინისტების და მომსახურე პერსონალის სიცოცხლეს. ზვავსაშიშროება მდგრადი თოვლის საფარის ზონაში წარმოადგენს აქტუალურ პრობლემას და სასპორტო-რეკრეაციული ინფრასტრუქტურის და სხვა დანიშნულების ობიექტების დაგეგმვარების და მშენებლობის პროცესში ამ მოვლენის პროფილაქტიკური ღონისძიებები აუცილებლად უნდა იქნეს გათვალისწინებული.

აღსნიშნავია ის გარემოაება, რომ სასპორტო-რეკრეაციული ინფრასტრუქტურის დაგეგმვარების და მშენებლობის საკითხი მდგრადი თოვლის საფარის ზონაში ლიმიტირებულია თოვლის საფარის არსებობის ხანგრძლივობით და სიმაღლით: იმ შემთხვევაში თუ მრავალწლიური დაკვირვებების ინფორმაციით მოცემულ რაიონში მდგრადი თოვლის სფარის არსებობის ხანგრძლივობა 3 თვეზე, ხოლო მისი მაქსიმალური სიმაღლე 30სმ-ზე ნაკლებია მაშინ რაიონი ამ პრობლემის რეალიზაციისათვის ითვლება უპერსპექტივოდ.

თოვლის საფარის არსებობის ხანგრძლივობით რაჭა-ლეჩხუმის ტერიტორიაზე გამოიყოფა ორი ზონა: არამდგრადი და მდგრადი თოვლის საფარი. არამდგრადი თოვლის საფარის ზონა აღინიშნება დაბლობ რაიონებში 700-800მ სიმაღლემდე (სადგური ონის სიმაღლე-788მ). ზამთრის განმავლობაში ამ ზონაში თოვლის საფარი შეიძლება რამდენჯერმე გაჩნდეს და გაქრეს. ამ ზონაში აგილი აქვს ზამთრებს საერთოდ თოვლის საფარის გარეშე განსაკუთრებით მკაცრი და უხვოვლიანი ზამთრის პირობებში, როგორც გამონაკლისი არამდგრადი თოვლის საფარის ზონაში შესაძლოა გაჩნდეს მდგრადი თოვლის საფარი ერთი თვით ან მეტი ხანგრძლივობით.

არამდგრადი თოვლის საფარის ზონაში თოვლის საშუალო დეკადური სიმაღლე მერყეობს ჩვეულებრივად 3-8სმ ფარგლებში.

მუდმივი ლარტყის ჩვენებით თოვლის საფარის საშუალო დეკადური სიმაღლე რაჭა-ლეჩხეუმის პუნქტებში მოცემულია ცხრილ 2.4.1.-ში (Справочник по климату СССР, вып. 14, 1970).

ცხრილი 2.4.1. მოდმივი ლარტყლის ჩვენებით თოვლის საფარის საშუალო დეკადური სიმაღლე (სმ)

IX	X			XI			XII			I			II			III			IV			V			VI			უდიდესი ზამთარში	დარ- ტყის				
3	1	2	3	1	2	3	1	2	3	1	2	3	1	2	3	1	2	3	1	2	3	1	2	3	1	საჟ.	მაქ.	მინ.	ადგილი				
მამისონის უდ.																																	
4	4	5	9	17	20	23	24	25	27	30	31	32	33	34	34	35	34	33	35	36	34	29	21	11	6	56	176	23	დაც.				
შოვი																																	
					8	15	24	31	46	52	61	69	70	73	70	69	54	33	12						94	193	36	დაც.					
ურავი																																	
					6	11	12	15	19	24	28	25	25	22	17	9									46	87	6	დია					
ცაგერი																																	
															7	10	17	21	26	22	21	14	11	5					41	103	3	დია	
ონი																																	
					5	6	8	11	16	20	22	20	19	12	6	2									34	90	3	დია					
ჭრებალო																																	
																	7	8	13	15	19	14	10	6	4					30	84	3	დია
ამბროლაური																																	
																	6	8	15	17	22	16	13	8	4					34	71	1	დია
ხერხა																																	
					9	15	22	27	34	48	63	75	74	75	71	65	52	32	12						99	175	19	დია					

როგორც ცხრილ 2.4.1.-დან ჩანს, თოვლის საფარის საშუალოდეკადური სიმაღლე მაქსიმალურია მამისონის უდელტეხილზე ოთხი თვის (I-IV) განმავლობაში: მერყეობს 30(1)-36(IV) სმ-ის ფარგლებში, მინიმალურია მაისის მესამე და ივნისის პირველ დეკადებში (თოვლის ინტენსიური დნობის პერიოდი) და სექტემბერ-ნოემბერში (მდგრადი თოვლის საფარის ფორმირების პერიოდში) მერყეობს 4-23სმ-ის საზღვრებში. სადგურ შოვში (1507მ) მდგრადი თოვლის საფარის ფორმირება ხდება დეკემბრის მეორე მესამე დეკადებში (24-31სმ), ხოლო გაქრობა აპრილის მესამე დეკადაში. თოვლის საფარის საშუალო დეკადური სიმაღლის მაქსიმუმი ამ სადგურზე აღინიშნება სამი თვის (I-III) განმავლობაში მერყეობს 46სმ-დან (იანვრის პირველი დეკადა) – 73სმ-დე (თებერვლის მესამე დეკადა). რაც შეეხება სადგურებს ჭრებალო, ცაგერი ამბროლაური და ონი, ისინი მდებარეობენ არამდგრადი თოვლის საფარის ზონაში. ამ სადგურებში არამდგრადი თოვლის საფარის საშუალო დეკადური სიმაღლე

შესაბამისად აღწევს 19 (ჭრებალო), 26 (ცაგერი), 24 (ამბროლაური, ონი) სმ-ს. სადგურ ხერგაში (1131მ) თოვლის საფარის საშუალო დეკადური სიმაღლე თებერვლის სამივე დეკადაში მერყეობს 74-75სმ-ის საზღვრებში. მდგრადი თოვლის საფარი აქ ჩნდება დეკემბერში და არსებობს აპრილის მეორე დეკადის ჩათვლით. ცხრილ 2.4.1.-ში გარდა თოვლის საფარის საშუალო დეკადური სიმაღლეებისა მოცემულია აგრეთვე ზამთრის განმავლბაში თოვლის საფარის მაქსიმალური და მინიმალური სიღიდეები.

სადგურებზე ურავი, ცაგერი, ონი, ჭრებალო, ამბროლაური თოვლის საფარის უდიდესი საშუალო სიღიდეები მერყეობენ 30(ჭრებალო) –46(ურავი)სმ-ის საზღვრებში. მამისონის უდელტეხილზე ეს მაჩვენებელი ტოლია 56სმ-ისა, სადგურ ხერგაზე და შოვში შესაბამისად 99 და 94სმ-ისა. თოვლის საფარის დეკადური სიმაღლეების აბსოლუტური მაქსიმუმი სადგურებზე ურავი, ონი, ჭრებალო, ამბროლაური მერყეობენ 71(ამბროლაური)–90(ონი)სმ-ის საძღვრებში. სადგურებზე ხერგასა და მამისონის უდელტეხილზე ეს მაჩვენებელი ტოლია შესაბამისად 175 და 176სმ-ისა, ხოლო სადგურ შოვში 193სმ-ისა. თოვლის საფარის დეკადური სიმაღლეების მინიმალური მაჩვენებელი სადგურებზე ამბროლაური, ჭრებალო, ონი, ცაგერი, ურავი მერყეობს 1(ამბროლაური)–6(ურავი)სმ-ის ფარგლებში. მამისონის უდელტეხილზე და ხერგაზე ეს მაჩვენებელი ტოლია შესაბამისად 23 და 19სმ-ისა, ხოლო სადგურ შოვზე 36სმ-ისა.

ერთ წერტილში გავლის სიმაღლის საზომი ლარტყის მონაცემები ვერ იძლევიან სრულ წარმოდგენას თოვლის საფარის განაწილების თავისებურებებზე საკვლევი ტერიტორიის ფართობზე, ვინაიდან მთიანი რეგიონის რთული რელიეფის პირობებში თოვლის საფარის განაწილება ხდება არათანაბრად. უფრო სრულ წარმოდგენას თოვლის საფარის სიმაღლეების განაწილებაზე იძლევა სამარშრუტო თოვლაგეგმები. ცხრილ 2.4.2.-ში მოცემულია თოვლის საფარის სიმაღლე დეკადის ბოლო დღეში სამარშრუტო თოვლაგეგმვით სადგურებისათვის შოვი, ცაგერი და ონი. თოვლაგეგმვა ჩატარებულია მინდოორზე.

ცხრილი 2.4.2. თოვლის საფარის სიმაღლე თოვლაგეგმვით დეკადის ბოლო დღეს (სმ) (Справочник по климату СССР, вып. 14, 1970)

სადგური	IX	XII			I			II			III			უდიდესი ზამთარში		
	3	1	2	3	1	2	3	1	2	3	1	2	3	საშ.	მაქ.	მინ.
შოვი	12	21	31	33	39	55	58	66	72	80	79	78	53	100	145	85
ცაგერი					20	31	33	29	27	18			54	134	14	
ონი				8	10	17	24	26	23	18	16		38	94	5	

ზამთარში თოვლის საფარის უდიდესი სიმაღლეების შედარება ლარტყის და თოვლაგეგმვის მონაცემებით გვიჩვენებს (ცხრილი 2.4.2.), რომ სადგური ონის შემთხვევაში თოვლის სიმაღლის უდიდესი საშუალო, მაქსიმალური და მინიმალური სიმაღლეები ორივე შემთხვევაში ახლოა ერთმანეთთან, ხოლო სადურების ცაგერისა და შოვის შემთხვევაში მუდმივი ლარტყით და თოვლაგეგმვით მიღებული ამ მახასიათებლების სიდიდეები მნიშვნელოვნად განსხვავდებიან ერთმანეთისაგან.

ცხრილში 2.4.3 მოცემულია: 1 – თოვლის საფარის წონა 1მ²-ზე(კპა), 2 – თოვლის საფარის დეკადების უდიდესი საშუალო(სმ), 3 – თოვლის საფარის დღეთა რაოდენობა, 4 – თოვლის საფარის წყლის მარაგი(მმ).

ცხრილ 2.4.3. თოვლის საფარის მახასიათებლები (საქართველოს სამუცნიერო-გამოყენებითი კლიმატური ცნობარი, ნაწ.1, 2004)

სადგური	1	2	3	4
ამბროლაური	0,81	34	86	68
მამისონის ულ.	1,23	56	248	240
ონი	0,75	34	103	88
შოვი	1,88	94	173	238

როგორც ცხრილ 2.4.3.-დან ჩანს, ადგილის აბსოლუტური სიმაღლის მატებისას თოვლის საფარის არსებობის დღეთა რაოდენობა იზრდება 86-დან (ამბროლაური 547მ) 248-მდე (მამისონის ულ. 2854მ), ასევე მატულობს თოვლის საფარში წყლის მარაგი 68მმ-დან (ამბროლაური 547მ) – 240მმ-მდე (მამისონის ულ. 2854მ). თოვლაგეგმვის თოვლის საფარის სიმკვრივე დეკადის ბოლო დღეს იცვლება სადგურ ცაგერში 0,22მ/სმ³-დან (იანვრის მესამე დეკადა) – 0,31მ/სმ³-მდე (თებერვლის მესამე და მარტის პირველი დეკადა), სადგურ ონში 0,25მ/სმ³-დან (თებერვლის პირველი დეკადა) – 0,31მ/სმ³-მდე (მარტის პირველი დეკადა), სადგურ ცაგერში თოვლის საფარში წყლის მარაგი სეადგენს 120მმ-ს (Справочник по климату СССР, вып. 14, 1970).

სადგურ შოვში ზამთრების განმეორადობა (ალბათობა%) თოვლის საფარის უდიდესი დეკადური სიმაღლით მაქსიმალურია 41-50სმ-ის შემთხვევაში (31%), მამისონის ულ.-ზე 51-60სმ-ის შემთხვევაში (22%), ცაგერში და ონში 21-30სმ შემთხვევაში (19-20%), ამბროლაურში 11-12სმ შემთხვევაში (19%).

თოვლის საფარი დღეების რაოდენობა შეადგენს: შოვში 139-ს, მამისონის ულ.-ზე 248-ს, ურავში 68-ს, ცაგერში 54-ს, ონში 71-ს, ჭრებალოში 40-ს, ამბროლაურში 53-ს, ხერგაში 127-ს.

თოვლის საფარის გაჩენის და გაქრობის, მდგრადი თოვლის საფარის ფორმირების და რდვევის თარიღები (საშუალო, ყველაზე ადრეული და ყველაზე გვიანი) მოცემულია ცხრილ 2.4.4.-ში.

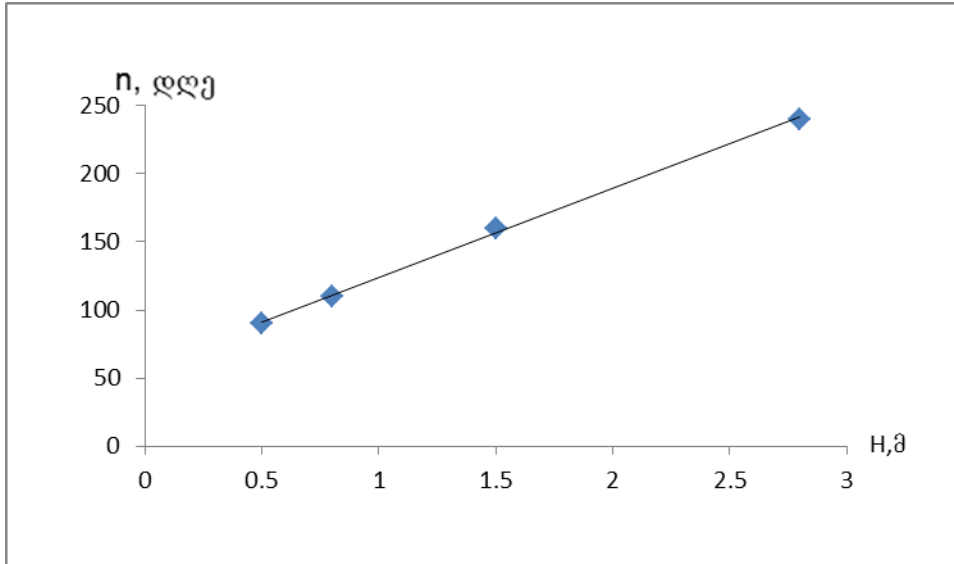
ცხრილი 2.4.4. თოვლის საფარის გაჩენის და გაქრობის მდგრადი თოვლის საფარის ფორმირების და რდვევის თარიღები (საშუალო, ყველაზე ადრეული და ყველაზე გვიანი) (Справочник по климату СССР, вып. 14, 1970)

სადგური	თოვლის საფარის გაჩენის თარიღები				მდგრადი თოვლის საფარის ფორმირების თარიღები			მდგრადი თოვლის საფარის რდვევის თარიღები			თოვლის საფარის გაქრობის თარიღები		
	ოქტომბერი	ნოემბერი	დეკემბერი	იანვარი	ოქტომბერი	ნოემბერი	დეკემბერი	იანვარი	ნოემბერი	დეკემბერი	იანვარი	ნოემბერი	დეკემბერი
შოვი	1/XI	25/IX	8/XII	4/XII	8/XI	6/I	11/IV	21/III	24/IV	23/IV	22/III	6/VI	
მამისონის უღ.	23/IX	27/VIII	3/XI	16/X	17/IX	13/XI	7/VI	26/IV	8/VII	18/VI	22/V	24/VII	
ურავი	27/XI	1/X	26/I	20/XII	20/XI	-	10/III	-	7/IV	28/III	1/III	23/IV	
ცაგერი	15/XII	10/XI	20/II	6/I	22/XI	-	11/III	-	3/IV	22/III	17/II	22/IV	
ონი	26/XI	5/X	-	24/XII	20/XI	-	2/III	-	2/IV	29/III	-	1/V	
ჭრებალო	19/XII	15/X	10/II	-	22/XI	-	-	-	14/III	18/III	8/II	16/IV	
ამბროლაური	11/XII	13/X	24/I	-	22/XI	-	-	-	22/III	21/III	15/II	30/IV	
ხერგა	13/XI	1/X	19/XII	15/XII	8/XI	24/III	7/IV	9/III	26/IV	18/IV	13/III	23/V	

თოვლის საფარის სხვადასხვა უზრუნველყოფის (%) უდიდესი დეპადური სიმაღლეები (სმ) მოცემულია ცხრილ 2.4.5.-ში.

ცხრილი 2.4.5. თოვლის საფარის უდიდესი დეპადური სიმაღლეების (სმ) უზრუნველყოფა.

სადგური	დეპადური სიმაღლეების უზრუნველყოფა %						
	95	90	75	50	25	10	5
შოვი	45	54	72	89	107	137	161
მამისონის უღ.	27	31	41	51	63	85	128
ცაგერი	4	7	16	38	59	83	97
ონი	4	7	16	31	51	70	77
ამბროლაური	4	78	14	31	52	66	70
ხერგა	27	51	80	100	126	150	169



ნახ.2.4.1. თოვლის საფარის ხანგრძლივობის დამოკიდებულება ადგილის აბსოლუტურ სიმარლეზე, $n=f(H)$

დამოკიდებულება $n=f(H)$ ანალზურად წარმოიდგინება წრფივის ფუნქციის სახით:

$$n = 70H + 40 \quad (1)$$

ამ გამოსახულებით, როდესაც $H=0,5$ $n=75$, როდესაც $H=3$ $n=250$ -ს.

აღსანიშნავია ის გარემოება, რომ თოვლის საფარის ხანგრძლივობის დამოკიდებულება ადგილის აბსოლუტურ სიმაღლეზე რაჭა-ლეჩხუმის რეგიონისათვის აქვს მაჩვენებლიანი ფუნქციის სახე $n=ab^H$

2.5 ქარი

ტერიტორიაზე ქარის რეჟიმული მახასიათებლები დამოკიდებულია ზოგად ცირკულაციურ პროცესებზე, გეოგრაფიულ მდებარეობაზე და რელიეფის მორფოლოგიაზე. რაჭა-ლეჩხუმის და ქვემო სვანეთის რეგიონი თავისი გეოგრაფიული მდებარეობის შედეგად იმყოფება ზომიერი და სუბტროპიკული განედისათვის დამახასიათებელი დასავლეთის მიმართულების ზოგადი ცირკულაციის გავლენის ქვეშ. მაგრამ, საქართველოს რელიეფის რთული ოროგრაფიის ელემენტების (დაბლობები, ვაკეები, ზეგნები, ხეობები, ქედები და სხვ) მექანიკური გავლენის შედეგად ატმოსფეროს დაბალ ფენებში აღინიშნება ადგილობრივი ქარების გაჩენა მათთვის დამახასიათებელი ზოგადი ცირკულაციისაგან სრულიად განსხვავებული სიჩქარეებით და მიმართულებებით. გარდა ამისა, მზის სხივური ენერგიით მთიანი რელიეფის ელემენტების არათანაბარი გათბობა განსაზღვრავს მათ რადიაციული და სითბური ბალანსების სიდიდეში დიდ სიჭრელეს, რომელის განაპირობებს ლოკალური თერმული გენეზისის სხვადასხვა სიჩქარეების და მიმართულებების ქარების წარმოშობას.

ქარების საშუალოთვიური და წლიური სიჩქარე (მ/წმ) რაჭა-ლეჩხეუმის ტერიტორიაზე მოცემულია ცხრილ 2.5.1.-ში (საქართველოს სამეცნიერო გამოყენებითი კლიმატური ცნობარი, 2004).

ცხრილი 2.5.1. ქარების საშუალოთვიური და წლიური სიჩქარე (მ/წმ)

თ ვ ე												წელი
I	II	III	IV	V	VI	VII	VIII	IX	X	XI	XII	
ამბობლაური												
1.4	1.9	2.4	2.4	2.1	1.9	2.0	1.9	1.8	1.6	1.4	1.3	1.9
მამისონის უღ.												
6.8	6.6	6.0	4.9	4.4	4.8	4.9	4.7	5.0	5.6	5.8	6.6	5.5
ონი												
0.5	0.7	1.0	0.9	0.9	0.8	0.8	0.7	0.6	0.4	0.4	0.3	0.7
შოვი												
1.2	1.3	1.4	1.4	1.4	1.3	1.4	1.2	1.4	1.3	1.1	1.2	1.3
ცაგერი												
0.6	0.7	1.1	1.4	1.3	1.2	1.2	1.1	1.0	0.8	0.7	0.5	1.0
ჭრებალო												
0.3	0.3	0.8	1.2	1.2	1.1	1.2	1.0	0.7	0.4	0.4	0.2	0.7
ხერგა												
0.7	0.9	1.0	1.1	1.2	1.2	1.1	1.1	0.9	0.7	0.7	0.5	0.9

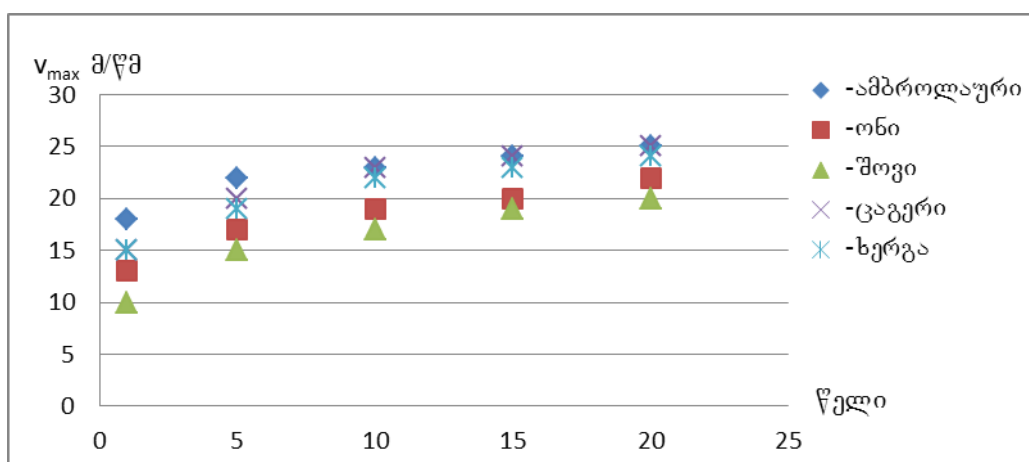
როგორც ცხრილიდან ჩანს ქარის საშუალოწლიური სიჩქარე მაქსიმალურია მამისონის უღ.-ზე ($5,5\text{მ/წმ}$), მინიმალურია – ონში, ჭრებალოში ($0,7\text{მ/წმ}$). შოვში და ამბობლაურში იგი მერყეობს შესაბამისად $1,3$ - $1,9$ მ/წმ-ის ფარგლებში. ქარის დაბალი საშუალოწლიური სიჩქარით ხასიათდება აგრეთვე სადგური ხერგა ($0,9\text{მ/წმ}$). ქარის საშუალოთვიური სიჩქარე მამისონის უღ.-ზე მაქსიმალურია ზამთარში მერყეობს $6,6(\text{XII,II})$ - $6,8(\text{I})$ მ/წმ-ის ფარგლებში, მინიმალურია წელიწადის თბილ (IV-IX) პერიოდში, მერყეობს $4,4(\text{V})$ - $5,0(\text{IX})$ მ/წმ-ის ფარგლებში. სადგურ შოვში მთელი წელიწადის განმავლობაში ქარის საშუალოთვიური სიჩქარის სიდიდე მერყეობს $0,3(\text{XII})$ - $0,5(\text{I})$ მ/წმ-ის საზღვრებში. დანარჩენ თვეებში (II-XI) ქარის საშუალოთვიური სიჩქარეების სიდიდეები უმნიშვნელოდ მატულობენ: მერყეობენ $0,6(\text{IX})$ - $1,0(\text{III})$ მ/წმ-ის ფარგლებში. სადგურებზე ჭრებალო, ხერგა, ცაგერი ქარის საშუალოთვიური სიჩქარის

სიდიდეები მონიმალურია წელიწადის ციკ (XI-II) პერიოდში, მაქსიმალურია დანარჩენ თვეებში. ამ სადგურებზე საშუალოთვიური სიჩქარეების აბსოლუტური მინიმუმ შეადგენს $0,2\text{მ}/\text{წ-ს}$ (ჭრებალიXI), ხოლო აბსოლუტური მაქსიმუმი $-1,4\text{მ}/\text{წ}$ (ცაგერი IV).

ცხრილი 2.5.2 ქარის უდიდესი სიჩქარე, შესაძლებელი 1,5,10,15,20 წელიწადში ერთხელ, გ/წ.

პუნქტი	წელი				
	1	5	10	15	20
ამბროლაური	18	22	23	24	25
ონი	13	17	19	20	22
შოვი	10	15	17	19	20
ცაგერი	15	20	23	24	25
ხერგა	15	19	22	23	24

როგორც ნახ 2.5.1.-დან ჩანს, ქარის მაქსიმალურმა სიჩქარემ მაგალითად სადგურ შოვში შეიძლება ერთხელ მიაღწიოს ერთი წლის განმავლობაში $10\text{მ}/\text{წ-ს}$, 5 წლის განმავლობაში $14\text{მ}/\text{წ-ს}$, 10 წლის განმავლობაში $17\text{მ}/\text{წ-ს}$, 15 წლის განმავლობაში $18\text{მ}/\text{წ-ს}$ და 20 წლის განმავლობაში $20\text{მ}/\text{წ-ს}$. სადგურ ამბროლაურში კი დროის ამ მონაკვეთში ($1,5,10,15,20$ წელი) ქარის მაქსიმალური სიჩქარე ერთხელ აღწევს შესაბამისად $18,22,23,24$ და $25\text{მ}/\text{წ-ს}$. ცხრილ 2.5.1.-ში და ნახ. 2.5.1.-ზე მოცემული ქარის სიჩქარეების ალბათობა დროის ინტერვალების მიხედვით, როგორც წესი გაითვალისწინება სამშენებლო ნორმატივებში. ინფრასტრუქტურის სხვადასხვა დანიშნულების ობიექტების მშენებლობის და შემდეგ ექსპლოატაციის პროცესში ძლიერი ქარებისაგან დამანგრევების შედეგების პროფილაქტიკის მიზნით



ნახ. 2.5.1. ქარის მაქსიმალური სიჩქარის (v_{max}) დამოკიდებულება წლების რაოდენობაზე

ქარის მიმართულების და შტილის განმეორადობა წელიწადში მოცემულია ცხრილ 2.5.3.-ში.

ცხრილი 2.5.3. ქარის მიმართულების და შტილის განმეორადობა წელიწადი (%)

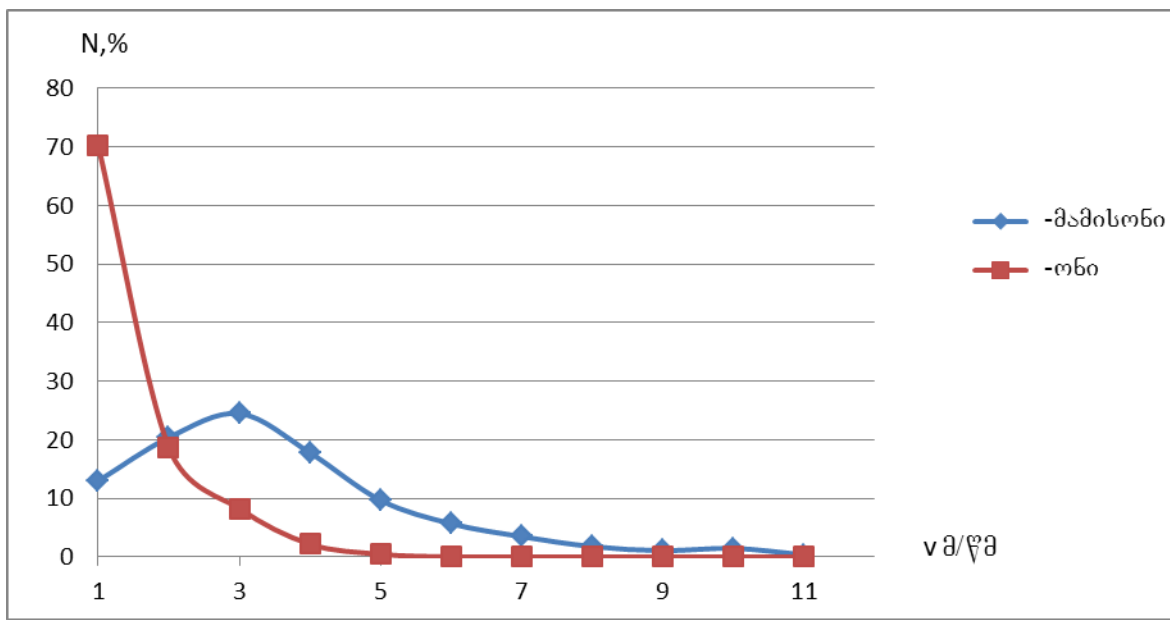
სადგური	რუმბი								
	წ	წალ	ალ	სალ	ს	სდ	დ	ჩდ	ზტილი
ამბროლაური	2	4	39	8	2	5	37	3	21
მამისონის უდ.	0	2	22	7	1	4	57	7	11
ონი	7	18	10	5	5	31	16	8	51
შოვი	2	11	33	1	4	12	30	7	60
ცაგერი	14	12	6	6	17	23	11	12	67
ჭრებალო	15	7	18	4	10	20	21	5	65
ხერგა	9	13	8	13	27	16	10	4	66

როგორც ცხრილ 2.5.3.-დან ჩანს რაჭა-ლეჩხეუმის ამ სადგურებზე ქარების მიმართულების განმსაზღვრელი ფაქტორია რეგიონის რთული რელიეფი. სადგურ მამისონის უდ.-ის გარდა, თითქმის 3კმ სიმაღლეზე გაბატონებულია თავისუფალი ატმოსფეროს დამახასიათებელი დასავლეთის ცირკულაცია, ამ სადგურში დასავლეთის მიმართულების ქარის განმეორადობა წელიწადში აღწევს 57%-ს. შტილის მაქსიმალური განმეორადობა წელიწადში სადგურებზე შოვი, ცაგერი, ჭრებალო, ხერგა მერყეობს 60(შოვი)-67(ცაგერი)% ფარგლებში. შტილების მინიმალური რაოდენობა ადნიშნულია მამისონის უდ.-ზე (11 შტილი წელიწადში) და სადგურ ამბროლაურში (21 შტილი წელიწადში).

გრადაციების მიხედვით ქარის სიჩქარის ალბათობა (% შემთხვევათა საერთო რიცხვიდან) მოცემულია ცხრილ 2.5.4.-ში და ნახ. 2.5.2.-ზე.

ცხრილი 2.5.4. გრადაციების მიხედვით ქარის სიჩქარის ალბათობა (% შემთხვევათა საერთო რიცხვიდან), წელიწადი (Справочник по климату СССР, Ветер, 1968)

სადგური	V, მ/წ										
	0-1	2-3	4-5	6-7	8-9	10-11	12-13	14-15	16-17	18-20	21-24
მამისონის უდ.	13.0	20.4	24.5	17.8	9.7	5.7	3.5	1.8	1.1	1.5	0.4
ონი	70.2	18.7	8.3	2.2	0.5	0.02	0.04	0.01	0.02	0.01	0.002



ნახ. 2.5.2. ქარის სიჩქარის განმეორადობა გრადაციების მიხედვით, %

როგორც ნახ. 2.5.2.-დან ჩანს, დამოკიდებულება $N=f(v)$ სადგური ონის შემთხვევაში (კახეთის დაბლობი სადგურების ანალოგიურად) ანალიზურად წარმოიდგინება პირველი რიგის ჰიპერბოლის განტოლებით:

$$N = a + bv + \frac{c}{v} \quad (1)$$

ამ განტოლებას სადგურ ონისათვის აქვს შემდეგი სახე:

$$N = 56,7 + 7,35v + \frac{79,9}{v} \quad (2)$$

რაც შეეხება ქარის სიჩქარის გრადაციების მიხედვით განმეორადობას მამისონის უდელტეხილის შემთხვევაში მას, როგორც ნახ. 2.5.2.-დან ჩანს, აქვს სრულიად განსხვავებული (დაბლობი სადგურებია მხედველობაში) სახე.

სხვადასხვა სიჩქარის ქარის განმეორადობის გათვალისწინებას არსებითი მნიშვნელობა აქვს მაღალი ძაბვის ელექტროგადამცემი ხაზების, საბაგირო გზების, მაღლივი შნობების, სახმელეთო, საზღვაო და საპარავო ტრანსპორტის ექსპლოატაციის და ტერიტორიის ქარის ენერგეტიკული რესურსების პოტენციალის შეფასების თვალსაზრისით.

დღე-დამის სხვადასხვა საათებში (1,7,13,19სთ) ქარის საშუალო მდიური სიჩქარე ($\vartheta/\sqrt{\vartheta}$) მოცემულია ცხრილ 2.5.5.-ში

ცხრილი 2.5.5. ქარის საშუალოწლიური სიჩქარე დღე-დამის სხვადზსხვა საათები (1,7,13,19სთ), გ//წმ.

საათები	სადგური					
	ცაგერი	ონი	ჭრებალო	ამბოლაური	ხერგა	მამისონის ულ.
1	0,8	0,8	0,4	1,8	0,6	5,5
7	0,6	0,7	0,3	1,7	0,5	5,2
13	1,4	2,5	1,3	3,4	1,8	5,8
19	1,0	1,2	1,0	2,1	0,8	5,3

როგორც ცხრილ 2.5.5.-დან ჩანს, რაჭა-ლეჩხეუმის ამ სადგურებზე ქარის საშუალოწლიური სიჩქარე მაქსიმალურია 13საათზე და მერყეობს 1,3(ჭრებალო)-5,8(მამისონის ულ.) გ/წმ-ის საზღვრებში. ამ მაჩვენებლის მინიმალური სიდიდეები 0,4(ჭრებალო)-0,8(ონი)გ/წმ-ის საზღვრებში. ამბოლაურში ის შეადგენს 1,8გ/წმ-ს, მამისონის ულ.-ზე-5,5გ/წმ-ს. ქარის დაბალი საშუალოწლიური სიჩქარეები აღნიშნულია დილის 7საათზე. ისინი სადგურებზე ცაგერი, ონი, ჭრებალო, ხერგა მერყეობენ 0,3(ჭრებალო)-0,7(ონი)გ/წმ-ს საზღვრებში. დაკვირვებების ამ ვადაზე ამბოლაურში და მამისონის უდელტებილზე ქარის საშუალოწლიური სიჩქარე შესაბამისად შეადგენს 1,8 და 5,2გ/წმ-ს.

რაჭა-ლეჩხეუმის მთიან ტერიტორიაზე მთელი წლის განმავლობაში აღინიშნება მთა-ხეობების ქარები. როგორც ცნობილია (Климат и климатические ресурсы Грузии, 1971) მთა-ხეობების ქარების ქარების წარმოშობის ძირითადი მიზეზია მთის ფერდობების და ხეობის მზის სხივური ენერგიით არათანაბარი გათბობა. დღის განმავლობაში შედარებით ინტენსიურად თბება ხეობის ფსკერი და განსაკუთრებით გამთბარი ჰაერი მოძრაობს ხეობებზე და ფერდობებზე ზევით ხეობების და ფერდობების ქარის სახით. დამის საათებში კი ჰაერი დიდ სიმაღლეებზე ინტენსიური გაცივების შედეგად იწყებს მოძრაობას ფერდობებზე ქვევით (შედარებით თბილი ჰაერის მიმართულებით) მთის ქარების სახით. რაჭა-ლეჩხეუმის შუა და მაღალი მთის ზონაში ფერდობების და ხეობების ქარები დაიკვირვება 3000გ სიმაღლემდე. ამ ნიშნულს ზემოთ ამ განედებისათვის დამახასიათებელი საერთო ცირკულაციის გავლენის შედეგად წელიწადის განმავლობაში გაბატონებულია დასავლეთის მიმართულების ქარები.

დღე-დამის განმავლობაში (სხვადასხვა საათებში 7,13,19,1სთ) ქარის მიმართულების მაქსიმალური განმეორადობა (%) და შტილების რაოდენობა

წელიწადში მრავალწლიური მონაცემების ანალიზის საფუძველზე მოცემულია ცხრილ 2.5.6.-ში.

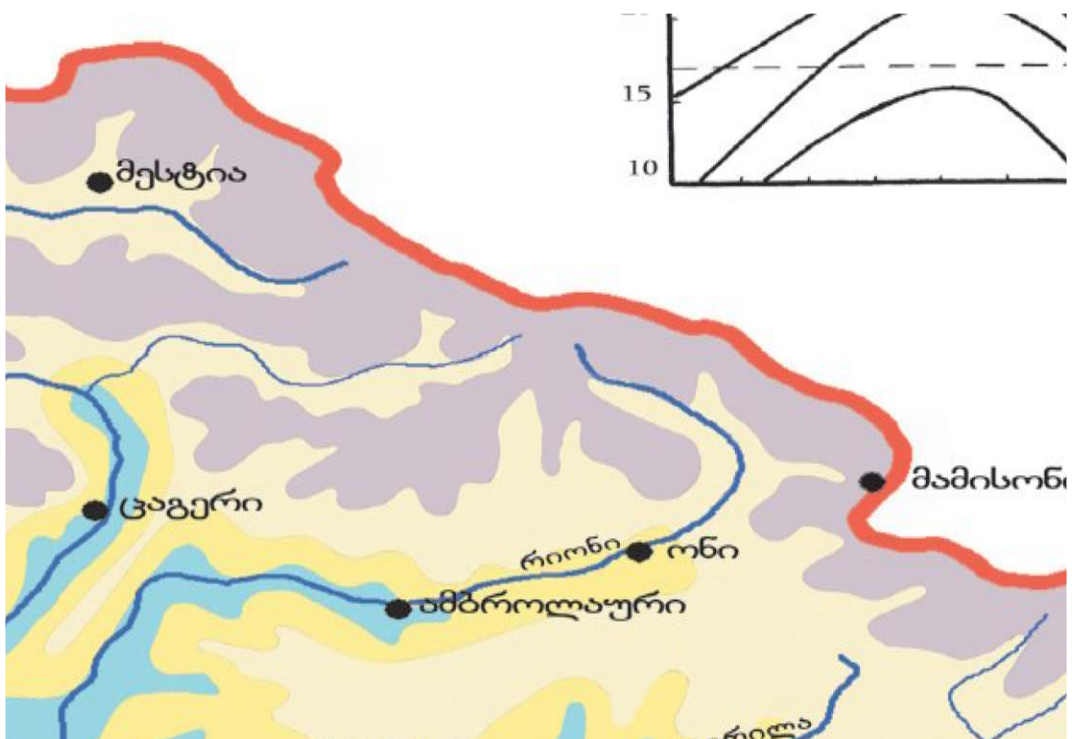
როგორც ცხრილ 2.5.6.-დან ჩანს, ქარის მიმართულების განმეორადობა წელიწადში მაქსიმალურია დასავლეთის ორიენტაციისათვის: მერყეობს 30-57%-ის ფარგლები (სადგურები ამბოლაური, მამისონის უდ., და შოვი), შტილების რაოდენობა წელიწადში მაქსიმალურია სადგურებში ონი(51) და შოვი(60) მამისონის უღელტეხილზე დღედამის სხვადასხვა საათებში ქარის მიმართულების განმეორადობა მაქსიმალურია დასავლეთის ორიენტაციისათვის იცვლება 47(7სთ)-63(13სთ)%-ის ფარგლებში, მინიმალურია ჩრდილოეთის ორიენტაციისათვის იცვლება 0-1%-ის საზღვრებში, სადგურ ამბოლაურში ქარის მიმართულების მაქსიმალური განმეორადობა (%) მაქსიმალურია აღმოსავლეთის და დასავლეთის რუმბებისათვის: აღწევს ორივე შემთხვევაში 58%-ს ცხრილი 2.5.6. დღედამის საათებში (7,13,19,1სთ) ქარის მიმართულების განმეორადობა (%) და შტილების რაოდენობა საშუალოდ წელიწადში, (Справочник по климату СССР, Ветер, вып. 14, Гидрометеоиздат Л., 1968)

სადგური	t, სთ	ორიენტაცია								
		წ	ჩად	ად	სად	ს	სდ	დ	ჩდ	შტილი
მამისონის უდ.	1	0	2	26	7	1	3	55	6	13
	7	0	2	31	9	1	3	47	7	12
	13	1	1	14	6	1	7	63	7	9
	19	0	1	18	7	1	4	62	7	10
ამბოლაური	1	3	5	58	7	1	1	23	2	25
	7	1	6	50	11	3	4	23	2	28
	13	1	2	14	7	2	12	58	4	26
	19	2	4	39	7	3	5	36	4	22
ქარის მიმართულების განმეორადობა, %, წელიწადი										
ამბოლაური	2	4	39	8	2	5	37	3	21	
მამისონის უდ.	0	2	22	7	1	4	57	7	11	
ონი	7	18	10	5	5	31	16	8	51	
შოვი	2	11	33	1	4	12	30	7	60	
ქარის მიმართულების განმეორადობა, %, იანვარი/ივლისი										
ამბოლაური	2/1	5/3	46/27	6/7	2/1	4/6	32/52	3/3		
მამისონის უდ.	0/1	2/1	16/13	4/15	0/1	6/5	64/4 3	8/3		
ონი	7/6	25/11	15/7	9/3	5/4	23/36	11/24	5/9		
შოვი	4/1	19/4	44/19	1/1	3/6	7/16	9/40	3/13		

თავი III პლიოგაფური რესურსების კოფენციალი

3.1. საკურორტო პლიოგაფური რესურსები

ნახ. 3.1.1-ზე წარმოდგენილია რეგიონის საკურორტო ზონების რუკა (ე.შ.ელიზბარაშვილი, Н.Ш.Гонгладзе, 1980; საქართველოს კლიმატური და აგროკლიმატური ატლასი. თბილისი, 2011).



აიროგითი აღნიშვნები
საკურორტო ზონები და ქვეზონები

- სანაპირო ნოტიო სუბტროპიკული ქვეზონა
■ დასავლეთ საქართველოს დაბლობის ნოტიო და ზომიერად ნოტიო ქვეზონა
■ აღმოსავლეთ საქართველოს დაბლობის ზომიერად ნოტიო ქვეზონა
■ აღმოსავლეთ საქართველოს დაბლობის ზომიერად მშრალი ქვეზონა
■ დასავლეთ საქართველოს დაბალი მთის ზომიერდ ნოტიო ქვეზონა
■ აღმოსავლეთ საქართველოს დაბალი მთის ზომიერდ მშრალი ქვეზონა
■ საშუალო მთის საკურორტო ზონა
■ მაღალი მთის კლიმატური ზონა

ნახ. 3.1.1. საკურორტო ზონები

ნახ. 3.1.1- დან ჩანს, რომ რეგიონი მოიცავს 4 საკურორტო ქვეზონას: დასავლეთ საქართველოს დაბლობის ნოტიო და ზომიერად ნოტიო ქვეზონას, დასავლეთ საქართველოს დაბალი მთის ზომიერად ნოტიო ქვეზონას, საშუალო მთის საკურორტო ზონას და მაღალი მთის ზონას.

დასავლეთ საქართველოს დაბლობის ნოტიო და ზომიერად ნოტიო ქვეზონას რეგიონში უკავია მცირე ტერიტორია მდინარეთა ხეობებში. ქვეზონა ხასიათდება ძალიან რბილი, უთოვლო ზამთრით და ძალიან თბილი ზომიერად ნოტიო ზაფხულით. იანვრის თვის საშუალო ტემპერატურაა $4\text{--}6^{\circ}$, ივლისის- $21\text{--}24^{\circ}$, ხოლო საშუალო წლიური ტემპერატურა $12\text{--}14^{\circ}$. ამინდების კომპლექსური კლასიფიკაციის თანახმად წლის განმავლობაში გაბატონებულია მზიანი, ზომიერად ნოტიო ამინდები, წლის ცივ პერიოდში ხშირია წვიმიანი ამინდები. ბრიზული ცირკულაციის ძლიერი მოქმედების გამო, ზღვიური წარმოშობის ქიმიური მიკროელემენტები მრავლად არის გაბნეული პა-ერში, ამიტომაც ქვეზონის გამოყენება პერსპექტიულია კარდიოლოგიური, ნევროლოგიური და პულმონოლოგიური ავადმყოფების სამკურნალოდ.

დაბალი მთის ზომიერად ნოტიო ქვეზონა ხასიათდება ძალიან რბილი ზამთრით და თბილი ზომიერად ნოტიო ზაფხულით. იანვრის თვის საშუალო ტემპერატურაა მინუს 2 პლუს 3 $^{\circ}$, ივლისის- $18\text{--}22^{\circ}$, ხოლო საშუალო წლიური ტემპერატურა $10\text{--}14^{\circ}$. ამინდების კომპლექსური კლასიფიკაციის თანახმად წლის ყველა სეზონში გაბატონებულია მზიანი, ზომიერად ნოტიო და ნოტიო ამინდები, ქვეზონის კლიმატური რესურსები ხელს უწყობს რაიონი წარმატებით იქნას გამოყენებული კარდიოლოგიური, ნევროლოგიური და პულმონოლოგიური ავადმყოფების სამკურნალოდ, ხოლო არსებული ბალნეოლოგიური რესურსები საშუალებას იძლევა განვითარდეს გასტროენტეროლოგიური და ართოლოგიური პროფილის სამედიცინო დაწესებულებები.

საშუალო მთის საკურორტო ზონის ქვედა სარტყელში ჰავა ხასიათდება ზომიერად რბილი, თოვლიანი ზამთრით და ზომიერად თბილი, ზომიერად მშრალი ზაფხულით. იანვრის თვის საშუალო ტემპერატურაა მინუს 8-2 $^{\circ}$, ივლისის- $15\text{--}19^{\circ}$, ხოლო საშუალო წლიური ტემპერატურა $6\text{--}8^{\circ}$. ამინდების კომპლექსური კლასიფიკაციის თანახმად წლის თბილი პერიოდის განმავლობაში გაბატონებულია მზიანი და ზომიერად ნოტიო ამინდები, ხოლო წლის ცივი პერიოდის განმავლობაში მზიანი და ზომიერად ყინვიანი ამინდები. ასეთი ჰავა მაღალი თერაპიული თვისებებისაა და შეიძლება გამოყენებულ იქნას ძირითადად სასუნთქი ორგანოების დაავადებათა სამკურნალოდ. ასეთივე სამკურნალო თვისებები გააჩნია ზედა სარტყლის კურორტებს, სადაც სადაც იცის ზომიერედ რბილი ზამთარი მდგრადი თოვლის საფარით და ზომიერად გრილი, ზომიერად მშრალი ზაფხულით. იანვრის თვის საშუალო ტემპერატურაა მინუს 10-3 $^{\circ}$, ივლისის- $10\text{--}15^{\circ}$, ხოლო საშუალო წლიური ტემპერატურა $0\text{--}5^{\circ}$. ამინდების კომპლექსური კლასიფიკაციის თანახმად წლის თბილი პერიოდის განმავლობაში გაბატონებულია მზიანი, ზომიერად ნოტიო და წვიმიანი ამინდები, ხოლო წლის ცივი პერიოდის განმავლობაში ხშირია ყინვიანი ამინდები.

მაღალი მთის ზონის კლიმატოთერაპიული მნიშვნელობა ნაკლებია, ის ხელსაყრელია ალპინიზმისა და ტურიზმის განვითარებისათვის.

რეგიონში მდებარეობს 4 მნიშვნელოვანი კურორტი: შოვი, უწერა, ლაშიჭალა და მუაში (ცხრილი 3.1.1).

ცხრილი 3.1.1. რაჭა-ლეჩხუმი, ქვემო სვანეთის კურორტები

კურორტი	ადგილის სიმაღლე, მ	პროფილი
შოვი	1600	კლიმატო-ბალნეოლოგიური
უწერა	1070	ბალნეო-კლიმატური
ლაშიჭალა	850	ბალნეოლოგიური
მუაში	1250	ბალნეოლოგიური

შოვი- კლიმატო-ბალნეოლოგიური კურორტი, მდებარეობს ზემო რაჭაში, რაჭის კავკასიონის სამხრეთ ფერდობზე, საშუალო მთის საკურორტო ზონის ზედა სარტყელში, ზღვის დონედან 1600 მ სიმაღლეზე. კურორტი გარშემორტყმულია ტყეებით და მყინვარებით. აღრიცხულია 16 მინერალური წყარო, რომლებიც გამოიყენება სხვადასხვა დაავადებათა სამკურნალოდ. კურორტის ისტორია 1923 წლიდან იწყება, როდესაც აშენდა ულამაზესი სანატორიუმები და დასასვენებელი სახლები. შოვი საინტერესო ადგილია აგრეთვე ალპინიზმისა და სათხილამურო სპორტისათვის.

უწერა- ბალნეო-კლიმატური კურორტი, მდებარეობს ზემო რაჭაში, ონიდან 15 კმ-ში, საშუალო მთის საკურორტო ზონის ქვედა სარტყელში, ზღვის დონედან 1070 მ სიმაღლეზე. უწერაში 28 სახის ბუნებრივი მინერალური წყალი ამოდის, რომლებიც გამოიყენება, როგორც სასმელად, ისე სააბაზანოდ. კურორტი გარშემორტყმულია ტყეებით, რომელთაც სამკურნალო ფაქტორი აქვს.

ლაშიჭალა- ბალნეოლოგიური კურორტი, მდებარეობს ლეჩხუმში, ცაგერიდან 20 კმ მანძილზე, დასავლეთ საქართველოს დაბალი მთის ზომიერად ნოტიო საკურორტო ქვეზონაში, ზღვის დონედან 850 მ სიმაღლეზე. ცნობილია მინერალური წყლებით, რომელთაც სამკურნალო თვისებები გააჩნია.

მუაში- ბალნეოლოგიური კურორტი, მდებარეობს ქვემო სვანეთში, სვანეთის ქედის სამხრეთ ფერდობზე, მდინარე ცხენისწყლის ხეობაში, საშუალო მთის საკურორტო ზონის ქვედა სარტყელში,, ზღვის დონედან 1250 მ სიმაღლეზე. განთქმულია მინერალური წყლებით, რომელთაც სამკურნალო თვისებები გააჩნია.

3.2. პელიოდური გენერაციების მართვა

საქართველოს პელიოდურგეტიკული რესურსების შეფასება და მათი ტერიტორიული განაწილების თავისებურებები პირველად დადგენილი იქნა 1959 წელს გ.მელიას მიერ (Мелия, 1959). ანალოგიურად კვლევა საქართველოს აქტინომეტრიული სადურების ქსელის ხუთწლიანი (1955-1960წწ) ხანგრძლივობის მონაცემების საფუძველზე ჩატარდა ი. ცუცქირიძის მიერ (Цуккиридзе, 1961). აღნიშნული კვლევების შედეგად დადგინდა, რომ საქართველოს ტერიტორიას გააჩნია მნიშვნელოვანი პელიოდურგეტიკული პოტენციალი, რომლის ათვისებამ და ჩართვამ სახალხო მეურნეობის რიგ დარგებში შესაძლოა მოიტანოს საგრძნობი ეკონომიკური ეფექტი.

მომდევნო პერიოდში (1987წ) საქართველოს ტერიტორიის პელიოდურგეტიკული პოტენციალის კომპლექსური შეფასების და მისი ტერიტორიული განაწილების რუკა დამუშავებული იქნა მონოგრაფიაში (Сваниძе, Гагуа, Сухишвили, 1987).

ამ ნაშრომში გაანალიზებულია მზის პირდაპირ და ჯამურ რადიაციებზე, მზის ნათების ხანგრძლივობაზე მნიშვნელოვნად გაზრდილი ხანგრძლივობის (1954-1985წწ) რიგები. გარდა ამისა, დაკვირვებების ინფორმაცია დამუშავებულია სტატისტიკური და ალბათური ანალიზის მეთოდიკის გამოყენებით, რამაც მნიშვნელოვნად გაზარდა პელიოდურგეტიკული მახასიათებლების სივრცულ-დროითი განაწილების და კადასტრული შეფასებების სიზუსტეზე. აღნიშნულ მონოგრაფიაში მთლიანად საქართველოს და კერძოდ რაჭა-ლეჩხეუმის ტერიტორიის პელიოდურგეტიკული რესურსების დონით კომპლექსურ დარაიონებას საფუძვლად დაედო ისეთი რეპრეზენტატული მახასიათებლები, როგორიცაა ჯამური და პორიზონტალურ ზედაპირზე მზის პირდაპირი რადიაციების დღედამური (I,VII), თვიური (I,VII), სეზონური (V-IX) და წლიური ჯამები, საერთო ღრუბლიანობის რაოდენობა, საერთო ღრუბლიანობით მოწმენდილი დღეების რაოდენობა წელიწადში, პაერის საშუალოთვიური ტემპერატურა.

იმ ხუთი პელიოდურგეტიკული ზონიდან, რომლებიც მოცემულია საქართველოს პელიოდურგეტიკული რესურსების ტერიტორიული განაწილების რუკაზე რაჭა-ლეჩხეუმის ტერიტორია მოქცეულია სამი ზონის A,B,C ფარგლებში. პირველ A ზონას ეპუთვნის კავკასიონის მაღალმთიანი ზონა (3გმ-ზე ზევით). ამ ზონაში მზის პირდაპირი და ჯამური რადიაციის ივლისის ჯამები შესაბამისად ტოლია 14-16 და 20-25გმ/მ²-ის დღედამეში. მეორე B ზონას უკავია რაჭა-ლეჩხეუმის ტერიტორიის ჩრდილოდასავლეთის შავი ზღვისაკენ ორიენტირებული ფერდობები. დღედამის განმავლობაში ამ ზონის ტერიტორიაზე მოდის საშუალოდ 20-23გმ/მ²-ის ტოლი ჯამური რადიაცია და 13-14გმ/მ²-მზის პირდაპირი რადიაცია, რაც თვეში შესაბამისად

შეადგენს 650-700 და 400-450მჯ/მ²-ს. მესამე C ზონას ძირითადად მიეკუთვნება დიდი კავკასიონის წინამთის და საშუალო მთის რაიონები რაჭა-ლეჩხეუმის ტერიტორიაზე. დღედამის გამნავლობაში ივლისში ჯამური რადიაციის ჯამი 11-13მჯ/მ²-ს. ჯამური და პირდაპირი რადიაციის თვიური ჯამები (VII) შესაბამისად შეადგენს 600650 და 350-400მჯ/მ²-ს.

ცხრილ 3.2.1.-ში მოცემულია ამ სამი ზონისათვის დამახასიათებელია ჰელიოენერგეტიკული რესურსების მნიშვნელობები წელიწადში ჯამური რადიაციის ჯამები $\sum VQ$ მჯ/მ², პორიზონტალურ ზედაპირზე მზის პირდაპირი რადიაციის ჯამები მაისიდან ნოემბრის ჩათვლით $\sum_{V-IXS}/\text{მჯ/მ}^2$. მზის ნათების ხანგებლივობა საათებში მაისიდან სექტემბრის ჩათვლით \sum_{V-IXS} , სთ. მზის მათების ხანგრძლივობა ივლისში 250 საათზე მეტი მეტი პროცენტებში $P_{SSVII} \geq 250\text{სთ, \%}$, წელიწადში მოწმენდილ დღეთა რაოდენობით.

ცხრილი 3.2.1. ჰელიოენერგეტიკული რესურსების მახსიათებლები (Сваниძე , Гагуа , Сухишвили, 1987)

ზონა	მახსიათებელი				
	$\sum VQ$, მჯ/მ ²	\sum_{V-IXS} , მჯ/მ ²	$\sum_{V-IXS}, \text{მჯ/მ}^2$	$P_{SSVII} \geq 250\text{სთ, \%}$	შზან დღეთა რიცხვი წელიწადში
A	5000-6000	1900-2000	1250-1300	80-90	65-80
B	4900-5200	1800-1900	1200-1250	60-80	55-65
C	4800-5000	1700-1800	1100-1200	40-60	50-55

A ზონაში არსებობს ნებისმიერი ტიპის ჰელიოსისტემების ეფექტური გამოყენების პირობები. B ზონაში არსებობს პირობები, რომლებიც მთლიანად აკმაყოფილებენ იმ მოთხოვნილებებს, რომლებიც აუცილებელია საშუალო და პატარა ზომის ჰელიოსისტემების გამოსაყენებლად. C ზონაში არსებობს ისეთი პირობები, რომლებიც აუცილებელია ჰელიოსისტემების ცალკეული სახეობების გამოსაყენებლად.

ამ ზონების კომპლექსური ჰელიოენერგეტიკული მაასიათებლები მოცემულია ცხრილ 3.2.2.-ში.

საქართველოს კლიმატურ და აგროკლიმატურ ატლასში (სამუკაშვილი, ჰელიოენერგეტიკული რესურსები. საქართველოს კლიმატური და აგროკლიმატური ატლასი, 2011). მოცემულია საქართველოს და კერძოდ რაჭა-ლეჩხეუმის ტერიტორიაზე ჰელიოენერგეტიკული რესურსების განაწილების რუკა. რუკის შედგენისას გამოყენებული იქნა

საქართველოს აქტინომეტრიული სადგურების ქსელზე დაკვირვებების მთელი პერიოდის ინფორმაცია (1953-1990წწ). მასში გამოყენებული დაკვირვებების ინფორმაციის ხანგრძლივობა ხუთი წლით მეტია (Сванидзе, Гагуа, Сухишвили, 1987)-ში გამოყენებული დაკვირვებების მახასიათებლების ხანგრძლივობაზე. ინფორმაციის პერიოდის გაგრძელებამ ხუთი წლით რაიმე საგრძნობი კორექტივები ჰელიოენერგეტიკული რესურსების განაწილების ახალ რუკაზე არ შეიტანა. რაჭა-ლეჩხუმის რეგიონი კვლავ აღმოჩნდა ჰელიორესურსების განაწილების სამ ზონაში. ჰელიოენერგეტიკული რესურსების განაწილების რუკაზე გამოყოფილია აგრეთვე სამი ზონა ჰელიოენერგეტიკული მახასიათებლების ანალოგიური მნიშვნელობებით.

ცხრილი 3.2.2. კომპლექსური ჰელიოენერგეტიკული მახასიათებლები

(Сваниდзе, Гагуа, Сухишвили, 1987).

ზონა	$\Sigma S/\text{მ}^2/\text{წ}^2$						$\Sigma Q/\text{მ}^2/\text{წ}^2$					
	დღედამე		თვე		სეზონი	წელი	დღედამე		თვე		წელი	
	I	VII	I	VII			I	VII	I	VII		
A	3-4	14-16	100-130	450-500	1900-2000	3000	6-8	20-25	180-250	650-700	5000-6000	
B	2-3	13-14	70-90	400-450	1800-1900	1800-2900	5-6	20-23	160-180	650-700	4900-6000	
C	3-4	11-13	100-120	350-400	1700-1800	2700-2800	7-8	20-23	220-230	600-650	5000-5200	
მზის ნათების ხანგრძლივობა SS სთ												
ონა	დღედამე				თვე		სეზონი	წელი	P%,	$\Sigma \geq 250\text{სთ}$		
	I	VII	I	VII	V-IX				VII			
A	3-4	9-10	130-140	290-320	1250-1300		2200-2500		80-90			
B	3-4	8-10	100-180	270-290	1200-1250		2200-2400		60-80			
C	4-5	7-8	120-130	250-270	2000-2200		2000-2200		40-60			

3.3. ქარის ენერგეტიკული რესურსები

ქარის ენერგია წარმოადგენს ექოლოგიურად სუფთა, აღდგენილი (განახლებადი) და ამოუწურავი ენერგიის ერთ-ერთ სახეობას. მას პიდროვენერგიასა და ჰელიოენერგიასთან ერთად მნიშვნელოვანი წვლილის შეტანა შეუძლია ქვეყნის საობობ-ენერგეტიკულ ბალანსში და ორგანული გენეზისის სითბური წყაროების მიერ დაბინძურებული გარემოს გაჯანსაღებაში.

საქართველოში ქარის ენერგიის პრაქტიკული გამოყენების პრობლემის შესწევა იწყება მეოცე საუკუნის 50-იან წლებიდან. 1959 წელს გამოქვეყნებული გ.მელიას

ნაშრომში შეფასებულა საქართველოს ტერიტორიაზე ქარის ენერგეტიკული პოტენციალი (Мелия, 1959). იმავე წელს გამოქვეყნებულ ესუნიშვილის შრომაში (Сухишвили, 1959) გაანალიზებულია კოლხეთის დაბლობის და შავი ზღვის სანაპირო ზოლის ქარის რეჟიმული და ენერგეტიკული მახასიათებლები. 1968 წელს გამოცემულ კლიმატურ ცნობარში (Справочник по климату СССР, вып. 14, ветер, Л. 1968), რომელიც დასაბუქდად მომზადებული იქნა თბილისის პიდრომეტეოროლოგიური ობსერვატორიის კლიმატის განყოფილების თანამშრომლების მიერ, მოცემულია საქართველოს ტერიტორიაზე ქარის რეჟიმული მახასიათებლები: ქარის საშუალოთვიური და წლიური სიჩქარე, ქარის საშუალოთვიური და წლიური სიჩქარე დღედამის სხვადასხვა საათო ებჯი, ქარის სიჩქარის ალბათობა გრადაციების მიხედვით, ძლიერი ქარებით ($v > 15 \text{ м/წმ}$) დღეების საშუალო და მაქსიმალური რაოდენობა თვეების და წელიწადის მიხედვით, ქარის სიჩქარის დღედამური სკალა და სხვა.

1971 წელს გამოცემულ პიდრომეტეოროლოგიის ინსტიტუტის კოლექტივის ნაშრომში (Климат и климатические ресурсы Грузии, 1971) საქართველოს ტერიტორიისათვის ქარის საშუალოთვიური და საშუალოწლიური სიჩქარეების ანალიზის საფუძველზე დაკონკრეტებულია ქარის ენერგოდანადგარების გამოყენების პერსპექტიული რაიონები და მოცემულია ქარის ენერგორესურსების განაწილების სქემატური რუკა.

1987 წელს პიდრომეტეოროლოგიის ინსტიტუტის თანამშრომლების (Сваниძე и др., 1987) მიერ გამოქვეყნებულ ფუნდამენტურ ნაშრომში, გ.გრინევიჩის შრომებში (Гриневич, 1963, 1966) მოცემული ქარის ენერგორესურსების კადასტრული შესწავლის და შეფასების მეთოდიკის გამოყენებით, დადგენილია ქარის ენერგოდანადგარების ექსპლოატაციის რეჟიმული მახასიათებლები საქართველოს ტერიტორიისათვის, მოცემულია ქარის ენერგორესურსების დონით მისი სქემატური დარაიონება.

2004 წელს გამოცემულ “საქართველოს ქარის ენერგეტიკულ ატლასში” (საქართველოს ქარის ენერგეტიკული ატლასი, 2004) გაანალიზებულია საქართველოს მეტეოროლოგიური სადგურების ქსელზე (165 მეტეოროლოგური) არსებული მრავალწლიური დაკვირვებების მონაცემები და 8 პერსპექტიულ მოედანზე დამონტაჟებულ მაღლივ მეტეორონდებზე მიღებული მოკლევადიანი (2-5 წელი) ინფორმაცია. ატლასში მოცემულია ქარის რეჟიმული მახასიათებლებისა და ენერგეტიკული პოტენციალის მოდელირება, რომელიც გათვალისწინებულია რელიეფის დამჩრდილველი დაბრკოლებებისა და ქვეყნის ზედაპირის უსწორმასწორობის (სისისტის) გავლენა ქარის სიჩქარეზე და მიმართულებაზე ხაზგასმულია ის გარემოება, რომ ქარის საშუალო სიჩქარე წარმოადგენს ქარის

კადასტრის იმ მნიშვნელოვან მახასიათებელს, რომელიც აუცილებელია ქარის ენერგეტიკული პოტენციალის გამოყენების პერსპექტიულობის შეფასების თვალსაზრისით. ცხრილ 3.3.1-ში მოცემულია ქარის საშუალოთვიური და წლიური სიჩქარე რაჭა-ლეჩხეუმის რამდენიმე პუნქტისათვის.

ცხრილი 3.3.1. ქარის სიჩქარის საშუალოთვიური და წლიური სიდიდეები მ/წმ (Справочник по климату СССР, 1968)

სადგური	თ ვ ე												წელი
	I	II	III	IV	V	VI	VII	VIII	IX	X	XI	XII	
შოვი	1.1	1.7	1.5	1.3.	1.2.	1.0	1.0	0.8	1.0	1.3	1.3	1.2	1.2
მამისონის უდ.	6.6	6.7	6.2	5.2	4.4	4.7	4.8	4.6	4.8	5.6	5.5	6.2	5.4
ცაგერი	0.6	0.7	1.1	1.4	1.3	1.2	1.2	1.1	1.0	0.8	0.7	0.5	1.0
ონი	0.8	1.1	1.6	1.9	1.6	1.5	1.6	1.6	1.2	0.9	0.8	0.6	1.3
ჭრებალო	0.3	0.3	0.8	1.2	1.2	1.1	1.2	1.0	0.7	0.4	0.4	0.2	0.7
ამბოლაური	1.7	1.9	2.8	3.1	2.6	2.4	2.5	2.5	2.2	1.9	1.9	1.6	2.3
ხერგა	0.7	0.9	1.0	1.1	1.2	1.2	1.1	1.1	0.9	0.7	0.7	0.5	0.9

როგორც ცხრილი 3.3.1-დან ჩანს რაჭა-ლეჩხეუმის ტერიტორიაზე ქარის სიჩქარის საშუალოთვიური და წლიური სიდიდეები მაქსიმალურია მამისონის უდელტებილზე და მინიმალურია სადგურ ჭრებალოში. ქარის სიჩქარის საშუალოთვიური სიდიდეები მამისონის უდელტებილზე წელიწადში მერყეობს 4.4მ/წმ-დან (V)- 6.7მ/წმ-დან (II) მაქსიმუმით ზამთრის თვეებში და მარტში (6.2-6.7მ/წმ) მინიმუმით მაისიდან სექტემბრის ჩათვლით 4.4მ/წმ-დან (V)- 4.8მ/წმ-დან (VII,IX).

ქარის სიჩქარის წლიური სიდიდეები რაჭა-ლეჩხეუმის ტერიტორიებზე მერყეობენ 0.7მ/წმ-დან (ჭრებალო)- 5.4მ/წმ-დან (მამისონის უდელტებილი) ქარის სიჩქარის წლიური სიდიდით გამოირჩევა სადგური ამბლორაური (2.3მ/წმ), შოვში და ონში ქარის სიჩქარის წლიური სიდიდე მერყეობს შესაბამისად 1.2მ/წმ(შოვი)-1.3მ/წმ(ონი) ფარგლებში. სადგურებზე: ჭრებალო, ხერგა და ცაგერი ეს მახასიათებელი მერყეობს 0.7მ/წმ-დან (ჭრებალო)- 1.0მ/წმ-დან (ცაგერი) ფარგლებში.

ქარის სიჩქარის საშუალოთვიური და წლიური სიდიდეები (მ/წმ) (საქართველოს სამეცნიერო-გამოყენებითი კლიმატური ცნობარი)-ს მონაცემებით მოცემულია ხრილ 3.3.2.-ში.

ცხრილ 3.3.1-ში მოყვანილი ქარის სიჩქარის საშუალოთვიური და წლიურული სიდიდეების გამოთვლის დაკვირვებების პერიოდის ხანგრძლივობა შეადგენდა 25 წელს (1936-1960), ხოლო ცხრილ 3.3.2.-ში მოცემული ანალოგიური მახასიათებლების სიდიდეები გამოთვლილია დაკვირვებების შედარებით ხანგრძლივი პერიოდისათვის (1936-

1990წლი). როგორც ამ ცხრილების მონაცემების შედარებიდან ჩანს, დაკვირვებების პერიოდის ხანგრძლივობის ორჯერ გაზრდის შედეგად სადგურებზე მამისონის უდელტეხილი და შოვი ქარის სიჩქარის წლიური სიდიდეები დარჩა თითქმის უცვლელი- 5.4 და 5.5მ/წმ (მამისონის უდელტეხილი), 1.2 და 1.3მ/წმ (შოვი). სადგურ ამბლორაურში ქარის წლიური სიჩქარე დაკვირვების პერიოდის გახანგრძლივობით შემცირდა 0.4მ/წმ-ით, სადგურ ონში კი 0.6მ/წმ-ით, თითქმის ორჯერ (1.3 და 0.7მ/წმ).

ცხრილი 3.3.2. ქარის სიჩქარის საშუალოთვიური და წლიურული სიდიდეები (მ/წმ)

სადგური	თ ვ ე												წელი
	I	II	III	IV	V	VI	VII	VIII	IX	X	XI	XII	
ამბროლაური	1.1	1.9	2.4	2.4	2.1	1.9	2.0	1.9	1.8	1.6	1.4	1.3	1.9
მამისონის ულ.	6.8	6.6	6.0	4.9	4.4	4.8	4.9	4.7	5.0	5.6	5.8	6.6	5.5
ონი	0.5	0.7	1.0	0.9	0.9	0.8	0.8	0.7	0.6	0.4	0.4	0.3	0.7
შოვი	1.2	1.3	1.4	1.4	1.4	1.3	1.4	1.2	1.4	1.3	1.1	1.2	1.3

ცხრილ 3.3.3.-ში მოცემულია იანვრისა და ივლისის თვეებისათვის ქარის საშუალოწლიური \bar{v} , უდიდესი $v_{\text{მაქ.}}$ და უმცირესი $v_{\text{მინ.}}$ სიჩქარეები (მ/წმ).

ცხრილი 3.3.3. ქარის საშუალოწლიური \bar{v} , უდიდესი $v_{\text{მაქ.}}$ და უმცირესი $v_{\text{მინ.}}$ სიჩქარეები მ/წმ (საქართველოს სამეცნიერო-გამოყენებითი კლიმატური ცნობარი, 2004)

სადგური	იანვარი			ივლისი		
	\bar{v}	$v_{\text{მაქ.}}$	$v_{\text{მინ.}}$	\bar{v}	$v_{\text{მაქ.}}$	$v_{\text{მინ.}}$
ამბროლაური	1.9	3.7	0.7	1.9	3.8	1.6
მამისონის ულ.	5.5	11.3	4.0	5.5	7.6	2.5
ონი	0.7	1.3	0.1	0.7	2.5	0.6
შოვი	1.3	1.7	0.1	1.3	1.6	0.2

ქარის უდიდესი სიჩქარე აღნიშნულია იანვარში და ივლისში მამისონის უდელტეხილზე, შესაბამისად 11.3 და 7.6მ/წმ. სადგურ ამბლოლაურში ამ მახასიათებლის სიდიდე იანვარში და ივლისში თითქმის უცვლელია შეადგენს შესაბამისად 3.7(I) და 3.8(VII)მ/წმ-ს. სადგურ შოვში მამისონის უდელტეხილის ანალოგიურად $v_{\text{მაქ.}}$ -ის სიდიდეები იანვარში და ივლისში ახლოა ერთმანეთთან: 1.7(I) და 1.6(VII)მ/წმ შესაბამისად. სადგურ ონში ადგილი აქვს შებრუნებულ მოვლენას სხვა სადგურებისაგან განსხვავებით აქ $v_{\text{მაქ.}}$ -ის იანვრის მნიშვნელობა (1.3მ/წმ) ნაკლებია ივლისის სათანადო მნიშვნელობაზე (2.5მ/წმ). საქართველოს ტერიტორიაზე ქარის სიჩქარის მაქსიმალური მნიშვნელობები, როგორც წესი, აღინიშნებიან ზამთრის და გაზაფხულის პერიოდში, მინიმალური მნიშვნელობები კი ზაფხულის და გაზაფხულის

პერიოდში. ამ კანონზომიერებიდან გამონაკლისს წარმოადგენენ ზოგიერთი სადგურები, რომელთა რიცხვს მიეკუთნება სადგური ონი.

ქარის სიჩქარის საშუალოთვიური და საშუალოწლიური მნიშვნელობების გარდა, ქარის ენერგეტიკული კადასტრის ძირითადი მახასიათებელია ქარის აქტიური და არააქტიური სიჩქარეების სიდიდე, მათი ხანგრძლივობისა და განმეორადობის ალბათობა. როგორც ცნობილია, ქარის ენერგოძრავის სიმძლავრე პირდაპირ პროპორციულია ქარის სიჩქარის კუბისა. ქარის ენერგოძრავები ნელი სვლით მუშაობას იწყებენ ქარის სიჩქარის 3-3.5მ/წმ-ის შემთხვევაში. მეორე ტიპის ქარის ენერგოძრავები სწრაფი სვლით მუშაობას იწყებენ ქარის სიჩქარის 4.5-5.0მ/წმ-ის შემთხვევაში. ქარის ეს სიჩქარეები ცნობილია მუშა სიჩქარეების სახელწოდებით. ქარის მუშა სიჩქარეების განმეორადობა წარმოადგენს ქარის ენერგეტიკული კადასტრის ასევე ერთ-ერთ ძირითად მახასიათებელს. ქარის სიჩქარეების ალბათობა გრადაციების მიხედვით წელიწადში (პროცენტებში შემთხვევათა საერთო რიცხვიდან) მოცემულია ცხრილ 3.3.4.-ში.

ქარის სიჩქარეების ალბათობა გრადაციების მიხედვით დღედამის სხვადასხვა (1,7,13,19) საათებში სადგურებზე მამისონის უღელტეხილი და ონი მოცემულია ცხრილ 3.3.5-ში.

ცხრილი 3.3.4. ქარის სიჩქარეების ალბათობა გრადაციების მიხედვით წელიწადში (პროცენტებში შემთხვევათა საერთო რიცხვიდან) (Климат и климатические ресурсы Грузии, 1971)

სადგური	$v, 15\text{მ}/\text{წმ}$													
	0-1	2-3	4-5	6-7	8-9	10-11	12-13	14-15	16-17	18-20	21-24	25-28	29-34	35-40
მამისონის უღ.	13.0	20.4	24.5	17.8	9.7	5.7	3.5	1.8	1.1	1.5	0.4	0.3	0.3	0.01
ონი	70.2	18.7	8.3	2.2	0.5	0.02	0.04	0.01	0.02	0.01	0.002			

როგორც ცხრილებიდან (3.3.4,3.3.5)-დან ჩანს, ქარის სამუშაო სიჩქარის წლიური განმეორადობა რაჭა-ლეჩხუმის ტერიტორიაზე, რომელიც აღწევს თითქმის 80%-ს დაფიქსირებულია მამისონის უღელტეხილზე (კავკასიონის მაღალმთიანი რაიონის დია უღელტეხილზე), სადაც მთელი წელიწადის განმავლობაში გაბატონებულია დიდი სიჩქარის დასავლეთის მიმართულების ქარები. ამ სადგურში ქარის სამუშაო სიჩქარეების საერთო ხანგრძლივობა ($v \geq 3\text{მ}/\text{წმ}$) წელიწადში აღწევს 6900-7000საათს.

ცხრილი 3.3.5. ქარის სიჩქარეების ალბათობა (%) გრადაციების მიხედვით დღედამის სხვადასხვა (1,7,13,19სთ) საათებში

სადგური	სთ	$v, 15\theta/\sqrt{\theta}$									
		0-1	2-5	6-9	10-13	14-17	18-20	21-24	25-28	29-34	35-40
მამისონის ულ.	1	14.6	43.8	26.9	8.7	2.9	1.8	0.5	0.4	0.4	
	7	14.0	45.9	27.6	7.8	2.7	1.2	0.4	0.2	0.2	0.01
	13	10.5	12.8	29.6	11.1	3.4	1.6	0.4	0.2	0.4	0.02
	19	13.0	46.9	25.9	9.2	2.6	1.5	0.4	0.3	0.2	0.01
ონი	1	82.6	15.9	1.4	0.1	0.03					
	7	85.2	14.1	0.6	0.1	0.02	0.02	0.01			
	13	43.1	19.6	7.1	0.1	0.1	0.02				
	19	69.6	28.4	1.9	0.1	0.01					

წელიწადის სეზონების მიხედვით ქარის სამუშაო სიჩქარეების ($v \geq 3$; $5\theta/\sqrt{\theta}$) განმეორადობა (%) (1), ქარის სამუშაო სიჩქარეების ($v \geq 3\theta/\sqrt{\theta}$) საერთო ხანგრძლივობა წელიწადის სეზონების მიხედვით (2) (სთ), ქარის სამუშაო სიჩქარეების ($v \geq 3\theta/\sqrt{\theta}$) საერთო ხანგრძლივობის განმეორადობა (%) სეზონების მიხედვით, წელიწადში საერთო ხანგრძლივობაზე დამოკიდებულებით (3) და ქარის არააქტიური სიჩქარეების ($v=0-2\theta/\sqrt{\theta}$) საერთო ხანგრძლივობის განმეორადობა (%) სეზონების მიხედვით წელიწადში საერთო ხანგძლივობაზე დამოკიდებულებით (4) სადგურ მამისონის უღელტეხილისათვის მოცემულია ცხრილ 3.3.6.-ში (Сухишвили, 1959).

როგორც ცხრილ 3.3.6.-დან ჩანს, წელიწადის სეზონების მიხედვით ქარის საშუალო სიჩქარეების ($v \geq 3\theta/\sqrt{\theta}$) განმეორადობა ნელსვლიანი ქარის ენერგოძრავების შემთხვევაში მერყეობს 68 (გაზაფხული)-78%-ის (ზაფხული) ფარგლებში, წრაფი სვლით ქარის ენერგოძრავების შემთხვევაში ქარის სამუშაო სიჩქარეების ($v \geq 5\theta/\sqrt{\theta}$) განმეორადობა წელიწადში მერყეობს 46 (გაზაფხული) – 59%-ის (ზამთარი) ფარგლებში.

ქარის სამუშაო სიჩქარეების ხანგრძლივობა ქარის სიჩქარის მატებისას 3-10 $\theta/\sqrt{\theta}$ -ის ფარგლებში მცირდება ზამთარში 1856 საათიდან 486 საათამდე, გაზაფხულზე -1605 საათიდან 247 საათამდე, ზაფხულში -1753 საათიდან 182 საათამდე, შემოდგომაზე 1766 საათიდან 239 საათამდე.

ცხრილი 3.3.6. 1-(%), 2-(სთ), 3-(%), 4-(%)

1%							
ზამთარი		გაზაფხული		ზაფხული		შემოდგომა	
1	2	3	4	5	6	7	8
≥3	≥5	≥3	≥5	≥3	≥5	≥3	≥5
78	59	68	46	73	51	74	53
2სთ							
ზამთარი							
ქარის სიჩქარე მ/წმ							
1	2	3	4	5	6	7	8
≥3	≥4	≥5	≥6	≥7	≥8	≥9	≥10
1856	1412	1258	895	843	639	612	486
გაზაფხული							
1605	1118	958	606	532	374	322	247
ზაფხული							
1753	1206	1020	599	528	336	261	182
შემოდგომა							
1766	1283	1133	751	665	424	360	239
3(%)							
ზამთარი	გაზაფხული		ზაფხული		შემოდგომა		წელი
27	23		25		25		100
4(%)							
12	34		26		23		100

ქარის სამუშაო სიჩქარეების ($v \geq 3\text{მ}/\text{წმ}$) ხანგრძლივობის განმეორადობა (%) სეზონების მიხედვით წელიწადში საერთო ხანგრძლივობაზე დამოკიდებულებით ახლოა ერთმანეთთან: მერყეობს 23 (გაზაფხული) -27%-ის (ზამთარი) ფარგლებში, ქარის არააქტიური სიჩქარეების ($v=0-2\text{მ}/\text{წმ}$) ხანგრძლივობის განმეორადობა (%) სეზონების მიხედვით წელიწადში საერთო ხანგრძლივობაზე დამოკიდებულებით მინიმალურია ზამთარში (12%), მაქსიმალურია გაზაფხულზე (34%), ზაფხულში და შემოდგომაზე ის შეადგენს შესაბამისად 26 და 23%-ს. ცხრილ 3.3.7-ში მოცემულია სადგურ მამისონის უღელტეხილასთვის ქარის სამუშაო სიჩქარეების საერთო წლიური ხანგრძლივობის განმეორადობა (%) წელიწადში სათების საერთო რიცხვზე დამოკიდებულებით (ა), ქარის სხვადასხვა სიჩქარის ხანგრძლივობის განმეორადობა (%) სამუშაო სიჩქარეების საერთო ხანგრძლივობაზე დამოკიდებულებით. წელიწადში (ბ), ქარის არააქტიური სიჩქარეების ($v=0-2\text{მ}/\text{წმ}$) საერთო ხანგრძლივობა (საათი) წელიწადის სეზონების მიხედვით (გ) და ქარის არააქტიური სიჩქარეების ($v=0-2\text{მ}/\text{წმ}$)

სანგრძლივობის განმეორადობა (%) სეზონების მიხედვით (%წელიწადში საათების რიცხვიდან).

ცხრილი 3.3.7. $\alpha(\%)$, $\delta(\%)$, $\beta(\text{სთ})$, $\varphi(\%)$ სადგური მამისონის უღელტეხილი (Сухишвили, 1959).

$\alpha (\%)$					
v	≥ 3	≥ 5	≥ 8	≥ 10	
%	80	50	20	13	
$\delta (\%)$					
v	≥ 3	≥ 5	≥ 8	≥ 10	
%	100	62	25	16	
$\beta(\text{სთ})$					
t(სთ)	ზამთარი	გაზაფხული	ზაფხული	შემოდგომა	წელიწადი
	304	603	455	418	1780
$\varphi(\%)$					
%	ზამთარი	გაზაფხული	ზაფხული	შემოდგომა	წელიწადი
	3	7	5	5	20

როგორც ცხრილ 3.3.7.-დან ჩანს, ქარის სამუშაო სიჩქარეების ზრდის პარალელურად საერთო წლიური სანგრძლივონის განმეორადობა (%) 80%-დან ($v \geq 3\theta/\nabla\theta$) 13%-მდე ($v \geq 10\theta/\nabla\theta$) ასევე ქარის სხვადასხვა სიჩქარის სანგრძლივობის განმეორადობა (%). სამუშაო სიჩქარეების ზრდისას მცირდება 100-დან ($v \geq 3\theta/\nabla\theta$) 16%-მდე ($v \geq 10\theta/\nabla\theta$). ქარის არააქტიური სიჩქარეების ($v=0-2\theta/\nabla\theta$) საერთო სანგრძლივობა მამისონის უღელტეხილზე მერყეობს 304 საათიდან (ზამთარი) 603 საათამდე (გაზაფხული). ზაფხულის და შემოდგომის სეზონებისთვის ეს მაჩვენებელი შესაბამისად ტოლია 455 და 418 საათისა. არააქტიური სიჩქარეების სანგრძლივობა წელიწადში შეაფდგენს 1780 საათს. ქარის არააქტიური სიჩქარეების სანგრძლივობის განმეორადობა (%) სეზონების მიხედვით (%) წელიწადში საათების საეთო რიცხვიდან) მერყეობს 3%-დან (ზამთარი) – 7%-მდე (გაზაფხული). ზაფხულის და შმოდგომის შემთხვევაში ეს მაჩვენებელი ტოლია 5%-ისა. ამრიგად, ქარის არააქტიური სიჩქარეების სანგრძლივობის განმეორადობა წელიწადში (%) წელიწადში საათების საეთო რიცხვიდან) შეადგენს 20 საათს.

ქარის სამუშაო სიჩქარეების სანგრძლივობის დროში და სივრცეში განაწილების კანონზომიერების დადგენისას დიდი მნიშვნელობა ენიჭება ქარის სამუშაო

სიჩქარეების ($v \geq 3\delta/\sqrt{d}$) უწყვეტი ხანგრძლივობას ცხრილ 8-ში სადგური მამისონის უღელტეხილისათვის მოცემულია წელიწადის განმავლობაში ქარის სამუშაო სიჩქარეების ($v \geq 3\delta/\sqrt{d}$) უწყვეტი ხანგრძლივობის (სო) უზრუნველყოფა (%) (ა), ქარის სამუშაო სიჩქარეების ($v \geq 3\delta/\sqrt{d}$) უდიდესი უწყვეტი ხანგრძლივობა (სო) და მისი უზრუნველყოფა (%) (ბ), ქარის სამუშაო სიჩქარეების ($v \geq 3\delta/\sqrt{d}$) უწყვეტი ხანგრძლივობის უზრუნველყოფა სეზონების მიხედვით (%)- (გ).

როგორც ცხრილ 3.3.8.-დან ჩანს, ქარის სამუშაო სიჩქარეების ($v \geq 3\delta/\sqrt{d}$) 6 საათიანი უწყვეტი ხანგრძლივობის (სო) უზრუნველყოფა (%) წელიწადში შეადგენს 90%-ს, 24 საათიანი უწყვეტი ხანგრძლივობის (სო) უზრუნველყოფა 42%-ს, 48 საათიანის- 22%-ს, 72 საათიანის (3 დღედამე) – 12%-ს, 168 საათიანის (7დღე-დამე)-1%-ს. ქარის უწყვეტი ხანგრძლივობის ზრდასთან სინქრონულად მისი უზრუნველყოფა მცირდება.

ცხრილი 3.3.8. სადგურ მამისონის უღელტეხილზე ქარის მახასიათებლების ა, ბ, გ- სიდიდეები (Сухишвили, 1959).

არის უწყვეტი ხანგრძლივობა, სო								
≥ 6	≥ 12	≥ 24	≥ 48	≥ 72	≥ 96	≥ 120	≥ 144	≥ 168
99	70	42	22	12	8	4	2	1
ბ								
ხანგრძლივობა, სო		თ ვ ე				უზრუნველყოფა, %		
348		XII				0.7		
გ ხანგრძლივობა, სო								
≥ 12	≥ 24	≥ 12	≥ 24	≥ 12	≥ 24	≥ 12	≥ 24	
ზამთარი		გაზაფხული		ზაფხული		შემოდგომა		
73	51	66	40	71	36	71	40	

მამისონის უღელტეხილზე ქარის სამუშაო სიჩქარის ($v \geq 3\delta/\sqrt{d}$) უდიდესი უწყვეტი ხანგრძლივობა შეადგენს 348 საათს დეკემბერში, მისი უზრუნველყოფა ტოლია 0.7%-სა. ქარის სამუშაო სიჩქარეების ($v \geq 3\delta/\sqrt{d}$) 12 საათიანი უწყვეტი ხანგრძლივობის უზრუნველყოფის (%) სიდიდე წელიწადის განმავლობაში შეადგენს 73%-(%ზამთარი), 66%-ს (გაზაფხული), 71%-ს (ზაფხული და შემოდგომა), ხოლო 24 საათიანი უწყვეტი ხანგრძლივობის უზრუნველყოფის სიდიდე შესაბამისად ტოლია 51% (ზამთარი), 40%

(გაზაფხული, შემოდგომა) 36%-სა (ზაფხული). ქარის არააქტიური სიჩქარეების ($v=0$ - $2\delta/\sqrt{d}$) უწყვეტი ხანგრძლივობის უზრუნველყოფა (%) წელიწადში (ა), ქარის არააქტიური სიჩქარეების უდიდესი უწყვეტი ხანგრძლივობა (სთ) და მისი უზრუნველყოფა (%) –(ბ) და ქარის არააქტიური სიჩქარეების (0- $2\delta/\sqrt{d}$) საშუალო უწყვეტი ხანგრძლივობის (სთ) სიდიდე წელიწადის სეზონების მიხედვით (გ) სადგურ მამისონის უდელტებილზე მოცემულია ცხრილ 3.3.9-ში (Сухишвили, 1959).

ცხრილი 3.3.9. ქარის არააქტიური სიჩქარეების ($v=0-2\delta/\sqrt{d}$) მახასიათებლები

ქარის უწყვეტი ხანგრძლივობა (სთ)		
≥ 6	≥ 12	≥ 24
99	40	4
უდიდესი უწყვეტი ხანგრძლივობა (სთ)		
ხანგრძლივობა, (სთ)	თ ვ ე	უზრუნველყოფა, %
120	111	0.5
საშუალო უწყვეტი ხანგრძლივობა სეზონების მიხედვით (სთ)		
ზამთარი	გაზაფხული	ზაფხული
11	16	11
		11

აღსანიშნავია, რომ რაჭა-ლეჩხუმის რაიონისათვის დამახასიათებელია ქარის ენერგეტიკული რესურსების ცვალებადობის დიდი დიაპაზონი. როგორც ცხრილი 1-დან ჩანს, რაჭა-ლეჩხუმის დაბლობის წინამთის ტერიტორიაზე (სადგურები: ჭრებალო, ამბროლაური, ცაგერი) ქარის ენერგეტიკული კადასტრის მნიშვნელოვანი მახასიათებელი ქარის სიჩქარის საშუალოთვიური და წლიური სიდიდე, ნაკლებ ქარის საშუალო სიჩქარეების მინიმალურ სიდიდებზე(3δ/ \sqrt{d}), რის შედეგად აქ არსებული პირობები არახელსაყრელია ქარის ენერგეტიკული რესურსების გამოსაყენებლად.

თავი IV. აგროკულტურების სითბოთი და ტენით უზრუნველყოფა

4.1 აგროკულტურების სითბოთი და ტენით უზრუნველყოფა

რაჭა-ლეჩხუმი - ქვემო სვანეთის რეგიონი ზღ. დონიდან 800-1000 მ სიმაღლეში ზომიერ კლიმატურ პირობებშია, ხოლო აღნიშნული სიმაღლის ზევით გადადის კონტინენტური კლიმატის ზონაში (მკაცრი კლიმატური ზონა). შედარებით მკაცრი კლიმატური და რთული რელიეფის პირობებიდან გამომდინარე, სასოფლო-სამეურნეო დანიშნულების მიწის სავარგულები მცირეა, რის გამოც სოფლის მერნეობის მრავალმხრივი დარგის ინტენსიური განვითარება შეზღუდულია. მიუხედავად ამისა, აქ შესაბამისი პირობების მიხედვით, წამყვანი კულტურებია ვაზი და ხეხილოვანები, მარცვლოვანი, ძირითადად სიმინდი და პარკოსანი (ლობიო). ვაზის კულტურის განვითარებისათვის ხელსაყრელი ნიადაგურ-კლიმატური პირობებია, ძირითადად დაბლობ და მთის ფერდობებზე ზღ. დონიდან 400-800 მ სიმაღლეში. რეგიონში მნიშვნელოვანი ხვედრითი წილი აქვს კონტინენტურ თესლოვან კულტურებს, განსაკუთრებით ვაშლს და მსხალს. პერსპექტიულია აგრეთვე კურკოვანი, კაკლოვანი და კენკროვანი კულტურების გავრცელება. დაბლობში გვხვდება მშრალი სუბტროპიკული კულტურის (ლელვი, ბროწეული) მცირე ნარგაობა, თუმცა ისინი ყინვებისაგან ზოგჯერ საგრძობლად ზიანდება და მაღალ ზონაში აქტიურ (10°C -ის ზევით) ტემპერატურათა ჯამის ნაკლებობის გამო არ ვრცელდება.

რაჭა-ლეჩხუმი - ქვემო სვანეთის რეგიონში ზემოაღნიშნული რთული და მრავალფეროვანი ბუნებრივი პირობების შესაბამისად, სოფლის მეურნეობის შემდგომ განვითარებას პირველხარისხოვანი მნიშვნელობა აქვს. იგი რეგიონში უზრუნველყოფს ეკონომიკის გაძლიერებას. აქედან გამომდინარე, ეფექტურად უნდა იქნას გამოყენებული მეცნიერულად დასაბუთებული აგროკლიმატური რესურსების მახასიათებლები, აღნიშნული კულტურების მოთხოვნილების გათვალისწინებით.

აგროკულტურების ნორმალური ზრდა-განვითარება და მაღალი პროდუქტიულობა ძირითადად დამოკიდებულია ადგილის აგროკლიმატურ რესურსებზე (სითბო, სინათლე, ატმოსფერული ნალექები და სხვა). მიწათმოქმედებაში დიდი მნიშვნელობა ენიჭება აგროკლიმატური რესურსების ეფექტურად გამოყენებას, განსაკუთრებით მთიანი და შედარებით მაღალმთიანი რეგიონისათვის. ერთერთ ასეთ მნიშვნელოვან რესურს წარმოადგენს სითბო, რომელიც აგროკულტურების გარანტირებული მოსავლის მიღების საშუალებას იძლევა.

უნდა აღინიშნოს, რომ რეგიონში გაზაფხულზე ადრე ან გვიან ვეგეტაციის დაწყება ჰაერის საშუალო დღედამურ ტემპერატურაზეა დამოკიდებული. დადგენილია, რომ ვაზი, მშრალი სუბტროპიკული კულტურები (ლელვი, ბროწეული და სხვა) ვეგეტაციას

იწყებენ ჰაერის საშუალო დღედამური ტემპერატურის 10°C -ის ზევით გადასვლის თარიღის დადგომიდან, ასევე მოცემულ ტემპერატურაზე შეიძლება დაიწყოს ბოსტნეული-ბალჩეული კულტურების ჩითილების დია გრუნტში გადარგვა და სხვა.

ჰაერის საშუალო დღედამური ტემპერატურის 10°C -ის ზევით მდგრადი გადასვლის თარიღის დადგენა ხდება რეგრესიის განტოლებით:

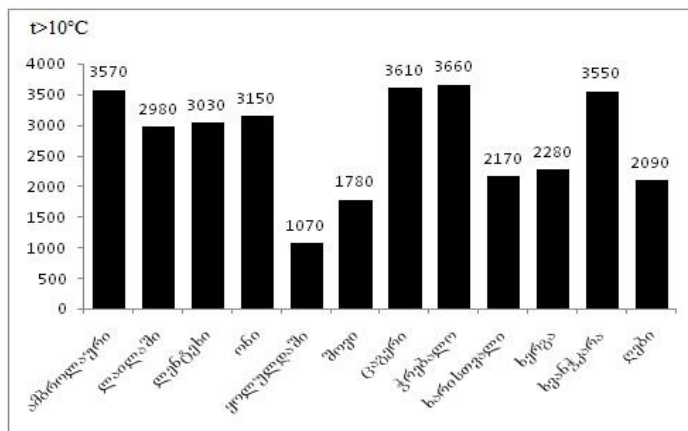
$$n = 0,0447h + 45 \quad (1)$$

განტოლებაში n - ჰაერის საშუალო დღედამური ტემპერატურის 10°C -ის ზევით დადგომის თარიღია (ანუ დღეთა რიცხვი 1 - თებერვლიდან ტემპერატურის 10°C -ის ზევით დადგომის თარიღამდე), h - ზღ. დონიდან სიმაღლე. მოცემულ რაიონში ზღ. დონიდან სიმაღლის მაჩვენებლის განტოლებაში (1) ჩასმით და სათანადო გაანგარიშებით მიღებული რიცხვი გადაითვლება 1 - თებერვლიდან, რაც განსაზღვრავს აღნიშნული რაიონისათვის 10°C -ის ზევით დადგომის თარიღს.

მოცემული რეგიონისათვის მოგვავს 10°C -ის ზევით ტემპერატურის გადასვლის დადგომის საშუალო თარიღები. ამბროლაურში იგი დაიკვირვება 11.IV, ლაილაში - 22.IV, ლენტებში - 20.IV, ონში - 18.IV, შოვში - 18.V, ცაგერში - 10.IV, ხვანჭკარაში - 13.IV, ლებში - 6.V, უწერაში - 25.IV.

ტერიტორიაზე, სადაც კულტურები სითბოსადმი მოთხოვნილების შესაბამისად არ არის უზრუნველყოფილი, ზრდა-განვითარება ნორმალურად არ მიმდინარეობს, მოსავალის და მისი ხარისხის მაჩვენებელი დაბალია. ამიტომ, რეგიონის რაიონებში საჭიროა ჰაერის აქტიური (10°C -ის ზევით) ტემპერატურის ჯამის განსაზღვრა, რაც ყოველწლიურად იცვლება $\pm 400^{\circ}\text{C}$ და მეტით. ტემპერატურის ასეთმა ცვლილებამ შეიძლება გამოიწვიოს მოსავლის რაოდენობის მერყეობა (მატება ან კლება).

ნახაზზე 4.1.1. მოცემულია საკვლევი რეგიონის აქტიურ ტემპერატურათა ჯამები რაიონების მიხედვით.



ნახ. 4.1.1. რაჭა-ლეჩხეუმი - ქვემო სვანეთის რეგიონის აქტიურ ტემპერატურათა ჯამები ($>10^{\circ}\text{C}$) თბილ პერიოდში

ვაზის საგვიანო ჯიშების („ცოლიქაური”, „ციცქა”) მტევნის მარცვლების სრული მომწიფებისათვის საჭიროა 10°C -ის ზევით 3700°C ტემპერატურათა ჯამი. აღნიშნული ჯიშები ტვიშში (ცაგერი) დამწიფდება ყოველ წელს, ჭრებალოში 5-ჯერ, ცაგერში 4-ჯერ, ხოლო ამბროლაურში 2-ჯერ ყოველ ათ წელში. ცხადია, ჭრებალოში, ცაგერში და ამბროლაურში ტემპერატურათა ჯამი ვერ უზრუნველყოფს აღნიშნული ჯიშების სრულ სიმწიფეს, ამიტომ მათი გაშენება ასეთ პირობებში არარენტაბელურია. მათი გაშენება მიზანშეწონილია სოფელ ტვიშის მიკროკლიმატურ პირობებში.

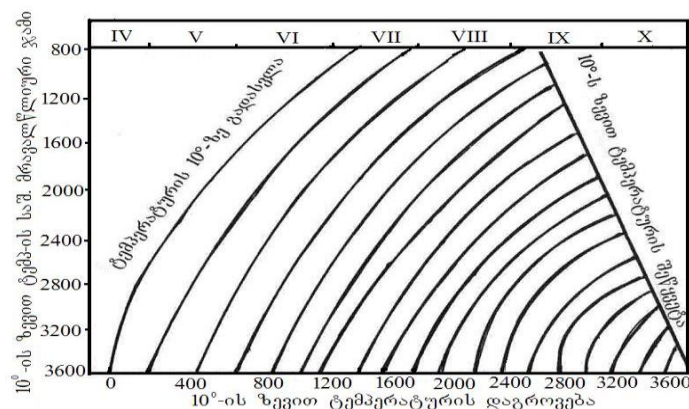
საყურადღებოა რეგიონში სიმინდის სხვადასხვა ჯიშების გავრცელების პერსპექტივა. საადრეო ჯიში „აჯამეთის ყვითელი” მთის „კრემისებური თეთრი” და „ყვითელი” მარცვლების სრული სიმწიფისათვის საჭიროებენ საშუალოდ 2200°C ტემპერატურათა ჯამს. მოცემული სიმინდის ჯიშების სრული სიმწიფე საჭირო ტემპერატურათა ჯამით უზრუნველყოფილი იქნება ყოველ წელს ზღ. დონიდან 1100 - 1200 მ სიმაღლემდე (ხერგა, ხარისხვალი, დები და სხვა). სიმინდის საგვიანო ჯიშები - „აბაშის თეთრი”, „ქართველი კრუგი”, „აჯამეთის თეთრი”, „ჩოქელა” (სრული სიმწიფისათვის საჭიროებენ 3200°C ტემპერატურათა ჯამს) ზღ. დონიდან 400 - 600 მ სიმაღლემდე სრული სიმწიფისათვის უზრუნველყოფილი იქნება საჭირო ტემპერატურათა ჯამით ყოველ წელს (ცაგერი, ჭრებალო, ამბროლაური და სხვა), ხოლო 800 მ სიმაღლემდე ონში უზრუნველყოფილი იქნება 5 -ჯერ, ლენტებში 3 -ჯერ ყოველ ათ წელში. უზრუნველყოფათა ეს მაჩვენებლები მოცემულ რაიონებში სიმინდის საგვიანო ჯიშის გავრცელებისათვის თითქოს არარენტაბელურია. თუმცა, სამარცვლე სიმინდის საჭიროების შემთხვევაში (ონისათვის, უზრუნველყოფა 5 -ჯერ ყოველ ათ წელში) დანარჩენ 5 წელში ნედლი სახით ან სასილოსედ შესაძლებელია მისაღები იყოს ეკონომიკური თვალსაზრისით. ანალოგიური შემთხვევაა ლენტების რაიონისათვის (უზრუნველყოფა 3 -ჯერ ყოველ ათ წელში), თუმცა ამ რაიონისათვის ასეთი უზრუნველყოფა ნაკლებად მისაღებია.

რეგიონის რაიონებისათვის გამოთვლილია აქტიურ ტემპერატურათა ჯამების უზრუნველყოფები (ცხრ. 4.1.1). ცხრილში მოცემული 10°C -ის ზევით ტემპერატურათა ჯამებით (3500°C და მეტი) უზრუნველყოფილია $50\%-ით$ რაჭა-ლენტები - ქვემო სვენეთის რეგიონი ზღ. დონიდან 400 - 800 მ სიმაღლემდე, რაც უზრუნველყოფს მარცვლეული, ბოსტნეული, ვაზის, ხეხილოვანი და სხვა კულტურების ნორმალურ განვითარებას და მაღალი ხარისხის მოსავალს. 800 - 1200 მ სიმაღლემდე ტემპერატურის ჯამი კლებულობს 3000°C -დან 2300°C -მდე. მოცემულ პირობებში შესაძლებელია საადრეო სიმინდის, საგაზაფხულო ხორბლის, ქერის, ბოსტნეულის, ვაზის (საადრეო ჯიში) და ხეხილოვანი (ვაშლი, მსხალი და სხვა) კულტურების განვითარება. 1200 - 1600

მ სიმაღლემდე შესაძლებელია საადრეო ხეხილოვანი, კენკროვანი და ბოსტნეული კულტურების გავრცელება, ასევე ხელსაყრელია სათიბ-საძოვრების გაფართოვება. მაშასადამე, აგროკულტურების (მათ შორის სხვადასხვა ჯიშები) მოთხოვნილება ტემპერატურათა ჯამის მიმართ განსხვავებულია. ტემპერატურათა ჯამის ნაკლებობის შემთხვევაში, მცენარეთა ფენოფაზების ნორმალური განვითარება არ მიმდინარეობს, რაც საბოლოოდ იწვევს მოსავლის შემცირებას. აგროკულტურების ნებისმიერი ფენოლოგიური ფაზის განვითარებისათვის (ყვავილობა, სიმინდის და თავთავიანი კულტურების ცვილისებრი სიმწიფე, ნაყოფების სიმწიფე და სხვა) უნდა განისაზღვროს როდის დაგროვდება (კონკრეტული თარიღი) საჭირო ტემპერატურათა ჯამი მოცემული ფაზისათვის. შედგენილია ნომოგრამა (ნახ. 4.1.2), რომელიც გამოიყენება ზღ. დონიდან 400-500 მ-დან 2000 მ და მეტ სიმაღლემდე.

ცხრილი 4.1.1 პაერის ტემპერატურათა ჯამების ($>10^{\circ}\text{C}$) უზრუნველყოფა

მუტეოსადგური	უზრუნველყოფა, %					
	10	30	50	70	90	95
ამბროლაური	3820	3670	3570	3470	3320	3230
ლენგები	3280	3130	3030	2930	2780	2710
ლაილაში	3230	3080	2980	2880	2730	2680
ონი	3400	3250	3150	3050	2900	2850
ყორულდაში	1320	1170	1070	970	820	760
შოვი	2030	1880	1780	1680	1530	1460
ცაგერი	2860	3710	3610	3510	3360	3290
ხერგა	2530	2380	2280	2180	2030	1960



ნახ. 4.1.2 პაერის ტემპერატურათა (10°C -ის ზევით) ჯამის დაგროვება დამოკიდებული ტემპერატურის საშუალო მრავალწლიურ ჯამზე

მაგალითისათვის. დაუშვათ, უნდა განისაზღვროს რომელი თვის თარიღში დაგროვდება 3200°C ტემპერატურის ჯამი (10°C -ის ზევით), რომელიც საჭიროა სიმინდის საგვიანო ჯიშის - „აბაშის თეთრის“ ან „აჯამეთის თეთრის“ ცვილისებრი ფაზის სრული სიმწიფისათვის. ნომოგრამაზე (ნახ. 4.1.2) განსაზღვრიდან ირკვევა, რომ

მოცემული პულტურის ცვილისებრი ფაზის სიმწიფე დაიკვირვება ამბოლაურში და ცაგერში საშუალოდ 30.IX, ონში 5.X, ლენტებში 10.X.

რაჭა-ლეჩხუმი - ქვემო სვანეთის რეგიონის რაიონებისათვის აგროკულტურების სითბოთი უზრუნველყოფის პროგნოზის პრაქტიკული გამოყენებისათვის შედგენილია რეგრესიის განტოლებები:

$$\text{ამბობოლაური} \quad \Sigma T = -12,4n + 4438 \quad (1)$$

$$\Sigma T = -14,5n + 4176 \quad (2)$$

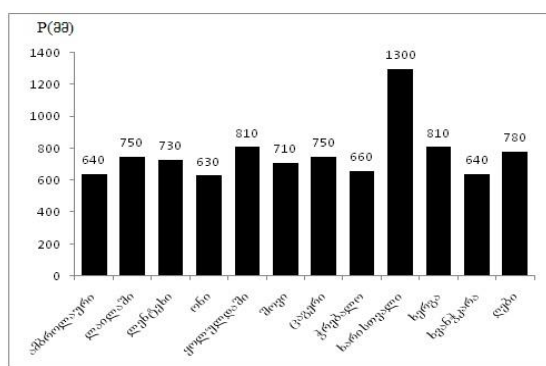
$$\Sigma T = -13,9n + 4220 \quad (3)$$

$$\text{კაგერი} \quad \Sigma T = -13,1n + 4514 \quad (4)$$

მოცემულ განტოლებებში ΣT - საპროგნოზო ჰაერის ტემპერატურის ჯამია 10°C -ის ზე- გთ გადასვლის თარიღიდან, n - დღეთა რიცხვია 1 - თებერვლიდან ჰაერის ტემპერატურის 10°C -ის ზევით გადასვლის თარიღის დადგომამდე. აღნიშნული პროგნოზის ცდომილება ($Su\pm$) დასაშვებია $\pm 50^{\circ}\text{C}$, იშვიათად $\pm 100^{\circ}\text{C}$. მისი შედგენა შესაძლებელია მაისის პირველ პერიოდში. პროგნოზის წინასწარობა შეადგენს 4-5 თვეს.

აგროკულტურების გარანტირებული მოსავლის მიღებაში აგროკლიმატური რესურსებიდან დიდ როლს ასრულებს ატმოსფერული ნალექები. რეგიონის ტერიტორიაზე მათი განაწილება რამდენადმე დამაკმაყოფილებელია, მაგრამ ზაფხულის ვეგეტაციის პერიოდში, განსაკუთრებით ზღ. დონიდან 700-800 მ სიმაღლემდე ზოგჯერ ნაკლებად არის განაწილებული. ამ შემთხვევაში არ მოიაზრება ხარისხოვალის (ამბოლაური) პირობებში ნალექების განაწილება, რადგან სავეგეტაციო პერიოდში იგი თანაბრად არის განაწილებული და საკმარისზე მეტიც დაიკვირვება.

ნახაზზე 4.1.3. მოცემულია საკვლევი რეგიონის ატმოსფერული ნალექების ჯამები (მმ) რაიონების მიხედვით.



ნახ. 4.1.3. რაჭა-ლეჩებუმი - ქვემო სვანეთის რეგიონის ატმოსფერული ნალექების ჯამები (მმ) ობილ პერიოდში

რეგიონის რაიონების მიხედვით სავეგეტაციო პერიოდისათვის მოგვყავ ატმოსფერული ნალექების უდიდესი - 10%-ით და უმცირესი - 90%-ით უზრუნველყოფები (მმ) თბილ პერიოდში (ცხრ. 4.1.2).

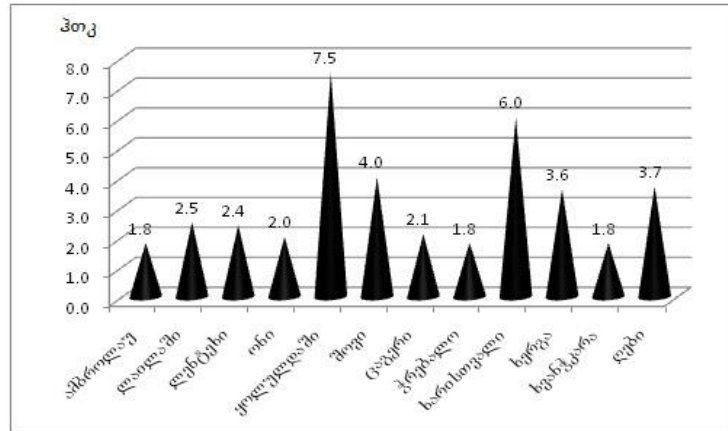
ცხრილი 4.1.2 ატმოსფერული ნალექებით (მმ) უზრუნველყოფა თბილ პერიოდში 10%-ით

მქონესადგური	თ ვ ე						
	IV	V	VI	VII	VIII	IX	X
ლაილაში	176	164	168	170	136	188	200
ონი	118	132	132	133	128	129	165
ეორულდაში	183	201	169	163	188	172	221
შოვი	154	180	169	162	192	147	215
ცაგერი	152	150	152	158	148	156	218
ჭრებალო	129	142	132	122	132	148	191
ხერგა	168	167	157	142	150	180	253
90%-ით							
ლაილაში	46	56	54	26	39	39	41
ონი	36	56	49	26	30	37	27
ეორულდაში	52	68	64	48	46	57	49
შოვი	44	63	69	42	45	52	49
ცაგერი	32	38	46	30	30	34	44
ჭრებალო	29	37	42	23	25	34	34
ხერგა	31	46	39	27	40	56	45

ცხრილში მოცემული მონაცემების ანალიზის მიხედვით, ატმოსფერული ნალექების უდიდესი - 10%-ით უზრუნველყოფა გაზაფხულზე (IV-V) ზღ. დონიდან 400-800 მ სიმაღლემდე საშუალოდ 118-152 მმ ფარგლებშია. ზაფხულში მცენარეთა აქტიური ვეგეტაციის პერიოდში (VI-VIII), რამდენადმე მატულობს 128-158 მმ (ონი, ცაგერი), თუმცა იგი ჭრებალოში ოდნავ მცირდება, ხოლო შემოდგომაზე ყველა ხსენებულ ადგილში აშკარად მეტია წინა ორ სეზონთან შედარებით (129-191 მმ). აღნიშნულ სიმაღლემდე ნალექების უმცირესი 90%-ით უზრუნველყოფა ზაფხულის სეზონზე ოდნავ მცირდება (ონი, ცაგერი, ჭრებალო და სხვა). მოცემული მაჩვენებლები არ იძლევა სრულ გარანტიას მოსავლის ნორმალური ფორმირებისათვის. ამიტომ, სასურველია კულტურების ტენით უზრუნველყოფა.

აღნიშნული ზონა ზღ. დონიდან 800-1200 მ სიმაღლემდე ნალექების უდიდესი - 10%-ით და უმცირესი - 90%-ით უკეთ არის უზრუნველყოფილი. აქ აგროკულტურები არ საჭიროებენ დამატებით მორწყვითი ღონისძიების ჩატარებას (ლაილაში, ხერგა და სხვა), თუმცა ცალკეულ წლებში (გვალვა), შეიძლება საჭირო გახდეს მოსავლის შენარჩუნებისათვის. 1200-2000 მ სიმაღლემდე და ზევით ზონა კიდევ უფრო უკეთესად არის უზრუნველყოფილი აღნიშნული რაოდენობის ნალექებით. აქ ხეხილოვანი, კენკროვანი, ხორბლეული, ბოსტნეული კულტურების, ასევე მეცხოველეობის ძირხვენა კულტურებისა და სათიბ-საძოვრების განვითარებისათვის სრულიად დამაკმაყოფილებელი პირობებია.

აქტიურ ტემპერატურათა ($>10^{\circ}\text{C}$) და ატმოსფერული ნალექების ჯამების საფუძველზე გამოთვლილი იქნა ჰიდროთერმული კოეფიციენტი (ჰთკ), რაც ნიადაგში წყლის ბალანსის მნიშვნელოვანი მაჩვენებელია (ნახაზი 4.1.4).

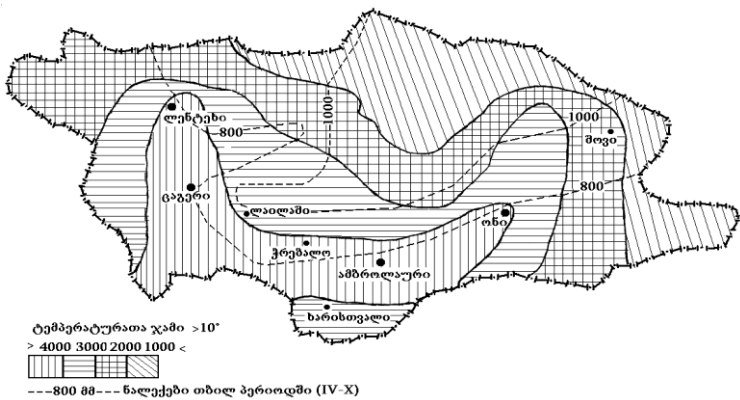


ნახ. 4.1.4 რაჭა-ლეჩხეუმი - ქვემო სვანეთის რეგიონის ჰიდროთერმული კოეფიციენტის მაჩვენებლები თბილ პერიოდში

მოცემული აგროკლიმატური მახასიათებლები რეგიონის ტერიტორიისათვის საკმაოდ ხელსაყრელია აგროკულტურების ნორმალური განვითარებისათვის, განსაკუთრებით ზღ. დონიდან 400-800 მ სიმაღლემდე. სადაც შესაძლებელია მარცვლეულის, ვაზის, ბოსტნეულის და სხვა კულტურების მაღალ დონეზე წარმოება. მოცემული სიმაღლის ზევით ტემპერატურის ჯამი მცირდება და ზოგიერთი კულტურის (ვაზი, ხეხილოვანი, ბალჩეული) გავრცელება რამდენადმე იზღუდება. თუმცა, ასეთ მაღალ პირობებში კარგად ვითარდება საშემოდგომო და საგაზაფხულო ხორბალი, ქერი, შვრია, ბოსტნეული და სხვა.

4.2 აბროკლიმატური ზონები

აგროკულტურების მაღალი მოსაფლის მიღება მნიშვნელოვანწილად არის დამოკიდებული აგროკლიმატური რესურსების ეფექტურად გამოყენებაზე. აქედან გამომდინარე, აგროფერმერულ და კერძო სექტორის მეურნეობებში კულტურების რენტაბელობისათვის საჭიროა მათი რაციონალურად განლაგება, აგროკლიმატური რესურსების მოთხოვნილების შესაბამისად. აღნიშნულთან დაკავშირებით, სავეგეტაციო პერიოდში აქტიური ($>10^{\circ}\text{C}$) ტემპერატურისა და ატმოსფერული ნალექების ჯამების გათვალისწინებით, შედგენილია რაჭა-ლეჩხეუმი - ქვემო სვანეთის რეგიონის აგროკლიმატური ზონების რუკა (ნახ. 4.2.1), სადაც გამოყოფილია 4 აგროკლიმატური ზონა.



ნახ. 4.2.1 რაჭა-ლეჩეუმი - ქვემო სვანეთის რეგიონის აგროკლიმატური ზონები:

I - ზონა მდებარეობს ზღ. დონიდან 400-800 მ სიმაღლემდე. აქტიურ ტემპერატურათა ჯამი 3000-3600°C და ცოტა მეტია. ატმოსფერული ნალექების ჯამი (მმ) ცივ პერიოდში (XI-XIII) შეადგენს 420-550 მმ, თბილ პერიოდში (IV-X) 630-750 მმ. ბოლო წაყინვების შეწყვეტა დაიკვირვება საშუალოდ 3-5.IV, პირველი წაყინვები დაიკვირვება 31.X-13.XI. უყინვო პერიოდის დღეთა რიცხვი საშუალოდ შეადგენს 199-222 დღეს.

მოცემული ზონის აგროკლიმატური რესურსები დანარჩენ ზონებთან შედარებით ყველაზე მეტად ხელსაყრელია მრავალფეროვანი აგროკულტურების განვითარებისა და წარმოებისათვის. აქ შესაძლებელია ხორბლის (საშემოდგომო, საგაზაფხულო), სიმინდის, ქერის, ვაზის, ხეხილოვანი, კივის (აქტინიდია), ბოსტნეული, ბაღჩეული კულტურების განვითარება და წარმოება. აღნიშნულ ზონაში ცაგერის რაიონის სოფელ ტვიშის მიდამოებში (400-500 მ სიმაღლემდე) შესაძლებელია მშრალი სუბტროპიკული კულტურების განვითარება (ლელვის, ბროწეულის, სუბტროპიკული ხურმის). ცალკეულ წლებში ზამთრის ძლიერი ყინვების (-18, -19°C) შემთხვევაში მათი დაუზიანებლობის ალბათობა (%) მცირეა. ამიტომ მათი გავრცელება გარკვეულ რისკებს უკავშირდება, თუმცა ეს კულტურები პერსპექტიული და სასარგებლო იქნება თუ ყინვების შემთხვევაში (-15, -16°C და მეტი) მათ მიმართ გატარდება ყინვებისაგან დაცვის სათანადო დონისძიებები.

II - ზონა ვრცელდება ზღ. დონიდან 800-1400 მ სიმაღლემდე. აქტიურ ტემპერატურათა ჯამი 2000-3000°C შეადგენს. ატმოსფერული ნალექები ცივ პერიოდში 550-800 მმ-მდეა, თბილ პერიოდში 800 მმ-დან 1300 მმ-მდე. ბოლო წაყინვები დაიკვირვება საშუალოდ 17.IV-5.V, პირველი წაყინვები 9.X-29.X. უყინვო პერიოდის ხანგრძლივობა შეადგენს საშუალოდ 155-193 დღეს.

ზონაში შესაძლებელია მარცვლეულის (საშემოდგომო, საგაზაფხულო ხორბალი), სიმინდის ვაზის (საადრეო ჯიში), ხეხილოვანი, ბოსტნეული და სხვა კულტურების განვითარება.

III - ზონა მოიცავს ზღ. დონიდან 1400-1800 მ სიმაღლემდე ტერიტორიას. აქტიურ ტემპერატურათა ჯამი შეადგენს 2000-1000°C. ატმოსფერული ნალექების ჯამი ცივ პერიოდში 500-550 მმ, თბილ პერიოდში 700-800 მმ. ბოლო წაყინვები დაკვირვება 6.V-20.V, პირველი წაყინვები 23.IX-8.X. უყინვო პერიოდის ხანგრძლივობა საშუალოდ შეადგენს 124-153 დღეს.

აღნიშნულ ზონაში შესაძლებელია მარცვლეულის (საშემოდგომო და საგაზაფხულო ხორბალის, ქერის, შვრიის), კარტოფილის, ბოსტნეული, კენკროვანი კულტურების,

ასევე მეცხოველეობის წენიანი საკვები ძირხვენების წარმოება და სათიბ-საძოვრების განვითარება.

IV - ზონა მდებარეობს ზღ. დონიდან 1800-2000 მ და მეტ სიმაღლემდე. აქტიურ ტემპერატურათა ჯამი 1000°-დან 600°C-მდეა. ცივ პერიოდში ნელექების რაოდენობა თითქმის იგივეა რაც III ზონაშია (550 მმ), ასევე ანალოგიურია იგი თბილ პერიოდშიც (800 მმ). ბოლო წაყინვები მოსალოდნელია საკმაოდ გვიან 21.V-27.V, ხოლო პირველი წაყინვები 15.IX-22.IX. უკინვო პერიოდის დღეთა რიცხვი აშკარად შემცირებულია (110-123 დღე).

ზონაში შესაძლებელია გავრცელებული იქნას პერსპექტიული ბოსტნეული და კენკროვანი კულტურები, რომლებიც გამოცდილია მაღალმთის პირობებში და იძლევიან მაღალხარისხოვან მოსავალს (უცხო სუნელი, ქინმი, ცერეცო, ანისა, ოხრახუში, ნიახური, კარტოფილი, შავი მოცხარი, უეპლო ცაცხვი და სხვა). პერსპექტიულია მეცხოველეობის წენიანი ძირხვენა საკვები კულტურის („კუშზიკუ”, „ესკო”) ფართოდ განვითარება, ასევე სათიბ-საძოვრების გაფართოება.

რაჭა-ლეჩხუმი - ქვემო სვანეთის რეგიონის აგროკლიმატური რესურსები ხელსაყრელია მრავალი სახის აგროკულტურის ზრდა-განვითარებისა და სასურველი მოსავლის მისაღებად. აქედან გამომდინარე, ზოგიერთი მათგანის სარეკომენდაციოდ მოყვანილია თესვისა და ძირითადი ფაზების დადგომის ვადები (ცხრ. 4.2.1).

ცხრილი 4.2.1 ერთწლიანი და მრავალწლიანი კულტურების ძირითად ფენოლოგიურ ფაზათა განვითარების დადგომის ვადები

რაიონი	კულტურა	ჯიში	თესვა	აღმოცენება	ყვავილობა	შიმწიფე (მოსაკრეფი)
ამბროლაური	საშ. ხორბალი	ბეზოსტაი-ია-1	ოქტომბრის III დეკ. დასაწ.	ნოემბრის I დეკადის ბოლო	მაისის III დეკ. ბოლო	ივლისის II დეკ. ბოლო
ამბროლაური	ლობიო	ჩიტის-კვერცხა	მაისის I დეკადის დასაწ.	მაისის II დეკადის ბოლო	ივნისის III დეკ. დასაწ.	ივლისის III დეკ. ბოლო
ონი	ლობიო	ადგილო-ბრივი წითელი	აპრილის III დეკ. დასაწ.	მაისის I დეკადის ბოლო	ივნისის III დეკ. დასაწ.	აგვისტ. I დეკ. დასაწ.
ამბროლაური	სიმინდი	აბაშური თეთრი	აპრილის III დეკ. ბოლო	მაისის II დეკადის ბოლო	ივლისის III დეკ. ბოლო	
ონი	პომიდორი	მაიაკი			ივნისის III დეკ. ბოლო	აგვისტ. II დეკ. ბოლო
ონი	კიტრი	ნეჟენსკი-12	აპრილის III დეკ. ბოლო	მაისის I დეკადის ბოლო	ივლისის I დეკ. დასაწ.	ივლისის III დეკ. ბოლო
რაიონი	კულტურა	ყვავილობა		ნაყოფების სიმწიფე		
ცაგერი	ვაშლი	მაისის I დეკ. ბოლო		სექტემბრის I დეკ. ბოლო		
ამბროლაური	ვაშლი	მაისის I დეკ. დასაწ.		ოქტომბრის I დეკ. დასაწ.		
ამბროლაური	ვაზი	ივნისის I დეკ. დასაწ.		სექტემბრის III დეკ. დასაწ.		
ჭრებალო	ვაზი	ივნისის I დეკ. დასაწ.		სექტემბრის III დეკ. დასაწ.		

4.3 აგროკულტურებისათვის ამინდის არახელსაყრელი მოვლენები

წაყინვები. რაჭა-ლეჩხეუმი - ზემო სვანეთის რეგიონში წაყინვები არ წარმოადგენს იშვიათობას, რაც მნიშვნელოვან ზარალს აყენებს აგრარულ სექტორს. განსაკუთრებით საშიშია გაზაფხულის გვიანი და შემოდგომის ნაადრევი წაყინვები, რომლებიც შეიძლება არც თუ ისე იშვიათად განმეორდეს.

გაზაფხულისა პერიოდში წაყინვები აზიანებს აგროკულტურების ნორჩ ფოთლებს, ყვავილებს, ბოსტნეული და ბაღჩეული კულტურების ჩითილებს, ხორბლის ჯეჯილს, ვაზის ნორჩ ფოთლებს, ყლორტებს, შემოდგომაზე - კარტოფილის ფოჩებსა და სხვა. ამიტომ მნიშვნელოვანია მოსალოდნელი წაყინვების გათვალისწინება, რისთვისაც გამოიყენება წაყინვების წინააღმდეგ ბრძოლის შესაბამისი ლონისძიებები.

გაზაფხულზე ჰაერის წაყინვები, ნიადაგის ზედაპირზე წაყინვებთან შედარებით შეიძლება შეწყდეს 7-10 დღით გვიან, ხოლო ზოგიერთ ადგილებში კიდევ უფრო გვიან (15 დღით). დაბლობებში წაყინვები ლია (გაშლილ) და შემაღლებულ ადგილებთან შედარებით გვიან წყდება.

ჰაერში გაზაფხულის და შემოდგომის წაყინვების ინტენსივობის ცვლილება დამოკიდებულია რელიეფზე. მაგალითად, მთის მწვერვალებზე და ზედა ფერდობების ნაწილზე წაყინვების ინტენსივობა იცვლება -2°C -მდე, ბორცვიან ადგილებში -1.5 , -4°C -მდე, მთების ხეობებში -2 , -5°C -მდე, ხოლო ქაბულ (ტაფობი) ადგილებში -4 , -6°C -მდე.

მოცემული რეგიონის ტერიტორიაზე ბოლო წაყინვების დადგომის თარიღები დაიკვირვება სხვადასხვა დროს. ზღვის დონიდან 400-800 მ სიმაღლემდე დაიკვირვება 5.IV-15.IV-მდე; ჭრებალოში 5.IV, ცაგერში 6.IV, ამბროლაურში 7.IV, ლენტები 15.IV; 800-1200 მ სიმაღლემდე დაიკვირვება 16.IV-29.IV-მდე, ლაილაში 16.IV, ხარისთვალში 29.IV; 1200-1600 მ სიმაღლემდე დაიკვირვება 30.IV-13.V-მდე; შოვში 30.IV, ხერგაში 13.V. აღნიშნული სიმაღლის (1600 მ) ზეგით წაყინვები მოსალოდნელია კიდევ უფრო გვიან, მაისის II დეკადის ბოლოს 19.V (ყორულდაში).

პირველი წაყინვები 400-800 მ სიმაღლემდე დაიკვირვება 22.X-6.XI-მდე, 800-1200 მ სიმაღლემდე 6.X-4.XI-მდე, ლაილაში 4.XI, ხარისთვალში 6.X; 1200-1600 მ სიმაღლემდე 30.IX-5.X-მდე; ხერგაში 30.IX, შოვში 5.X; 1600 მ სიმაღლის ზეგით 27.IX (ყორულდაში).

რეგიონში ძირითადად დაიკვირვება რადიაციული (ადგილობრივი) ტიპის წაყინვები, რომელიც ხანმოკლეა (1-2 დღე), იშვიათად გრძელდება 3-4 დღე და მოიცავს მცირე ტერიტორიას. ასევე, დაიკვირვება შემოჭრილი ცივი ჰაერის მასა - ადგექციური და რადიაციული ტიპის წაყინვები 2 დღემდე, იშვიათად 3-4 დღე.

რაჭა-ლეჩხეუმი - ქვემო სვანეთის რეგიონის ტერიტორიაზე უყინვო პერიოდის ხანგრძლივობა (დღე) დამაკმაყოფილებელია. ზღ. დონიდან 400 მ სიმაღლიდან 800 მ-

მდე იგი საშუალოდ შეადგენს 218-189 დღეს, ჭრებალოში 214 დღეს, ცაგერში 209 დღეს, ლენტებში 189 დღეს, ამბროლაურში 218 დღეს, ონში 206 დღეს; 800-1200 მ სიმაღლეში 208-140 დღეს; ლაილაში 208 დღეს, ხარისხთვალში 147 დღეს, ხერგაში 140 დღეს; 1200-1600 მ სიმაღლეში იგი რამდენადმე მცირდება (130 დღე, ყორულდაში).

ვერტიკალური ზონალობის მიხედვით, უყინვო პერიოდის დღეთა რიცხვის ხანგრძლივობიდან გამომდინარე, შეზღუდულია ზოგიერთი კულტურის განვითარება. კერძოდ, მშრალი სუბტროპიკული კულტურებისათვის - ლედვი, ბროწეული, ზღ. დონიდან 600 მ სიმაღლეში ვაზის (ჯიშების მიხედვით) 800-1000 მ სიმაღლეში.

მოცემული რეგიონის ტერიტორიაზე ზღ. დონიდან სიმაღლის მიხედვით წაყინვების თარიღების დადგომის განსაზღვრისათვის შედგენილია რეგრესიის განტოლებები:

$$n = 0,0351h + 46,17 \quad (1)$$

ბოლო წაყინვისათვის,

$$n = -0,0380h + 91,2 \quad (2)$$

პირველი წაყინვისათვის,

განტოლებებში n - წაყინვის თარიღია (ანუ დღეთა რიცხვი 1 - თებერვლიდან ბოლო წაყინვის დადგომის თარიღამდე, ხოლო 1 - სექტემბრიდან პირველი წაყინვის დადგომის თარიღამდე), h - ადგილის სიმაღლე ზღ. დონიდან (მ). ბოლო წაყინვების განტოლების ცდომილება $S_{\pm 7}$ დღეა, ხოლო პირველი წაყინვების $S_{\pm 9}$ დღე (ზღ. დონიდან სიმაღლეებს და წაყინვების თარიღებს შორის კორელაციური კავშირი შეადგენს $r=0.90$ ბოლო წაყინვის, $r=0.86$ პირველი წაყინვის).

მოცემული განტოლებების გამოყენებით სოფლის მეურნეობის სპეციალისტები, კერძო აგროსექტორის ფერმერები შეძლებენ ზღ. დონიდან მოცემული ტერიტორიის ნებისმიერ სიმაღლეზე წაყინვების თარიღების დადგენას.

უყინვო პერიოდის ხანგრძლივობის (დღე) განსაზღვრისათვის შედგენილია შესაბამისი რეგრესიის განტოლება:

$$n = -0,0727h + 255 \quad (3)$$

განტოლების შედგენამდე გამოვლენილი იქნა მჟიდრო კორელაციური დამოკიდებულება, ზღ. დონიდან სიმაღლესა და უყინვო პერიოდის ხანგრძლივობას (დღე) შორის ($r=0.88$).

განტოლებაში n - უყინვო პერიოდის ხანგრძლივობაა (დღე), h - ადგილის სიმაღლე ზღ. დონიდან (მ). განტოლების ცდომილებაა $S_{\pm 16}$ დღე. განტოლებით, ნებისმიერ ადგილზე ზღ. დონიდან სიმაღლის ცოდნის შემთხვევაში, შეიძლება განისაზღვროს უყინვო პერიოდის ხანგრძლივობა (დღე).

თოვლი და ხეზება. ზამთარში ატმოსფერული ნალექების სახეებიდან, მყარ ნალექს წარმოადგენს თოვლი. მისი პოტენციალი მრავალმხრივია მდინარეების, ტბების და სხვა რესურსების უზრუნველყოფაში. თოვლის საფარი, განსაკუთრებით მკაცრი ზამთრის პირობებში, ძლიერი გაყინვისაგან იცავს ნიადაგის ზედაპირს და მის სიღრმეს -20, -25°C და მეტი ტემპერატურის შემთხვევაში. ასევე, საშემოდგომო კულტურებს (ხორბალი, შვრია, ქერი, ზოგიერთი ბოსტნეული კულტურა და სხვა), რის შედეგად ისინი იზამთრებენ დამაკმაყოფილებლად. აღნიშნულთან დაკავშირებით, რაჭა-ლეჩხუმი - ქვემო სვანეთის რეგიონის ტერიტორიისათვის მოგვავს მრავალწლიური მეტეოროლოგიური დაკვირვებათა მონაცემები თოვლის საფარის სხვადასხვა ფიზიკურ მდგომარეობაზე (ცხრ. 4.3.1).

ცხრილი 4.3.1 თოვლის საფარის გაჩენის, მდგრადი თოვლის საფარის წარმოქმნის, დაშლის და დნობის საშუალო თარიღები

მეტეო- სადგური	თოვლის საფარის დღეთა რიცხვი	თოვლის საფარის გაჩენა	მდგრადი თოვლის საფარის წარმოქმნა	მდგრადი თოვლის საფარის დაშლა (რდგევა)	თოვლის საფარის
ამბროლაური	53	11.XII			21.III
ლენტები	80	5.XII	20.XII	25.III	28.III
ლაილაში	72	8.XII	6.I	16.III	2.IV
ონი	71	26.XI	21.XII	2.III	29.III
შოვი	138	1.XI	4.XII	11.IV	23.IV
ცაგერი	54	15.XII	6.I	16.III	2.IV
ჭრებალო	40	19.XII			18.III
ყორულდაში	170	22.X	26.XI	2.V	5.V
ღები	127	16.XI	7.XII	9.IV	19.IV
ხერგა	127	13.XI	15.XII	7.IV	18.IV

ცხრილის მონაცემების მიხედვით, ზღ. დონიდან 400-800 მ სიმაღლემდე თოვლის საფარის ხანგრძლივობის დღეთა რიცხვი დაიკვირვება 40 დღიდან 80 დღემდე (ჭრებალო, ამბროლაური, ცაგერი, ონი, ლენტები); 800-1200 მ სიმაღლემდე 80-127 დღა (ლაილაში, ხერგა და სხვა); 1200-1600 მ-მდე 127-138 დღე (შოვი და სხვა); 1600-2000 მ-მდე და ზევით 140-170 დღე და მეტი (ყორულდაში და სხვა).

თოვლის საფარის ხანგრძლივობის დღეთა რიცხვი ზღ. დონიდან სიმაღლის მიხედვით კანონზომიერად მატულობს. ყველაზე ნაკლებია რეგიონის დაბალ ზონაში (400-800 მ ზღ. დონიდან), ხოლო ყველაზე მეტია მაღალ ზონაში (800 მ და ზევით), რომლის ხანგრძლივობა 2-3 თვეს აღემატება დაბალ ზონასთან შედარებით. ასევე, კანონზომიერად ხდება თოვლის საფარის გამოჩენა. მაგალითად, იგი გვიან დაიკვირვება 26.XI-დან 19.XII-მდე 400-800 მ სიმაღლემდე (ონი, ლენტები, ამბროლაური, ცაგერი, ჭრებალო), ადრე დაიკვირვება 22.X-დან 16.XI-მდე 800 მ და ზევით (ყორულდაში, შოვი, ხერგა, ღები და სხვა). აღნიშნული სიმაღლეების შესაბამისად, ასევე გვიან და ადრე დაიკვირვება მდგრადი თოვლის საფარის წარმოქმნა და მისი დნობა-გაქრობა. მდგრადი თოვლის საფარის წარმოქმნიდან (400-800 მ სიმაღლემდე) მისი დნობა-გაქრობის დაწყებამდე გრძელდება დაახლოებით 3 თვე (ამბროლაური, ცაგერი, ლენტები, ონი, ლაილაში), ხოლო აღნიშნული სიმაღლის ზევით (1600 მ და მეტი) 4-5 თვემდე (ღები, ხერგა, შოვი, ყორულდაში). მაშასადამე, დაბალ ზონაში, გაზაფხულზე ადრეა შესაძლებელი სასოფლო-სამეურნეო სამუშაოების ჩატარება, ხოლო შემოდგომაზე - გვიანამდე, მაღალ ზონასთან შედარებით.

თოვლის საფარის საშუალო დეკადური სიმაღლე რეგიონის ტერიტორიაზე ყველაზე მეტი დაიკვირვება ძირითადად იანვრის III დეკადიდან თებერვლის III დეკადის ჩათვლით, ხოლო ყორულდაში, როგორც ყველაზე მაღალი ზონა დაიკვირვება მარტის ბოლომდე.

მდგრადი თოვლის საფარის სიმაღლეების განსაზღვრიდან გამოირგვა, რომ, რომ იგი ამბროლაურში დაიკვირვება საშუალოდ 24 სმ, ლენტებში 46 სმ, ონში 48 სმ, ცაგერში 31 სმ. მდგრადი თოვლის საფარის სიმაღლე, მოცემულ რაიონებში კარგად უზრუნველყოფს საშემოდგომო კულტურების გამოზამთრებას -20 , -25°C და ოდნავ მეტი ჰაერის ტემპერატურის დროს.

სეტყვა. სეტყვა აგრარული სექტორისათვის საშიშ მეტეოროლოგიურ მოვლენას წარმოადგენს, რომლის შედეგად ნადგურდება მოსაგლის მნიშვნელოვანი ნაწილი. იგი განსაკუთრებით გაზაფხულზე აზიანებს აგროკულტურების ფოთლებს, ყვავილებს, ნასკვებს, ჩითილებს და სხვა. შემოდგომაზე აზიანებს კარტოფილის მიწისზედა ნაწილებს, ნაყოფებს სიმწიფის პერიოდში და სხვა. რითაც ეკონომიკური თვალსაზრისით დიდი ზარალი ადგება აგრარულ სექტორს.

რაჭა-ლეჩხეუმი - ქვემო სვანეთის რეგიონის ტერიტორიაზე სეტყვის მოვლენა, არც თუ ისე ხშირად აღინიშნება და იგი ნაკლებად ინტენსიური ხასიათისაა. სეტყვა ძირითადად დაიკვირვება თბილ პერიოდში, აპრილიდან ოქტომბრის ჩათვლით. სავეგეტაციო პერიოდში (IV-X) სეტყვიან დღეთა რიცხვი, თვეების მიხედვით

საშუალოდ შეადგენს 0.07-1.1 დღეს. ყველაზე მეტი შემთხვევა დაიკვირვება გაზაფხულზე მაისის თვეში და ზაფხულის დასაწყისში (ივნისი). რეგიონში სეტემბერისაგან აგროკულტურების დაზიანება იშვიათად არის მოსალოდნელი.

გვალვა - არახელსაყრელი მეტეოროლოგიური მოვლენაა სოფლის მეურნეობისათვის. იგი განსაკუთრებით მცენარეთა აქტიური ვეგეტაციის პერიოდში (ზაფხული) იშვიათი, მცირე ატმოსფერული ნალექების დროს (5 მმ-დე) და გახანგრძლივებული (30 და მეტი დღე) მაღალი ჰაერის ტემპერატურისას ($24-25^{\circ}\text{C}$ და მეტი) ჰაერში და ნიადაგში ქმნის ტენის დეფიციტს, რაც დამდუპველად მოქმედებს ერთწლიან კულტურებზე (ხორბალი, სიმინდი, ბოსტნეული და სხვა), რადგან ნიადაგში მათი ფესვთა სისტემის განლაგების ფენაში (20-30 სმ და ოდნავ მეტი) საკმარისი არ არის ტენის მარაგი. ასეთ პირობებში, გვალვის გახანგრძლივებისას მრავალწლიანი კულტურების განვითარება აშკარად ფერხდება და არ არის გამორიცხული მოსავლის 50-60%-ით შემცირება. ამიტომ, გარდაუვალია კულტურების ქვეშ ნიადაგის მორწყვა, გაფხვიერება, სარეველა მცენარეებისაგან განთავისუფლება მოსავალის გადასარჩენად.

რეგიონის ტერიტორიის ტენით უზრუნველყოფის შეფასება შესაძლებელია პიდროთერმული კოეფიციენტით (ჰთკ). აღნიშნული სიდიდე მიღებულია ტენის პირობით ბალანსად, რომელიც წარმოადგენს მოსული ატმოსფერული ნალექების ჯამის (მმ) შეფარდებას აორთქლებასთან, ჰაერის დღედამური საშუალო ტემპერატურის 10°C -იან პერიოდში. პიდროთერმული კოეფიციენტის მიხედვით, როცა იგი 1-ის ტოლია გვალვის პროცესი დაწყებულია. ასეთ შემთხვევაში, მოსული ნალექების ჯამი ორთქლდება და უტოლდება აორთქლებული წყლის რაოდენობას, ამიტომ მცენარე სრულფასოვნად ვერ იყენებს ატმოსფერულ ნალექს.

მნიშვნელოვანია გვალვიანობის სხვადასხვა მაჩვენებლების (ინდექსების) განსაზღვრა, პიდროთერმული კოეფიციენტის მიხედვით. აღნიშნულთან დაკავშირებით, ტენის მინიმალური ბალანსის მაჩვენებელი სიმინდის და ხორბლის კულტურისათვის შეადგენს 0.5, ხოთსა და ლობიოსათვის - 0.7-0.8, ვაზისათვის - 0.3, ლელვისა და ბროწეულისათვის - 0.2-0.3, კივისათვის (აქტინიდია) - 1.0 (მითითებული მინიმალური ბალანსის ქვევით მათი განვითარება წყდება). მოცემული კულტურები გვალვიანობის მაჩვენებლებით და მის მიმართ ამტანობით განსხვავდებიან ერთმანეთისაგან. აქედან გამომდინარე, აღნიშნული ტენის მინიმალური ბალანსის მაჩვენებლების მიხედვით, მათ მიმართ უნდა გატარდეს შესაბამისი ღონისძიებები ნიადაგში ტენის რაოდენობის გადიდებისათვის.

რაჭა-ლეჩხეუმი - ქვემო სვანეთის ტერიტორიაზე ზღ. დონიდან 400-800 მ სიმაღლემდე ზაფხულის ვეგეტაციის დროს (VII-VIII) პიდროთერმული კოეფიციენტი

რამდენადმე დამაკმაყოფილებელია, იგი 0.5-0.7-ის ფარგლებშია (ამბროლაური, ონი, ცაგერი). თუმცა, ცალკეულ წლებში ნალექების ნაკლებობისას აგროკულტურები (ძირითადად ერთწლიანი) საჭიროებენ ნიადაგის ტენით უზრუნველყოფას მოსავლის შენარჩუნებისათვის. პიდროთერმული კოეფიციენტი 800-1200 მ სიმაღლემდე უფრო მეტია (0.7-0.9) იმავე პერიოდთან შედარებით (ლაილაში, ხერგა და სხვა). ასეთ პირობებში ერთწლიანი კულტურები ცალკეულ წლებში, სასურველი მოსავლის მისაღებად ზაფხულში (VII-VIII) ნალექების სიმცირისას საჭიროებენ ტენით უზრუნველყოფისათვის დამატებით დონისძიებას. აღნიშნული სიმაღლის ზევით 1200 მ და მეტზე პთკ თითქმის ორმაგი და მეტია, ამიტომ ყველა სახის აგროკულტურები არ საჭიროებენ მელიორაციულ დონისძიებებს.

ხორშაკი (ქარშოშინი) - წარმოადგენს გვალვას, მხოლოდ მეტად გამძაფრებული ჰაერის ტენიანობის დიდი დეფიციტის შემთხვევაში, ამიტომ მას ატმოსფერულ გვალვას უწოდებენ. ხორშაკის მოვლენისას მცენარეები ძალიან სწრაფად განიცდიან ნიადაგში ტენის ნაკლებობას, რადგან მცენარეებიდან მიმდინარეობს გაძლიერებული ტრანსპირაცია ჰაერში ტენის დეფიციტის გამო.

რეგიონის ტერიტორიისათვის ზღ. დონიდან 400-800 მ სიმაღლემდე მოგვყავს ხორშაკის სხვადასხვა ტიპის მრავალწლიური მეტეოროლოგიური დაკვირვებათა მონაცემები (ცხრ. 4.3.2).

ცხრილი 4.3.2 ხორშაკის ინტენსივობის ალბათობა თბილ პერიოდში (IV-X)

მეტეო- სადგური	ხორშაკის ტიპი	საშუალო დღეთა რიცხვი			ალბათობა , %
		საშუა- ლო	ყველაზე მეტი	ყველაზე ნაკლები	
ამბროლაური	სუსტი	42.4	61	16	100
	საშ. ინტენს.	11.7	26	1	100
	ინტენსიური	1.9	5	0	85
	ძლიერ				
	ინტენ.	0.6	4	0	33

ცხრილის ანალიზიდან გამოდინარე, რეგიონში ცალკეულ წლებში შესაძლებელია სუსტი ხორშაკის მოვლენა საშუალოდ 42 დღე, ხოლო საშუალო ინტენსიური 12 დღე აღნიშნული ხორშაკის ტიპები არ იქნება აგროკულტურებისათვის დამაზიანებელი, თუ დროულად მოხდება ნიადაგის მორწყვა (1 ან 2-ჯერ), გაფხვიერება. ეს დონისძიებები უნდა ჩატარდეს ონის, ცაგერის და ლენტების რაიონებში, მოსავლის უდანაკარგოდ მიღების მიზნით. სუსტი ხორშაკის შემთხვევაში, რასაც ზოგჯერ აღგილი აქვს

რეგიონში, თუ ნიადაგში (0-20 სმ), პროდუქტიული ტენის როდენობა 20-30 მმ-დღე იქნება აგროკულტურები 5 დღის განმავლობაში შეიძლება არ დაზიანდეს. როცა ნიადაგის ფენებში (0.5-1.0მ) პროდუქტიული ტენი 50 მმ-დან 100 მმ-დღეა (შესაბამისად), საშუალო ინტენსივობის ხორშაკი ვერ აზიანებს მათ 4 დღის განმავლობაში, ინტენსიური - 3 დღის განმავლობაში, ხოლო ძლიერ ინტენსიური - 1-2 დღის განმავლობაში.

ქარი - რეგიონის ტერიტორიაზე საკმაოდ ხშირად დაიკვირვება. იგი განსაკუთრებით გაზაფხულზე დიდ როლს ასრულებს მცენარეთა ყვავილობის პერიოდში. ზომიერი ქარი (4-5 მ/წმ) ხელს უწყობს მათ დამტვერვას. ზოგჯერ ძლიერი ქარები (≥ 15 მ/წმ) მცენარეთა ვეგეტაციის ნებისმიერ ფაზაში უარყოფითად მოქმედებს მათ განვითარებასა და მოსავალზე. თუმცა, რეგიონში ასეთი ქარები არც ისე ხშირია. ცხრილი 4.3.3 მოცემულია რეგიონისათვის დამახასიათებელი ძლიერ ქარიან (≥ 15 მ/წმ) დღეთა რიცხვი თბილ პერიოდში.

ცხრილი 4.3.3 ძლიერი ქარით (≥ 15 მ/წმ) საშუალო დღეთა რიცხვი თბილ პერიოდში

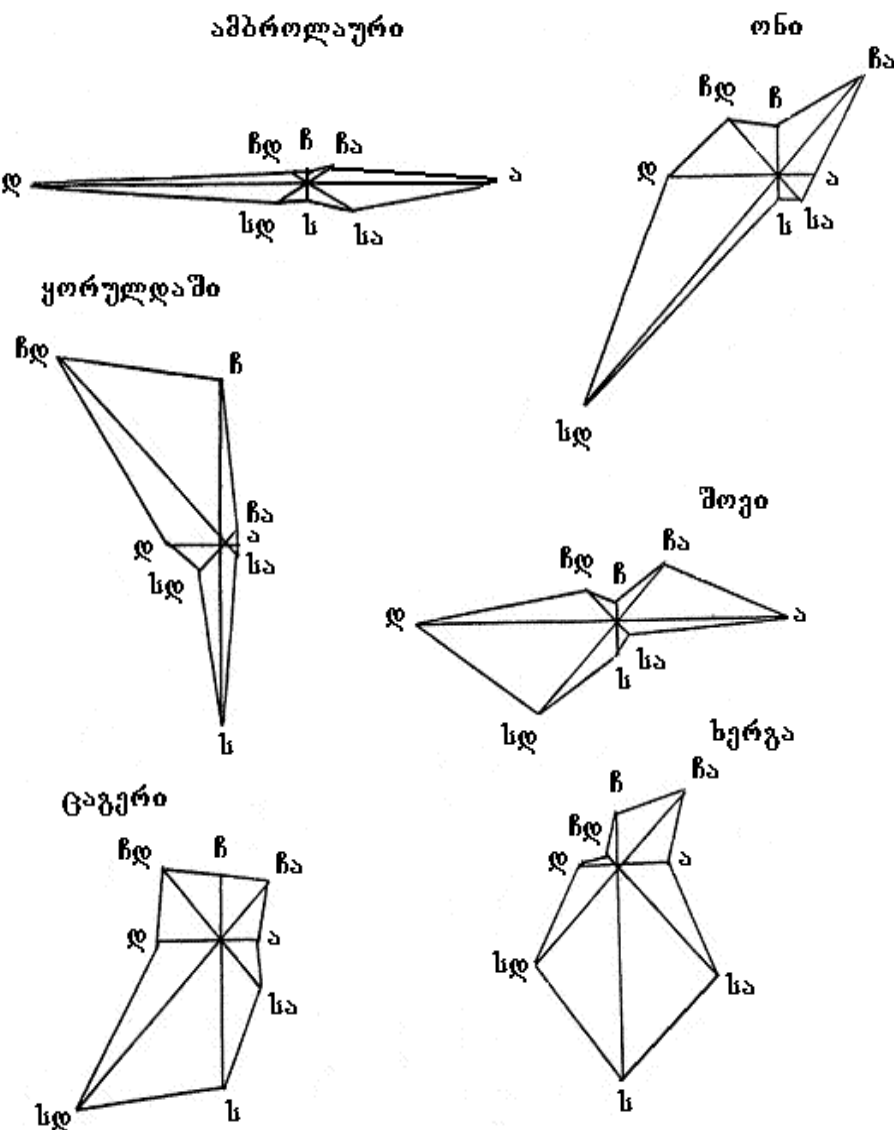
მეტეო- სადგური	IV	V	VI	VII	VIII	IX	X	დღეთა რიცხვი
ამბოლაური	1.1	0.8	0.5	0.2	0.1	0.04	0.5	3
ყორულდაში	0.1	0.06	0.2	0.05	0.4	0.2	0.0	1
შოვი	0.03	0.03	0.0	0.0	0.0	0.0	0.04	0.1
ცაგერი	1.3	1.0	1.0	0.3	0.7	0.2	0.3	5
ჭრებალო	0.08	0.08	0.0	0.0	0.0	0.0	0.0	0.2
ხერგა	0.9	0.4	0.2	0.2	0.5	0.2	0.08	2

ცხრილის მიხედვით, ყველაზე მეტი ძლიერ ქარიან დღეთა რიცხვი დაიკვირვება გაზაფხულზე. მაშასადამე, ზაფხულში მცენარეთა აქტიური ვეგეტაციის პერიოდში (VI-VIII) ძლიერი ქარებით საშუალო დღეთა რიცხვი მცირდება ამბოლაურში, ცაგერში, ხერგაში და ყორულდაში, ხოლო იგი არ დაიკვირვება ჭრებალოსა და შოვში. სავეგეტაციო პერიოდში, ზემოაღნიშნულ ტერიტორიებზე ძლიერ ქარიან დღეთა რიცხვი საშუალოდ 0.1-დან 5 დღემდე. 0.1-დან 1.0 დღემდე ასეთი ქარები არახელსაყრელია, რაღაც შესაძლებელია მისმა მოქმედებამ აგროკულტურებს გააცვინოს ყვავილების 30-40% და მეტი, ნაყოფები 40-50% და მეტი, თუ ისინი დაცული არ იქნებიან ქარებისაგან. აღნიშნულმა ქარებმა შეიძლება გამოიწვიოს ნიადაგიდან 10-15% და მეტი ტენის აორთქლება. ამიტომ, ვეგეტაციის პერიოდში ასეთი ქარების გახანგრძლივების (1-2 დღით) შემდეგ სასურველია ნიადაგის გაფხვიერება-გულტივაცია.

სავეგეტაციო პერიოდში, უდიდესი ძლიერ ქარიან დღეთა რიცხვი ამბროლაურში დაიკვირვება 15 დღე, ცაგერში - 28, ჭრებალოში - 3, ხერგაში - 20, შოვში - 3 და ყორულდაში - 9 დღე. ეს მონაცემები საშუალო მაჩვენებლებია, მაგრამ მიუხედავად ამისა, ქარების შესუსტებისათვის მიზანშეწონილია ქარსაფარი ზოლების შექმნა, განსაკუთრებით იქ სადაც ყველაზე მეტი ძლიერ ქარიან დღეთა რიცხვი - 15 და მეტი დაიკვირვება (ამბროლაური, ცაგერი, ხერგა და სხვა).

ქარებს ტერიტორიის ოროგრაფიული თავისებურებებიდან გამომდინარე, სხვადასხვა მიმართულებით მოძრაობა ახასიათებთ. ამიტომ, რეგიონის ტერიტორიაზე სოფლის მეურნეობის მუშაკებმა, ფერმერებმა და კერძო სექტორის მიწათმოქმედებმა უნდა გაითვალისწინონ გაბატონებული ქარების მიმართულების განმეორადობა რაიონების მიხედვით.

აღნიშნულთან დაკავშირებით, მოცემულია გაბატონებული ქარების მიმართულების განმეორადობა (%) (ნახ. 4.3.1).



ნახ. 4.3.1 გაბატონებული ქარების მიმართულებების განმეორადობა (%) თბილ პერიოდში

ნახაზიდან ნათლად ჩანს, რომ ამბოლაურში და შოვში გაბატონებულია დასავლეთის და ადმოსავლეთის ქარები, ონში ძირითადად სამხრეთ-დასავლეთის, ყორულდაში (ლენტები) ჩრდილო-დასავლეთის და სამხრეთის, ცაგერში სამხრეთ დასავლეთის და სამხრეთის, ხერგაში ძირითადად სამხრეთის ქარია გაბატონებული.

მოცემული გაბატონებული ქარების მიმართულებების განმეორადობა (%) გასათვალისწინებელია ქარსაფარი ზოლების გაშენებისას. მათი გათვალისწინება არსებითად შეამცირებს ქარების ზემოქმედებას აგროკულტურებზე და შექმნის ხელსაყრელ მიკროკლიმატურ პირობებს კულტურების ნორმალური განვითარებისა და მაღალი პროდუქტიულობისათვის.

4.4 აგრომეტეოროლოგიური პროგნოზები

აგრომეტეოროლოგიური პროგნოზების მეთოდები ძირითადად დამყარებულია აგრომეტეოროლოგიური პირობების აღრიცხვაზე და აგროკულტურების მდგომარეობის მაჩვენებლებზე, რომლებიც არსებით გავლენას ახდენენ მოცემული კულტურების განვითარებაზე. ასეთია, ნიადაგის ტენიანობა, ჰაერის ტემპერატურისა და ატმოსფერული ნალექების ჯამი (მმ), ≥ 5.0 მმ და ≥ 10.0 მმ ნალექებით დღეთა რიცხვი, მცენარეების ფენოფაზათა დადგომის ვადები, მცენარეთა სიმაღლე (სმ) და სხვა. აღნიშნული ფაქტორების (პრედიქტორების) მიხედვით, დამუშავებულია მეტეოროლოგიურ და აგრომეტეოროლოგიურ დაკვირვებათა მონაცემები, მოსავალთან ერთად. დამუშავების შედეგად გამოვლენილია მჭიდრო კორელაციური კავშირი და შედგენილია რეგრესიის საპროგნოზო განტოლება საშემოდგომო ხორბლის კულტურისათვის. მოგვყავს რაჭა-ლეჩხუმი - ქვემო სვანეთის რეგიონში საშემოდგომო ხორბლის მწარმოებელი რაიონებისათვის აღნიშნული განტოლება:

$$U = -4,017x + 0,939y + 9,164z - 85,366 \quad (1)$$

განტოლებაში U - საპროგნოზო მოსავალია (ტ/კა), x - ატმოსფერული ნალექების ჯამი (მმ) IV-V თვეებში, y - ≥ 5.0 მმ ატმოსფერული ნალექების დღეთა რიცხვი (იმავე პერიოდში), z - მცენარეთა საშუალო სიმაღლე (სმ) 1მ^2 -დან, რომელიც გაიზომება მაისის ბოლოს. აღნიშნულ ფაქტორებზე მონაცემების აღება ემთხვევა საშემოდგომო ხორბლის კულტურის მილში გამოსვლის ფაზიდან ყვავილობის ფაზამდე პერიოდს. განტოლების დასაშვები ცდომილება შეადგენს $S_u \pm 0.22$ ტ/კა . პროგნოზი შედგება ივნისის პირველ პერიოდში, მისი წინასწარობა 1.5-2 თვეა.

მოცემულ რაიონში მითითებული კულტურის მოსავლის პროგნოზის შედგენისათვის, საჭიროა ინფორმაცია პრედიქტორებზე, რაიონის მეტეოროლოგიური სადგურიდან ან საგუშაგოდან. მიღებული მონაცემების განტოლებაში ჩასმით და სათანადო გაანგარიშებით მიიღება საპროგნოზო მოსავალი ტ/ჰა.

მოცემული რეგიონისათვის მოგვყავს ასევე ვაზის კულტურის („ცოლიკაური“) მტევნის მარცვლების სიმწიფის თარიღის განსაზღვრის განტოლება:

$$y = -1,23x + 175 \quad (2)$$

მოცემულ განტოლებაში y - სიმწიფის დაწყების თარიღია, x - დღეთა რიცხვი 20 მარტიდან კვირტების გაშლამდე.

მაგალითისათვის. ამბოლაურის რაიონისათვის განტოლების (2) გამოყენებით პროგნოზის შედგენისას, დაუშვათ კვირტების გაშლა აღინიშნა 25 აპრილს. ე.ი. მოცემულ რაიონში დღეთა რიცხვი 20 მარტიდან 25 აპრილამდე იქნება 36. ამ რიცხვის ჩასმით შესაბამის განტოლებაში (2) და სათანადო გაანგარიშებით მიიღება: $y = -1.23 * 36 + 175 = 131$ დღეს. ე.ი. მოსალოდნელი საპროგნოზო ხანგრძლივობის პერიოდი ვაზის კვირტების გახსნიდან მტევნის მარცვლების სიმწიფემდე შეადგენს 131 დღეს, რომელიც გადაითვლება 25.IV-დან (კვირტების გახსნიდან) და სიმწიფის თარიღი იქნება 3 სექტემბერი.

სოფლის მეურნეობის მუშაკებისა და ფერმერებისათვის მნიშვნელოვანია აგრეთვე, ზამთრის ყინვების პროგნოზირების მეთოდი მევენახეობისა და მეხილეობის რაიონებისათვის. მეთოდს საფუძვლად უდევს საკმაოდ მჭიდრო კორელაციური კაგშირი - ზამთრის აბსოლუტურ მინიმალურ ტემპერატურას, შემოდგომაზე ჰაერის დღედამური საშუალო ტემპერატურის 5°C -ზე ქვევით გადასვლის თარიღსა და ოქტომბრის თვის აბსოლუტურ მინიმალურ ტემპერატურას შორის. მოგვყავს რეგიონისათვის საპროგნოზო განტოლება:

$$U = 0,38x + 0,26y - 24,6 \quad (3)$$

განტოლებაში U - ზამთრის მოსალოდნელი (საპროგნოზო) აბსოლუტური მინიმალური ტემპერატურა, x - ოქტომბრის თვის აბსოლუტური მინიმალური ტემპერატურა, y - ჰაერის საშუალო დღედამური ტემპერატურის გადასვლა 5°C -ზე ქვევით, რომელიც იწყება 20 ოქტომბრიდან.

პროგნოზის შედგენის წესი. დაუშვათ, ლენტების რაიონში ოქტომბრის თვის აბსოლუტურმა მინიმალურმა ტემპერატურამ შეადგინა 1.5°C (x), ჰაერის საშუალო დღედამური ტემპერატურა 5°C -ზე ქვევით გადავიდა 10 ნოემბერს, ე.ი. 20 ოქტომბრიდან

10 ნოემბრის ჩათვლით დღეთა რიცხვი იქნება 21 (y). აღნიშნული მონაცემების განტოლებაში (3) ჩასმით და სათანადო გაანგარიშებით მიიღება: $U=0.38*1.5+0.26*21-24.6=-18.6$ ანუ დაახლოებით -19°C .

მაშასადამე, მიღებულ ზამთრის მოსალოდნელ აბსოლუტურ ტემპერატურას (-19°C) შეუძლია ძლიერ დაზიანოს (ფესვის ყელამდე) ვაზის კულტურა. ანალოგიურად, შეიძლება განისაზღვროს დამაზიანებელი ტემპერატურა რეგიონის სხვა რაიონებისათვის. იმ შემთხვევაში, თუ პროგნოზით ტემპერატურა კრიტიკული (დამაზიანებელი) აღმოჩნდება ვაზისა და სხვა კულტურებისათვის, მაშინ საჭირო იქნება ყინვებისაგან დაცვის მეთოდების გამოყენება (მცენარის შტამბზე მიწის შემოყრა 25-30 სმ-მდე, კვამლის ფენის შექმნა და სხვა).

პროგნოზების მაღალი გამართლების პროცენტი დამოკიდებულია პრედიქტორების სწორ ინფორმაციაზე, აგრეთვე აგროკულტურებისათვის აგროტექნიკური დონისძიებების დროულად ჩატარებაზე.

თავი V. ამინდის საშიში მოვლენები

5.1. ძლიერი ქარები

ძლიერი ქარების ($V \geq 15\text{მ}/\text{წ}$) დროში და სივრცეში ცვლილებების და რეჟიმული მახასიათებლების დადგენის მიზნით დაკვირვებები ტარდება რელიეფის სხვადასხვა ელემენტებზე (ხეობებში, ფერდობებზე, მწვერვალებზე, ღია უღელტეხილებზე და სხვ.). რაჭა-ლექჩეუმის რეგიონში ძლიერი ქარების დასახასიათებლად გამოყენებული იქნა აქ არსებულ მეტეოსადგურებზე ქარების მიმართულებასა და სიჩქარეზე 70 წლის ხანგრძლივობის დაკვირვებების მასალები.

ძლიერ ქარებზე დაკვირვებების ინფორმაციის ანალიზის შედეგად მუშავდება სპეციალური რეკომენდაციები, რომლებსაც დიდი პრაქტიკული მნიშვნელობა აქვს სახალხო მეურნეობის რიგ დარგებისათვის (ქარისმიერი დატვირთვის პარამეტრების მაქსიმალური სიდიდის გაანგარიშება ინფრასტრუქტურის სხვადასხვა დანიშნულების ობიექტებზე, ზღვისა და წყალსაცავების სანაპიროზე ტალღების მაქსიმალური სიმაღლის დადგენა, აეროპორტებში საფრენი ბილიკების ოპტიმალური მიმართულების შერჩევა, ქარის ენერგეტიკული ძრავების მონტაჟისათვის ხელსაყრელი ადგილების დადგენა და სხვა).

რაჭა-ლექჩეუმის ტერიტორიაზე განლაგებული მეტეოსადგურებისათვის დღეების საშუალო და მაქსიმალური რაოდენობა ძლიერი ქარებით მოცემულია ცხრილ 5.5.1.-ში. (Справочник по климату СССР, вып.4, ветер, 1968; საქართველოს სამეცნიერო-გამოყენებითი კლიმატური ცნობარი, 2004).

როგორც ცხრილ 5.1.1-დან ჩანს დღეების საშუალო რაოდენობა ძლიერი ქარებით მინიმალურია ჭრებალოში (0.2) და შოვში (0.4 დღე), მაქსიმალურია მამისონის უღელტეხილზე (40 დღე), ხერგაში, ამბროლაურში და ცაგერში ეს მაჩვენებელი მერყეობს 4(ხერგა)-7(ცაგერი) დღის საზღვრებში. დღეების მაქსიმალური რაოდენობა ძლიერი ქარით მერყეობს 3(შოვი)-72(მამისონის უღ.)-ის ფარგლებში. დღეების მაქსიმალური რაოდენობით მეორე ადგილზეა სადგური ცაგერი(20 დღე), ხერგაში და ამბროლაურში ეს მაჩვენებელი შესაბამისად ტოლია 11 და 14 დღისა, ხოლო შოვში და ჭრებალოში შესაბამისად 3 და 4 დღისა.

ცხრილი 5.5.1. რღეების საშუალო და მაქსიმალური რაოდენობა ძლიერი ქარით $V \geq 15$

პუნქტი	თ ვ ე												წელი
	I	II	III	IV	V	VI	VII	VIII	IX	X	XI	XII	
დღეების საშუალო რაოდენობა													
შოვი	0.0	0.04	0.1	0.03	0.03	0.0	0.0	0.0	0.0	0.04	0.1	0.04	0.4
მამისონის უღ.	5.3	6.0	5.5	3.8	2.0	1.6	1.1	1.0	1.6	4.0	3.7	4.8	40
ცაგერი	0.2	0.4	0.9	1.3	1.0	1.0	0.3	0.7	0.2	0.3	0.2	0.1	7.3
ჭრებალო	0.0	0.0	0.0	0.08	0.08	0.0	0.0	0.0	0.0	0.04	0.0	0.0	0.2
ამბროლაური	0.2	0.3	0.9	1.1	0.8	0.5	0.2	0.1	0.04	0.5	0.3	0.5	5
ხერგა	0.3	0.4	0.4	0.9	0.4	0.2	0.2	0.5	0.2	0.08	0.4	0.1	4

დღეების მაქსიმალური რაოდენობა													
შოვი	0	1	1	1	1	0	0	0	0	1	2	1	3
მამისონის ულ.	12	14	11	14	8	7	6	4	8	11	16	15	72
ცაგერი	2	2	3	8	5	4	2	5	2	2	2	2	20
ჭრებალო	0	0	0	1	2	0	0	0	0	0	1	0	4
ამბროლაური	2	2	4	4	2	3	2	1	1	3	2	2	14
ხერგა	2	1	3	7	2	1	3	4	2	1	3	2	11

სხვადასხვა ალბათობის ქარის მაქსიმალური სიჩქარეები, რომლებიც შესაძლებელია დაფიქსირდეს 1,5,10,15 და 20 წელისადში ერთხელ მოცემულია ცხრილ 5.1.2.-ში (საქართველოს სამეცნიერო-გამოყენებითი კლიმატური ცნობარი, 2004; Справочник по климату СССР, вып.4, ветер, 1968).

როგორც ცხრილ 5.1.2.-დან ჩანს, 1 წელიწადსი სადგურ ამბროლაურში შესაძლოა ერთხელ დაფიქსირდეს ქარი სიჩქარით 18°/წ, მამისონის ულ.-ზე-32°/წ, ონში-13°/წ და ა. შ. 20 წლის განმავლობაში სადგურ ამბროლაურში და ცაგერში შესაძლოა ერთხელ დაფიქსირდეს ქარი სიჩქარით 25°/წ, მამისონის უდელტებილზე-44°/წ, ონში-22°/წ.

ცხრილი 5.1.2. სხვადასხვა ალბათობის ქარის უდიდესი სიჩქარეები (გ/წ).

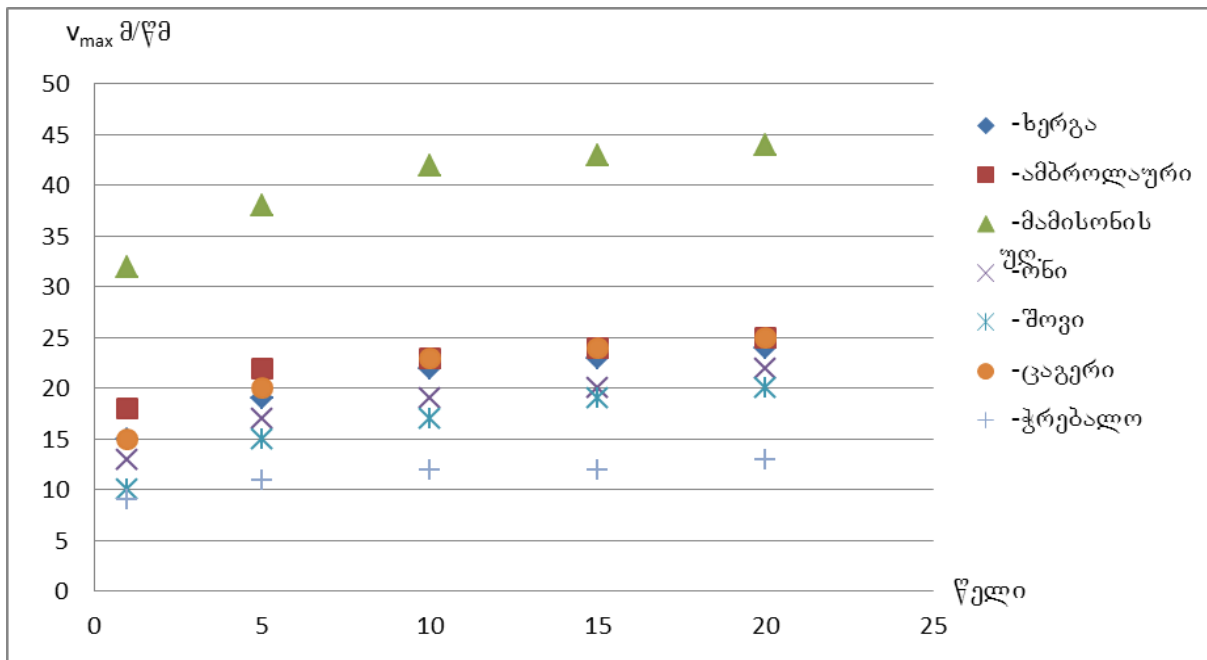
სადგურები	ქარის უდიდესი სიჩქარე (გ/წ) შესაძლო ერთეული				
	1 წელიწადში	5 წელიწადში	10 წელიწადში	15 წელიწადში	20 წელიწადში
ხერგა	15	19	22	23	24
ამბროლაური	18	22	23	24	25
მამისონის ულ.	32	38	42	43	44
ონი	13	17	19	20	22
შოვი	10	15	17	19	20
ცაგერი	15	20	23	24	25
ჭრებალო	9	11	12	12	13

დამოკიდებულების $V_{ას.}=f(t)$, სადაც ქარის შესაძლო მაქსიმალური სიჩქარით 1,5,10,15 და 20 წელიწადში, t -დროის ინტერვალი ერთიდან ოცი წლის ჩათვლით გრაფიკული სახით წარმოდგენილია ნახ. 5.1.1-ზე. როგორც ამ ნახაზიდან ჩანს რაჭალებულების ტერიტორიაზე განლაგებული ოთხივე სადგურისათვის, მათ აბსოლუტურ სიმაღლეებში განსხვავების მიუხედავად, ეს დამოკიდებულება ანალიზურად შეიძლება წარმოდგენილი იქნეს მეორე რიგის პარაბოლას სახით: $V_{ას.}=a+bt+ct^2$, რომელშიც კოეფიციენტებს a,b,c,t თვითეულ სადგურისთვის ექნება კონკრეტული მნიშვნელობები, კოეფიციენტებს a,b,c,t თვითეულ სადგურისთვის ექნება კონკრეტული მნიშვნელობები,

მაგ. სადგურებისთვის ონი და შოვი დამოკიდებულებას $V_{აქ}=f(t)$ აქვს შემდეგი ანალიზური სახე:

$$v_{აქ} = 10,2 + 0,48t + 0,01t^2 \quad (1)$$

ამ რეგრესიის განტოლებით და შესაბამისი გრაფიკით შეიძლება დადგინდეს ქარის უდიდესი $V_{აქ}$ სიჩქარის სიდიდე ნებისმიერი წლისათვის ერთიდან ოცი წლის ჩათვლით. მრავალწლიური დაკვირვებების მონაცემების ანალიზიდან ჩანს, რომ ძლიერი ქარების არსებობის ალბათობა მაქსიმალურია იმ რუმბებისათვის, რომლებზეც აღინიშნება ქარების მაქსიმალური განმეორადობა და პირიქით.



ნახ. 5.1.1. ქარის მაქსიმალური სიჩქარე შესაძლო ერთხელ 1,5,10,15 და 20 წლის გამნავლობაში. ♦-ხერგა, ■-ამბროლაური, ▲-მამისონის უდელტებილი, ✖-ონი, ✳-მოვი, ●-ცაგერი, +-ჭრებალო.

სხვადასხვა მიმართულების ძლიერი ქარების ($V \geq 15 \text{ მ/წმ}$) ალბათობის მნიშვნელობები მოცემულია ცხრილ 5.1.3.-ში (Справочник по климату СССР, вып.4, ветер., 1968)

როგორც ცხრილ 5.1.3.-დან ჩანს, სადგურ მამისონის უდელყებილზე ქარის მაქსიმალური სიჩქარე იანვარში, აპრილში და ოქტომბერში აღწევს 34 მ/წმ-ს. ივლისში ქარის მაქსიმალური სიჩქარე ტოლია მხოლოდ 24 მ/წმ-ისა. ამ სადგურზე წელიწადის განმავლობაში მაქსიმალური ალბათობით ხასიათდებიან სამხრეთ-დასავლეთის და დასავლეთის მიმართულების ქარები, რომელის სიჩქარე წელიწადის სამ სეზონში (ზაფხულის გამოკლებით) აღწევს 34 მ/წმ-ს. ამ სადგურზე ქარის დაქროლვის სიჩქარე

აღემატება 40გ/წ-ს ფლიუგერის ჩვენებით (Научно-прикладной справочник по климату СССР. Вып. 14, 1990).

ცხრილი 5.1.3. სხვადასხვა მიმართულების ძლიერი ქარების ($V \geq 15\text{მ/წ}$) სიჩქარეების ალბათობის მნიშვნელობები წელიწადის სეზონების შეა თვეების შემთხვევაში

თვე	$V, \text{მ}/\text{წ}$	ქარის მიმართულება							
		წ	წა	ა	სა	ს	სდ	ღ	წღ
გამისონის უღელტეხილი									
I	14-17			0.3	0.1		0.2	3.8	0.4
	18-20			0.1	0.03		0.2	2.5	0.3
	21-24			0.03			0.03	0.7	
	25-28						0.03	0.4	
	29-34							0.5	
IV	14-17		0.1	0.2			0.1	2.2	0.05
	18-20	0.03	0.1	0.03			0.03	0.9	0.08
	21-24	0.03	0.08		0.02	0.03	0.3	0.03	
	25-28	0.03	0.05			0.03	0.08		
	29-34	0.02				0.01	0.2		
VII	14-17			0.7	0.2			0.3	
	18-20		0.1	0.02				0.02	
	21-24		0.02						
	25-28								
	29-34								
X	14-17			0.04			0.02	3.1	0.3
	18-20							2.1	0.02
	21-24							0.5	
	25-28							0.3	
	29-34							0.1	

P(%) სადგურ მამისონის უღელტეხილზე

5.2. ქარბუქი

ქარბუქი მიეკუთვნება საშიშ მეტეოროლოგიურ მოვლენათა რიცხვს. ქარბუქის შედეგად წარმოქმნილი ნამქერების მიერ ფერხდება სახმელეთო ტრანსპორტის ყველა

სახეობის ნორმალური მუშაობა. ქარბუქი ასევე საფრენი ზოლების მინანქრვით და პორიზონტალური ხილვადობის გაუარესებით არღვევს ავიაციის ნორმალური მუშაობის გრაფიკს. ქარბუქის ასევე ზიანი მოაქვს სოფლის მეურნეობის მემცენარეობის და მეცხველეობის დარგებისათვის. როგორც ცნობილია, თოვლის საფარი იცავს საშემოდგომო ხორბლის ნათესებს გაყინვისაგან, ზამთრის პერიოდში იგი ხელს უწყობს საშემოდგომო ხორბლის ფეხვთა სისტემის ნორმალურ განვითარებას, არეგულირებს ფეხვებში მიმდინარე ბიოქიმიურ პროცებს, რაც დადებით გავლენას ახდენს ნათესების მოსავლიანობაზე მაგრამ, ქარების შემთხვევაში ადგილი აქვს აგრეთვე საშემოდგომო ხორბლით დაკავებულ ფართობზე თოვლის საფარის თანაბარი განაწილების რღვევას, ხშირ შემთხვევაში თოვლის საფარისგან თავისუფალი (მოტიტვლებული) ადგილების გაჩენით, რასაც თან სდევს საშემოდგომო კულტურების გაყინვა-განადგურება. ზამთრის საძოვრებზე ქარბუქის შედეგად თოვლის საფარის გადანაწილების და ნამქერების წარმოქმნის პროცესი ხელს უშლის პირუტყვის ნორმალურ გამოზამთრებას მთიან და განსაკუთრებით მაღალმთიან რაიონებში სადაც ადგილის სიმაღლის მატებისას ხდება მდგრადი თოვლის საფარის წარმოქმნა და აღინიშნება ქარბუქიან დღეთა რიცხვის მკვეთრი ზრდა (განსაკუთრებით თხემურ ნაწილში, სადაც ძირითადად განლაგებულია ზვავების კერები), ქარბუქის შემთხვევაში ხდება თოვლის მასის გადანაწილება რელიეფის ელემენტებს შორის და მისი ლოკალური აკუმულაცია პოტენციალურად ზვავწარმომქმნელი ფაქტორის ლავგარდინების (კარნიზების) წარმოქმნით, რომლებიც აძლიერებენ რაიონის ზვავსაშიშროებას. იმ სინოპტიკურ პროცესებთან, რომლებთანაც დაკავშირებულია ქარბუქის მოვლენები მთავარ როლს თამაშობენ ციკლონები. ყველაზე ძლიერი ქარბუქები დაკავშირებულია ღრმა ციკლონებთან. მთიან რაიონებში ქარბუქის ინტენსივობაზე დიდ გავლენას ახდენს ადგილის აბსოლუტური სიმაღლე და რელიეფის თავისებურებები, რელიეფის უარყოფითი ელემენტების გავლენით ქარბუქის ინტენსივობა ეცემა და პირიქით დადებით ელემენტებზე (თხემები) მატულობს. ქარბუქის ინტენსივობა გარდა რელიეფისა დამოკიდებულია აგრეთვე თოვლის ფიზიკურ თვისებებზე.

რაჭა-ლეჩხეუმის სადგურებზე ქარბუქიან დღეთა საშუალო \bar{n} და მაქსიმალური n მაქს. დაოდენობა, ქარახვეტია დღეთა საშუალო რაოდენობა \bar{m} თვეში და წელიწადის ციკ პერიოდში მოცემულია ცხრილ 5.2.1.-ში (Справочник по климату СССР. Облачность и атмосферные явления. Вып. 14, 1970; Научно-прикладной справочник по климату СССР. Серия 3, части 1-6, вып. 14, 1990). აქვე მოცემულია ქარბუქის საშუალო ხანგრძლივობა \bar{t} (სთ).

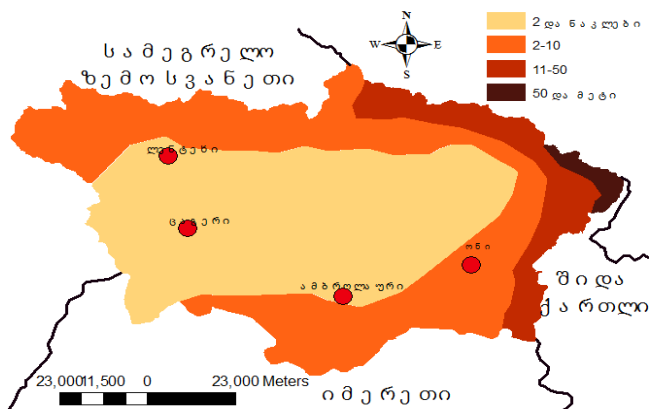
ცხრილი 5.2.1. \bar{n} , მაქს. და \bar{m} , \bar{t} (სთ)

სადგური	თ ვ ე												წლი
	VII	VIII	IX	X	XI	XII	I	II	III	IV	V	VI	
<i>n̄(დღე)</i>													
მამისონის ულ.	0.04	0.04	1	6	9	11	13	14	15	9	4	0.7	83
ხერგა					0.2	0.4	2	2	1	0.03			6
<i>n̄(დღე)</i>													
მამისონის ულ.	1	1	6	13	24	25	23	24	25	21	14	4	134
ხერგა					2	3	9	9	5	1			11
<i>n̄(დღე)</i>													
მამისონის ულ.	0.3	0.2	1	2	3	3	4	2	4	2	4	1	27
ხერგა	0.2	0.3	0.5	0.07									1
<i>t̄(სო)</i>													
მამისონის ულ.	1	1	8	74	111	145	169	165	154	85	32	10	955
ხერგა													

როგორც ცხრილ 5.2.1.-დან ჩანს მამისონის უღელტეხილზე წელიწადში ქარბუქიან დღეთა საშუალო რაოდენობა *n̄* შეადგენს 83-ს, მაქსიმალური რაოდენობა იაპ. კი 134-ს. სადგურ ხერგაში(1131მ) ეს მაჩვენებლები შესაბამისად ტოლია 6 და 11 დღისა. ქარახვეტია დღეთა რიცხვი წელიწადში მამისონის უღელტეხილზე შეადგენს 27-ს.

ნახ.5.2.1-ზე წარმოდგენილია ქარბუქიან დღეთა საშუალო რიცხვის წლიური განაწილების რუკა.

როგორც ნახ.5.2.1.-დან ჩანს რაჭა-ლეჩხეუმი ქვემოს სვანეთის უმეტეს ტერიტორიაზე ქარბუქიან დღეთა საშუალო რიცხვი 10 დღეზე ნაკლებია. თუმცა რეგიონის განსაკუთრებით მაღალმთიანეთში, ძირითადად კავკასიონის ქედის გასწვრივ და მის შუაწელში, ეს მაჩვენებელი 10 დღე ზემეტია წლის განმავლობაში, ხოლო უკიდურეს ჩრდილოეთ ნაწილში იგი 50 დღეს აჭარბებს.



ნახ.5.2.1 ქარბუქიან დღეთა საშუალო წლიური რიცხვი

ქარბუქის საშუალო ხანგრძლივობა მამისონის უდელტებილზე წელიწადში ტოლია 995 საათისა. აქ ქარიშხელის საშუალო ხანგრძლივობა დღეში საშუალოდ შეადგენს 11.1სთ-ს ამ სადგურზე ქარბუქის საშუალო თვიური ხანგრძლივობა იანვარში, თებერვალში და მარტში მერყეობს 154(III)-169(I) საათის ფარგლებში,

ქარბუქის ხანგრძლივობა დღედამის სხვადასხვა დროს (სთ) სადგურ მამისონის უდელტებილზე მოცემულია ცხრილ 5.2.2.-ში.

ცხრილი 5.2.2. ქარბუქის ხანგრძლივობა დღედამის სხვადასხვა საათებში მამისონის უდელტებილზე (სთ) (. Справочник по климату СССР. Облачность и атмосферные явления. Вып. 14, 1970)

სადგური	სთ	თ ვ ე												წელი
		VII	VIII	IX	X	XI	XII	I	II	III	IV	V	VI	
მამისონის უღ	18-24			0.9	20.4	29.4	31.8	4.6	40.8	44.6	21.9	9.0	0.3	241.7
	24-6	0.1		2.0	18.9	28.3	31.5	38.4	40.6	39.0	19.6	7.4	0.2	226.0
	6-12	0.1		1.3	16.0	26.9	27.2	36.7	37.4	33.7	15.7	6.2	0.7	201.9
	12-18	0.2	0.05	1.7	17.5	33.0	31.0	43.2	46.6	45.1	21.2	8.4	1.4	249.4

მამისონის უდელტებილზე ქარბუქის დროს ქარების მაქსიმალური ალბათობა 25,3-34,0% აღინიშნება 6-9 და 10-13გ/წმ-ის სიჩქარის ქარების გრადაციებისათვის. ალბათობის სიდიდით მეორე ადგილზეა 14-17 და 18-20გ/წმ სიჩქარის გრადაციები, რომლებზედაც მოდის შესაბამისად ალბათობის 16,0 და 11,5%. დანარჩენ გრადაციებზე ქარბუქის დროს ქარების ალბათობა მევეობს 13(35-40გ/წმ)-36%(<6გ/წმ) პროცენტის საზღვრებში.

5.3. ნისლი

ნისლი განეკუთვნება საშიშ მეტეოროლოგიურ მოვლეთა რიცხვს. ნისლი აფერხებს ტრანსპორტის ყველა სახეობის (სახმელეთო, საჰაერო, საზღვაო) ნორმალურ ფუნქციონირებას მასში მხედველობის სიშორის შემცირების შედეგად. მიუხედავად იმისა, რომ არსებობს ნისლის რამდენიმე (შიდამასიური, ადვექციური, რადიაციული და ფრონტალური) სახეობები, მათი მიკროფიზიკური მახასიათებლების (წყლის წვეთების და ყინულის კრისტალების კონცენტრაცია და მათი სიდიდეები) იდენტურობის შედეგად ნისლის ცალკეულ სახეობებს შორის დიდი განსხვავება არ არსებობს. ატმოსფეროში მიმდინარე ნისლის განაწილების ტერიტორიულ თავისებურებებზე გარდა ცირკულაციური პროცესებისა დიდ გავლენას ახდენს ადგილის მორფოლოგიურ-მორფომეტრიული პირობები (აბსოლუტური სიმაღლე, რელიეფის შემადგენელი ელემენტების ფორმა, ზომები და სხვ).

რაჭა-ლეჩხუმის და ქვემო სვანეთის ტერიტორიაზე ნისლიან დღეთა საშუალო **ნ** მაქსიმალური **n** მაქ. რაოდენობა მრავალწლიური დაკვირვებების მონაცემებით მოცემულია ცხრილ 5.3.1.-ში.

როგორც ამ ცხრილიდან ჩანს, ნისლიან დღეთა საშუალო რაოდენობა წელიწადში **ნ** მაქსიმალურია ხერგაში, ლაილაშში და ურვაში და შეადგენს შესაბამისად 35, 46 და 42, მინიმალურია ონში, ამბროლაურში, ცაგერში და ჭრებალოში შესაბამისად 3, 3, 7 და 7. ადგილის აბსოლუტური სიმაღლის ზრდის შემთხვევაში ნისლიან დღეთა საშუალო რაოდენობა მატულობს. მამისონის უდელტეხილზე (2854მ) იგი შეადგენს 223.

ცხრილი 5.3.1. ნისლიან დღეთა საშუალო **ნ** მაქსიმალური **n** მაქსიმალური მაქ. რაოდენობა

(Справочник по климату СССР. Облачность и атмосферные явления. Вып. 14, 1970; საქართველოს სამეცნიერო-გამოყენებითი კლიმატური ცნობარი. ცალკეული კლიმატური მახასიათებლები. ნაწ. 1, 2004)

სადგური	H, გმ	I	II	III	IV	V	VI	VII	VIII	IX	X	XI	XII	წელი
ნ														
ონი	782	0.5	0.1	0.3	0.09	0.09	0.09	0.2	0.05	0.09	0.3	0.1	0.3	3
შოვი	1507	2	1	1	4	3	2	4	2	3	3	2	2	29
ამბროლაური	544	0.8	0.2	0.08	0.2	0.08	0.46	0.2	0.1	0.08	0.2	0.2	0.4	3
მამისონის უდ.	2854	17	18	21	20	20	19	21	20	20	17	14	16	223
ურავი	1150	4	3	2	4	3	4	4	3	4	4	4	3	42
ცაგერი	474	2	1	0.4	0.2	0.4	0.03	0.03	0.1	0.7	0.4	0.5	1	7
ლაილაში	853	4	3	4	5	4	4	4	3	4	3	4	4	46
ჭრებალო	525	1	0.6	0.5	0.4	0.3	0.3	0.1	0.3	0.7	1	1	1	7
ხერგა	1131	2	2	4	5	3	3	3	3	3	3	2	2	35
მაქ.														
ონი	782	4	1	4	1	1	1	3	1	1	2	1	2	15
შოვი	1507	8	5	9	12	8	8	11	5	11	15	8	6	64
ამბროლაური	544	7	2	1	3	1		3	2	2	5	3	3	14
მამისონის უდ.	2854	27	26	31	27	30	27	30	26	27	28	27	28	276
ურავი	1150	14	11	8	14	16	12	12	11	13	9	9	8	79
ცაგერი	474	6	5	3	1	3	1	1	1	2	1	3	7	13
ლაილაში	853													
ჭრებალო	525	9	5	3	2	2	2	3	2	4	4	5	6	26
ხერგა	1131	7	5	8	14	8	7	11	12	7	9	4	7	52

ნისლიან დღეთა რაოდენობა წელიწადში მაქსიმალურია ხერგაში, ონში, ურვაში შესაბამისად 13, 14 და 15. ნისლიან დღეთა აბსოლუტური მაქსიმუმი

დაფიქსირდა მამისონის უდელტეხილზე - 276 დღე. რაც შეეხება ნისლიან დღეთა საშუალო რაოდენობას წელიწადის ცივ (X-III) და თბილ (IV-IX) პერიოდებში მათი მნიშვნელობები ახლოა ერთმანეთზან ყველა სადგურზე მამისონის უდელტეხილის გარდა, სადაც იგი შესაბამისად ტოლია 103(X-III) და 120(IV-IX)-ისა.

ნისლიან დღეთა მაქსიმალური რაოდენობა წელიწადის ცივ პერიოდში (X-III) სადგურზე შოვი, ცაგერი, ონი, ჭრებალო, ამბროლაური მეტია თბილ პერიოდთან შედარებით. სადგურზე მამისონის უდელტეხილი წელიწადის ცივ და თბილ პერიოდში ნისლიან დღეთა მაქსიმალური რაოდენობა ტოლია ერთმანეთისა (148 და 149 დღე შესაბამისად). სადგურებზე ურავი და ხერგა წელიწადის თბილ პერიოდში ნისლიან დღეთა მაქსიმალური რაოდენობა მეტია მის მნიშვნელობასთან ცივი პერიოდისათვის შესაბამისად ურვაზე 59 და 48, ხერგაზე 34 და 26 დღე.

რაჭა-ლეჩხეუმის ტერიტორიაზე არსებული მეტეოროლოგიური სადგურების ქსელის მრავალწლიური დაკვირვებების მონაცემების გამოყენებით, გარდა ნისლიან დღეთა საშუალო და მაქსიმალური რაოდენობისა, გაანალიზებული იქნა ნისლიან დღეთა გრადაციების განმეორადობა თვეებისა და წელიწადის მიხედვით, ნისლების არსებობის საშუალო ხანგრძლივობა, ნისლების ხანგრძლივობა დღე-დამის სხვადასხვა საათებში, თვეების მიხედვით ნისლიან დღეთა გრადაციების (2 დღიანი ინტერვალით) განმეორადობა.

ნისლიან დღეთა სხვადასხვა რიცხვის განმეორადობა თვეების მიხედვით (%) მოცემულია ცხრილ 5.3.2.-ში.

ცხრილ 5.3.2.-ში მოცემული მონაცემები იძლევიან წარმოდგენას ნისლიან დღეთა რიცხვის ცვალებადობაზე ცალკეულ თვეებში წელიწადის განმავლობაში. ცხრილში თითოეული გრადაციის განმეორადობა წარმოდგენილია პროცენტებში (დაკვირვებების წლების რიცხვიდან).

წელიწადში ნისლიანი დღეების სხვადასხვა რიცხვის განმეორადობა (%) მოცემულია ცხრილ 5.3.3.-ში. როგორც ამ ცხრილიდან ჩანს, წელიწადში ნისლიანი დღეების მაქსიმალური განმეორადობა აღინიშნება ცაგერში 6-10 დღე (57%), ონში 1-5 დღე (72%), ჭრებალოში 1-5 დღე (44%), ამბროლაურში 1-5 დღე (42%), ხერგაში 31-35 დღე (22%). მამისონის უდელტეხილზე 201-210 დღე (20%).

ცხრილ 5.3.2. ნისლიან დღეთა სხვადასხვა რიცხვის განმეორადობა (%) თვეების მიხედვით, (Справочник по климату СССР. Облачность и атмосферные явления. Вып. 14, 1970; საქართველოს სამეცნიერო-გამოყენებითი კლიმატური ცნობარი. ცალკეული კლიმატური მახასიათებლები. ნაწ. 1, 2004)

დღეების რიცხვი	I	II	III	IV	V	VI	VII	VIII	IX	X	XI	XII
ცაგერი												
0	32	42	76	85	68	96	96	92	50	62	76	43
1-4	52	54	24	15	4	4	8	50	38	24	24	53
5-8	16	4										4
ონი												
0	71	86	81	91	91	91	86	95	91	82	86	77
1-4	29	14	19	9	9	9	14	5	9	18	14	23
5-8												
ჭრებალო												
0	69	66	71	74	74	77	92	74	52	31	42	57
1-4	27	30	29	26	26	23	8	26	48	69	54	39
5-8		4									4	4
ამბოლაური												
0	72	84	92	92	92	100	88	96	96	92	88	76
1-4	20	16	8	8	8		12	4	4	4	12	24
5-8												
ხერგა												
0	20	8		4	16	4	16	24	16	8	12	24
1-4	68	84	64	36	64	76	52	48	48	72	88	56
5-8	12	8	36	52	20	20	16	16	36	16		20
9-12				4			8	8				

ცხრილი 5.3.3. წელიწადში ნისლიანი დღეების სხვადასხვა რიცხვის განმეორადობა (%),(Справочник по климату СССР. Облачность и атмосферные явления. Вып. 14, 1970; საქართველოს სამეცნიერო-გამოყენებითი კლიმატური ცნობარი. ცალკეული კლიმატური მახასიათებლები. ნაწ. 1, 2004)

დღეები	ცაგერი	ონი	ჭრებალო	ამბოლაირი	ხერგა	ამისონის ულ.	
						დღეები	%
0		18	4	50		181-190	11
1-5	29	72	44	42		191-200	4
6-10	57	5	20	4		201-210	20
11-15	14	5	24	4	4	211-220	14
16-20					4	221-230	7
21-25			4		4	231-240	11
26-30			4		8	241-250	18
31-35					22	251-260	7
36-40					21	261-270	4
41-45	9				12	271-280	4
46-50	9				17		
51-55					8		
56-60							
61-70							
71-80	5						
81-90							

ნისლების არსებობის საშუალო ხანგრძლივობა საათებში მოცემულია ცხრილ 5.3.4.-ში. როგორც ამ ცხრილის მონაცემებიდან ჩანს, ოვეების მიხედვით ნისლების საშუალო ხანგრძლივობის აბსოლუტური მაქსიმუმი აღინიშნება მათისონის უდელტეხილზე მარტში $250,1^{\text{სო}}$, ცაგერში-ივნისში $8,3\text{სო}$, ონში ასევე იანვარში $3,8\text{სო}$.

ცხრილი 5.3.4. ნისლების საშუალო ხანგრძლივობა (საათი), (Справочник по климату СССР. Облачность и атмосферные явления. Вып. 14, 1970)

თვე, პერიოდი	მამისონის უღ.	ცაგერი	ონი
I	240.8	8.3	3.8
II	227.7	3.9	0.3
III	250.1	1.8	1.4
IV	231.7	0.2	0.4
V	199.6	1.8	0.2
VI	167.9	0.03	0.1
VII	211.2	0.05	0.9
VIII	184.0	0.1	0.6
IX	206.3	1.3	0.5
X	187.8	1.4	0.8
XI	187.5	2.1	0.7
XII	203.3	5.7	0.8
წელი	2497.1	28.7	10.5
განმეორადობა დღეში			
X-III	12.6	23.2	7.8
IV-IX	10.0	3.5	2.7
წელი	11.2	3.8	3.5

5.4. წაყინვები

წაყინვების ქვეშ იგულისხმება ჰაერის მინიმალური ტემპერატურის ხანმოკლე დაცემა 0°C -ზე დაბლა გაზაფხულზე ან შემოდგომაზე დადებითი საშუალო დღე-დამური ტემპერატურის დროს. წაყინვები ხშირად იმდენად ხანმოკლე პროცესია, რომ მისი ფიქსირება ხდება მინიმალური ტემპერატურის ჩვენების მიხედვით მეტეოროლოგიურ ბუდრუგანაში. თუ დღე-დამის განმავლობაში წაყინვების ფაქტი რამდენჯერმე განმეორდა, ჩვენ მაინც ვაფიქსირებთ, როგორც წაყინვიანი ერთი დღის შემთხვევას. ამრიგად ჩვენი კვლევა ძირითადად შეეხება ჰაერში წაყინვიან დღეთა ცვლილების

სტატისტიკის შესწავლას. წაყინვები არათანაბრადაა გადანაწილებული წლებისა და თვეების მიხედვით. მათი ალბათობა იზრდება იმ წლებში, როდესაც აღნიშნულ ტერიტორიაზე მკვეთრად იზრდება პაერის ცივი მასების შემოჭრის შემთხვევები.

ჩვენთვის ძირითადად მნიშვნელოვანია იმ პროცესების შესწავლა, რომლებიც ხელს უწყობს საკვლევ ტერიტორიაზე გაზაფხულის ბოლო და შემოდგომის პირველი წაყინვების დაფიქსირების ალბათობას, მათ ტიპს, ინტენსივობას, ხანგრძლივობას და ა.შ.

თავისი გამომწვევი მიზეზების მიხედვით წაყინვები შეიძლება დაიყოს ადვექციურ, რადიაციულ და ადვექციურ-რადიაციულ ტიპებად. აზორის ანტიციკლონის გააქტიურების შემთხვევაში გაზაფხულზე და შემოდგომაზე ადგილი აქვს შემოჭრილი პაერის მასების ტენით მნიშვნელოვან გაჯერებას. ეს პროცესი ხელს უწყობს ადვექციური ტიპის წაყინვების შემთხვევების საგრძნობ მატებას. ანტიციკლონის შემთხვევაში ტერიტორია განიცდის მაღალი წნევის ველის გავლენას. იმის მიუხედავად ანტიციკლონი ადგილობრივად არის ჩამოყალიბებული თუ გადაადგილდება მიმდებარე რეგიონიდან, იგი ხასიათდება შედარებით სტაციონალური ამინდის პირობებით. მიუხედავად სეზონისა ეს პროცესი ხასიათდება შედარებით მაღალი ტემპერატურით, სუსტი ქარით, მოწმენდილი ცის ალბათობით, იზრდება აღმავალი დენების სიჩქარე და წაყინვების ალბათობა მინიმალურია.

კვლევის რეგიონში და ზოგადად კოლხეთის დაბლობზე უფრო ხშირად გვხვდება ადვექციური ტიპის წაყინვები. ასეთი ტიპის წაყინვებისათვის ძირითადად დამახასიათებელია მოღრუბლულობა $3 \div 5$ ბალი, ქარი $3 \div 5 / 7$ და მეტი, ტემპერატურის შედარებით მცირე ამპლიტუდა და სხვა. წაყინვების ხანგრძლივობა და ინტენსივობა გვეხმარება ასეთი ტიპის წაყინვების გამოყოფაში.

რადიაციული ტიპის წაყინვების ალბათობა მეტია უქარო და უღრუბლო ამინდის დროს. მათი წარმოშობა ძირითადად დაკავშირებულია ნიადაგის ზედაპირის გადაციებასთან ინტენსიური გამოსხივების დროს. ასეთი წაყინვების ინტენსივობა დიდი არ არის და მზის ამოსვლის შემდეგ მათი ალბათობა მკვეთრად მცირდება. რადიაციული ტიპის წაყინვები უფრო ხანმოკლეა და ლოკალური. ამ დროს საგრძნობია რელიეფის გავლენა,

ადგილი აქვს ტემპერატურის ამპლიტუდის ზრდას და ა.შ. წაყინვების სხვა შემთხვევები მიეკუთვნება ე.წ. ადგექციურ-რადიაციულ ტიპს.

ამ ეტაპზე ჩვენი ამოცანა იყო არსებული წაყინვიანი დღეების ძირითადი სტატისტიკური მახასიათებლების, მათ შორის: საშუალო თვიური რაოდენობა, წაყინვიან დღეთა უზრუნველყოფა, ინტენსივობა, განმეორებადობა ტიპების მიხედვით, მათი კომპლექსური მახასიათებლების კვლევა.

საწყის მასალად გამოყენებული იყო მეტეოროლოგიურ ცნობარში არსებული უწყვეტი დაკვირვების 35 წლიანი მონაცემები სადგურებისათვის: ლენტები, ამბროლაური და ონი.

წაყინვების საშუალო რაოდენობა თვეების მიხედვით, აგრეთვე პუნქტის სიმაღლე ზღვის დონიდან მოგვყავს სათანადო ცხრილში 5.4.1.

ცხრილი 5.4.1. წაყინვების საშუალო რაოდენობა თვეების მიხედვით.

სადგური	H, მ	ჯამი	თვე						
			III	IV	V	...	IX	X	XI
ლენტები	760	432	5.3	2.3	0.2	...	0.3	1.6	3.4
ამბროლაური	544	358	5.9	0.6	-	...	-	0.6	3.1
ონი	788	314	2.8	1.6	0.6	...	-	2.0	2.5

სადგურები ლენტები და ონი თითქმის ერთნაირ სიმაღლეზეა ზღვის დონიდან. სხვაობა ონსა და ამბროლაურს შორის არ აღემატება 250მ-ს. შემთხვევათა ჯამური რაოდენობა უდიდესია ლენტებში (432) და უმეტესია ონში (314) სხვაობა შეადგენს 118 შემთხვევას. როგორც მოსალოდნელი იყო წაყინვიან დღეთა რიცხვი ყველა სადგურისთვის უდიდესია მარტში 5.9 შემთხვევა ამბროლაურშ და 2.8-ონში. მაისში და სექტემბერში წაყინვებიანი დღეების რიცხვი უმცირესია, არ აღემატება 0.6 შემთხვევას.

გარდა თვეების მიხედვით წაყინვიან დღეთა რიცხვის ცვალებადობისა სადგურების მიხედვით მნიშვნელოვანია შევისწავლოთ მათი განაწილება ინტენსივობის მიხედვით 10°C ინტერვალით. სათანადო მონაცემები მოგვყავს ცხრილში 5.4.2.

ცხრილი 5.4.2. წაყინვების ინტენსივობა სადგურების მიხედვით $^{\circ}\text{C}$

სადგური		ლენტები				ამბროლაური				ონი			
გრადაცია		თვე				თვე				თვე			
დან	მდე	III	IV	X	XI	III	IV	X	XI	III	IV	X	XI
0.0	-0.9	59	41	29	40	83	9	11	41	27	44	26	29
-1.0	-1.9	45	14	13	25	50	6	7	25	9	27	21	24
-2.0	-2.9	41	12	7	15	36	1	4	20	9	12	11	21
-3.0	-3.9	16	6	4	21	19	3	-	14	5	7	4	7
-4.0	-4.9	11	6	2	8	13	1	-	5	3	5	3	5
-5.0	-10.0	7	3	-	5	7	-	-	3	2	5	4	2
Σ		179	82	55	114	208	20	22	108	55	100	69	88

ამ ცხრილის მიხედვით ცხადია, რომ წაყინვების ინტენსივობა დიდი არ არის. სამივე სადგურისათვის წაყინვების ინტენსივობის სიდიდის ნახევარზე მეტი არ აღემატება $-2.0 \ ^{\circ}\text{C}$. ლენტებში და ამბროლაურში უდიდესი რიცხვი წაყინვიანი დღეებისა მოდის მარტი და ნოემბერში. ეს კანონზომიერება ირლევა მეტეოსადგური თნისათვის, სადაც უდიდესი რაოდენობა (100 შემთხვევა) აპრილშია, მარტი კი აღინიშნებაა მხოლოდ 55 შემთხვევა. წაყინვიან შემთხვევათა რიცხვი ამბროლაურში IV და X თვეებიში შეადგენს $20 \div 22$ -ს. რაც შეეხება ყველაზე ინტენსიურ წაყინვებს, მათი რაოდენობა დიდი არ არის და ინტერვალში $-5.0 \ ^{\circ}\text{C}$ და კიდევ უფრო ნაკლები მერყეობს საზღვრებში 15-დან ლენტებში, 10-დან ამბროლურში.

შემდეგი პარამეტრი, რომლითაც შეიძლება წაყინვიან დღეთა დახასიათება არის წაყინვიან დღეთა უზრუნველყოფა, სათანადო მონაცემები მოგვყავს ცხრილში 5.4.3.

ცხრილი 5.4.3. წაყინვიან დღეთა რიცხვის უზრუნველყოფა (%)

სადგური	უზრუნველყოფა						
	5	10	25	50	75	90	95
ლენტები	24	21	16	12	8	6	5
ამბროლაური	23	17	14	10	5	3	3
ონი	19	15	12	8	7	3	-

ამ ცხრილის ანალიზი საშუალებას გვაძლევს დავასკვნათ, რომ ლენტებში და ამბროლაურში შემთხვევათა 5%-იანი უზრუნველყოფით გვხვდება პრაქტიკულად შემთხვევათა 1/4, უფრო ზუსტად 23-24%, შემთხვევათა ნახევარი გვხვდება ონში 8%, ამბროლაურში 10% და ლენტებში 12% და ა.შ.

შემდეგი პარამეტრიც, რომელიც გვეხმარება წარმოდგენა გვქონდეს თუ რამდენად უზრუნველყოფილია შემთხვევათა რიცხვის გადახრა საშუალოდ (%) მოგვყავს სათანადო ცხრილში 5.4.4.

ცხრილი 5.4.4. საშუალოდან გადახრის ალბათობა (დღე)

სადგური	ალბათობა %				
	±2	±6	±9	±12	> 12
ლენტები	28	46	17	6	3
ამბროლაური	26	46	23	0	5
ონი	37	40	11	9	3

ამ ცხრილის ანალიზი საშუალებას გვაძლევს დავასკვნათ, რომ ლენტებში და ამბროლაურში ±2 დღის ინტერვალში საშუალოდ იცვლება შემთხვევათა 26-28%, ±6 დღის ინტერვალში თითქმის ნახევარი (46%) და ა.შ. სადგურ თნისთვის გადახრა ±2 დან ±6-მდე თითქმის არ იცვლება და მერყეობს 37-40%-ის ფარგლებში.

წაყინვათა უმეტესობა არ არის ხანგრძლივი, მათი ხანგრძლივობის 75%-მდე არ აღემატება 1-2 დღეს. ურო დეტალურად წაყინვების შემთხვევების გაგრძელება რამდენიმე დღე (%) მოგვყავს სათანადო ცხრილში 5.4.5.

ცხრილი 5.4.5. წაყინვების ხანგრძლივობა (დღე)

სადგური	ხანგრძლივობა (%)									
	1	2	3	4	5	6	7	8	9	10
ლენტები	59	25	9	3	2	1	1			
ამბროლაური	56	25	6	6	3	2	1		1	
ონი	64	18	10	4	1	1	1	1		

ერთდღიანი წაყინვების შემთხვევა აღინიშნა სათანადოდ 56%, 59% და 64% ამბროლაურში, ლენტებში და ონში. ზედაზედ ორი დღის ხანგრძლივობის-ლენტებში და ამბროლაურში 25%-ია, ონში კი მხოლოდ 18%. რაც შეეხება ხანგრძლივობას, ყველაზე ხანგრძლივად, კერძოდ ზედაზედ 9 დღე აღნიშნულია ამბროლაურში, ონში 8 დღე და ლენტებში მხოლოდ7.

წაყინვების ეპიზოდურობაზე მეტყველებს კიდევ ის ფაქტი, რომ ოთხჯერადი დაკვირვების შემთხვევაში წაყინვების ფაქტს უფრო ხშირად აფიქსირებს თერმომეტრის მინიმალური ჩვენება ბუდრუგანაში, ვიდრე თუნდაც დაკვირვების ერთი ვადის ანათვალი, ცხრილი 5.4.6.

ცხრილი 5.4.6. წაყინვების შემთხვევაში უარყოფითი ტემპერატურების განმეორებადობა დაკვირვების ვადების მიხედვით (%)

ვადგური	ვადა			
	0	1	2	3
ლენტები	41	38	21	0
ამბროლაური	36	40	23	1
უნი	48	33	19	0

ამ ცხრილის მიხედვით შეგვიძლია დავასკვნათ, რომ მეტეოროლოგიურ ბუდრუგანაში მინიმალური თერმომეტრის მონაცემები აფიქსირებს წაყინვების შემთხვევათა 36%-ს ამბროლაურში, 41%-ს ლენტებში და 48%-ს ონში. მხოლობ ერთ ვადაზე ფიქსირდება წაყინვის ფაქტი ონში, ლენტებში და ამბროლაურში შესაბამისად 33%, 38% და 40%-შემთხვევაში, რაც კიდევ ერთხელ ხაზს უსვამს ამ მოვლენების ეპიზოდურობას. სამ ვადაზე წაყინვის ხანგრძლივობა მხოლოდ აღინიშნა ამბროლაურში. თავისი გამომწვევი მიზეზების მიხედვით წაყინვები შეიძლება დაიყოს აღვექციურ, რადიაციულ და აღვექციურ-რადიაციულ ტიპებად. ჩვენი საკვლევი რეგიონისათვის (ზოგადად კოლხეთის დაბლობზე) უფრო ხშირად გვხვდება აღვექციური ტიპის წაყინვები, რომელთათვისაც მირითადად დამახასიათებელია მოღრუბლულობა (3 ბალი და მეტი), ქარი (3-5 მ/წმ და მეტი) და ტემპერატურის სედარებით მცირე ამპლიტუდა და სხვა. წაყინვების ხანგრძლივობა და ინტენსივობა გვეხმარება ასეთი ტიპის წაყინვების გამოყოფაში.

რადიაციული ტიპის წაყინვების ალბათობა მეტია უქარო, უღრუბლო ამინდის დროს, მათი წარმოშობა ძირითადად დაკავშირებულია ნიადაგის ზედაპირის გადაციებასთან ინტენსიური გამოსხივების დროს. მათი ალბათობა დიდი არ არის და მზის ამოსვლის შემდეგ ასეთი ტიპის წაყინვები ადარ დაიკვირვება. რადიაციული ტიპის წაყინვები უფრო ხანმოკლლეა და ლოკალური. ამ დროს იგრძნობა რელიეფის გავლენა ადგილი აქვს ტემპერატურის ამპლიტუდის ზრდას და ა.შ. წაყინვების სხვა შემთხვევები მიეკუთვნება ადვექციურ-რადიაციულ ტიპს. ჩვენი მსჯელობის დასადასტურებლად შეგვიძლია მოვიყვანოთ სხვადასხვა ტიპის წაყინვების განმეორადობის ცხრილი 5.4.7.

ცხრილი 5.4.7. სხვადასხვა ტიპის წაყინვების განმეორება %

სადგური	წაყინვის ტიპი		
	ადვექციური	რადიაციული	ადვექციურ-რადიაციული
ლენტები	25	50	25
ამბროლაური	29	40	31
ონი	20	51	29

ამ ცხრილის ანალიზი საშუალებას გვაძლევს დავასკვნათ, რომ ლენტებში და ონში რადიაციული ტიპის წაყინვების ალბათობა დაახლოებით 50%-ია; ლენტებში ადვექციური და ადვექციურ-რადიაციულ ტიპის წაყინვების ალბათობა 25%-ია: ონში ადვექციური ტიპის წაყინვების ალბათობა მხოლოდ 20%-ია და ა.შ.

წაყინვების თავისებურებების უფრო სრულად დახასიათების მიზნით შეგვიძლია მოვიყვანოთ სადგურებისათვის ტემპერატურის, მოღრუბლულობის, ქარის სიჩქარის და ფარდობითი ტენიანობის განსხვავებული რეჟიმის დროს შესაბამისი მონაცემები ლენტებისათვის (ცხრილი 5.4.8).

თითოეული შემთხვევის ანალიზი აღემატება ჩვენს შესაძლებლობას. შევეცდებით გავაკეთოთ რამდენიმე ხასიათის ზიგადი დასკვნა: წაყინვების დიდი უმეტესობა ლენტებში დაფიქსირებულია სუსტი ქარის დღოს, ეს მგრეთ წოდებული რადიაციული ტიპია (335 შემთხვევა). მხოლოდ 2

შემთხვევაში ფარდობითი სინოტივე არ აღემატებოდა 60%-ს; ორივე შემთხვევაში მოღრუბლულობა ≤ 2 ბალს. შემთხვევათა უმეტესობა დაფიქსირებულია მაღალი ფარდობითი სინოტივის დროს, კერძოდ $>80\%$ -ისა. შემთხვევათა უმეტესობა (280) ადგილი პქონდა ტემპერატურის მცირე ჟარყოფით გადახრას, არა უმეტეს -2.0°C -ით. შემთხვევათა ნახევარზე მეტი, დაფიქსირებულია მოწმენდილი ცის პირობებში ≤ 2 ბალი და ა.შ.

ცხრილი 5.4.8. წაყინვების კომპლექსური მახასიათებლები ლენტებში

პაერის ტემპერა- ტურა		მოღრუ- ბლულობ- ა		ქარის სიჩქარე მ/წმ													
				0÷ 1		2÷ 4		5÷ 6		>6							
დან	მდე	დან	მდე	ფარდობითი სინოტივე (%)													
				≤ 60	$61 \div 80$	>80	≤ 60	$61 \div 80$	>80	≤ 60	$61 \div 80$	>80	≤ 60	$61 \div 80$	>80	$\%$	
0.0	-2.0	0	2		19	87		4	5		1	2	1			120	
		3	7		2	48		3	6						2	4	65
		8	10		4	45		2	9		1	8		5	20	95	
-2.1	-5.0	0	2	1	9	72		2	4							1	89
		3	7		2	32		4	3							1	42
		8	10		1	13		-	2			4		1	1	22	
ჯამი				1	37	297	-	15	29	-	2	14	1	8	28	433	

რაც შეეხება კომპლექსურ მახასიათებლებს მეტეოსადგურისათვის ამბოლაური, სათანადო მონაცემები მოყვანილი ცხრილში 5.4.9.

წინა შემთხვევის ანალოგიურად, წაყინვიან დღეთა დიდი უმეტესობა (328 შემთხვევა) აქაც დაფიქსირებულია სუსტი ქარის შემთხვევაში, $<1\text{d}/\text{წ}$. სხვ გრადაციებში ადგილი აქვს მხოლოდ $9 \div 11$ შემთხვევას. ცხადია რომ აქ ადგილი აქვს რადიაციული ტიპის წაყინვების დიდ უპირატესობას. შედარებით მომატებულია 60% და ნაკლები ფარდობითი სინოტივის დროს წაყინვების რაოდენობა (13), ეს შემთხვევები თითქმის თანაბრად ნაწილდება ქარის სხვადასხვა სიჩქარის დროს, კერძოდ ინტერვალში $2 \div 5$ -მდე. რაც შეეხება ტემპერატურის ინტერვალს, -2.0°C დაფიქსირებულია 237 შემთხვევა, რაც შეადგებს 66%-ს. რაც შეეხება მოღრუბლულობას, აქ მოწმენდილი ცის

პირობებში დაფიქსირდა 152 შემთხვევა, ხოლო უმეტესად მოღრუბლული ცისათვის 135 შემთხვევა და ა. შ.

ცხრილი 5.4.9. წაყინვების კომპლექსური მახასიათებლები ამბროლაურში

ჰაერის ტემპერა- ტურა	მოღრუბლ ულობა	ქარის სიჩქარე მ/წმ														
		0÷ 1		2÷ 4		5÷ 6		>6								
		ფარდობითი სინოტიგე (%)														
დან	მდე	დან	მდე	≤60	61÷80	>80	≤60	61÷80	>80	≤60	61÷80	>80	≤60	61÷80	>80	ჯამი
0.0	-2.0	0	2		28	60		2			2				1	93
		3	7	1	10	32				1				1	1	47
		8	10	1	13	71			3	2	2		1	1	4	97
-2.1	-5.0	0	2	1	20	35				1				1		59
		3	7	1	10	19		1					1	1		33
		8	10	1	7	18	2	1								28
ჯამი		5	88	235	2	4	3	4	4	1	3	3	5	357		

წაყინვების კომპლოქსური მახასიათებლები მეტეოსადგურ თნის შემთხვევაში მოცემული სათანადოდ ცხრილობი 5.4.10.

ცხრილი 5.4.10. წაყინვების კომპლექსური მახასიათებლები ონში

ჰაერის ტემპერა- ტურა	მოღრუბლ ულობა	ქარის სიჩქარე მ/წმ														
		0÷ 1		2÷ 4		5÷ 6		>6								
		ფარდობითი სინოტიგე (%)														
დან	მდე	დან	მდე	≤60	61÷80	>80	≤60	61÷80	>80	≤60	61÷80	>80	≤60	61÷80	>80	ჯამი
0.0	-2.0	0	2	2	12	80		2	2		1		2	2		104
		3	7		4	31		1	3		1		1	1		42
		8	10		6	36		4	10		9		1	4		70
-2.1	-5.0	0	2		8	52		1	3				1			65
		3	7		1	19										20
		8	10		11								1	1		13
ჯამი		2	31	229	-	8	18	-	11	1	5	8	-	314		

წინა შემთხვევების მსგავსად წაყინვიან დღეთა უმეტესობა მეორდება სუსტი ქარის შემთხვევაში (262). ქარის შემდეგ ინტერვალში შემთხვევათა

რიცხვი არ აღემატება 26 და ა. შ. შედარებით გაზრდილია შემთხვევათა რიცხვი (7), როცა ფარდობითი სინოტივე 60%-ზე ნაკლებია. აქაც ადგილი აქვს წაყინვების შემთვევაში ტემპერატურის მცირედ დაცემის საგრძნობ უპირატესობას, 216 შემთხვევა 98-ის წინააღმდეგ. მსგავსად წინა მეტეოსადგურების, წაყინვიან დღეთა რიცხვი ფარდობითი სინოტივის 80%-მეტ შემთხვევაში შეადგენს 248-ს, რაც დიდ უმრავლესობას წარმოადგენს.

იმედს ვიტოვებთ, რომ ჩვენი ეს მოკლე გამოკვლევა დაუხმარება პრაქტიკოსი ფერმერების უმრავლესობას, პრაქტიკულად პრაქტიკულად უზრუნველყონ ისეთი რტული და აქტუალური საკითხი, როგორიცაა ნათესების და ნარგავების დაცვა გაზაფხულის ბოლო და შემოდგომის პირველი წაყინვებისაგან.

5.5. ინტენსიური და უხვი ატმოსფერული ნალექები

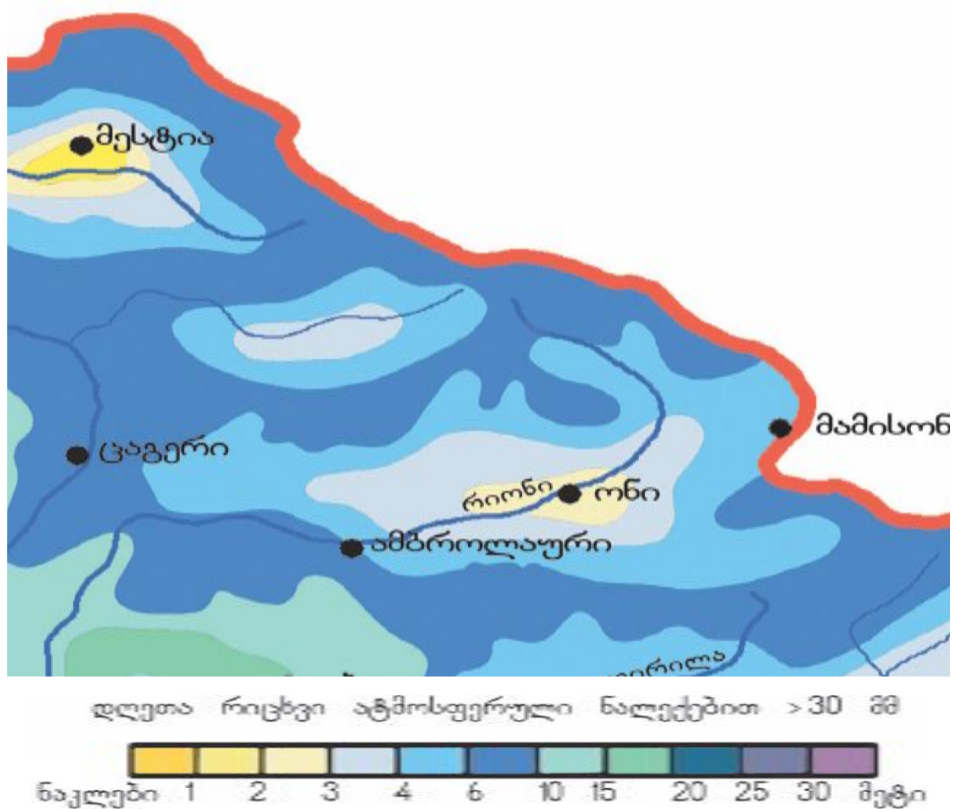
ინტენსიური ეწოდება ნალექებს, როდესაც დღედამის განმავლობაში მოსული მათი რაოდენობა აღემატება 20 მმ-ს, ხოლო უხვი ეწოდება ნალექებს, როდესაც მათი დღე-დამური ჯამები აღემატება 30მმ-ს. ასეთი ნალექები ამინდის საშიშ მოვლენად მიიჩნევა, რადგანაც შესაძლოა სტიქიური მოვლენების განვითარება გამოიწვიოს, მათ შორის წყალდიდობა, წყალმოვარდნა, დატბორვა, დვარცოფი და სხვ, და ამით დიდი მატერიალური ზარალი მიაყენოს ქვეყნის ეკონომიკას.

ცხრილში 5.5.1 წარმოდგენილია ინტენსიურ და უხვნალექიან დღეთა რიცხვის საშუალო თვიური და წლიური მნიშვნელობები 3 პუნქტისათვის, რომლებიც ახასიათებენ რეგიონის განსხვავებულ ფიზიკურ-გეოგრაფიულ პირობებს.

ცხრილიდან ჩანს, მთელი წლის განმავლობაში ინტენსიურ ნალექებიან დღეთა რიცხვი 5-13-ს, ხოლო უხვნალექიან დღეთა რიცხვი 1-4-ს შეადგენს. უფრო დეტალურ ინფორმაციას უხვნალექიან დღეთა რიცხვის რეგიონის ტერიტორიაზე განაწილების შესახებ იძლევა ნახ.5.5.1-ზე წარმოდგენილი რუპა.

ცხრილი 5.5.1. დღეთა რიცხვი ინტენსიური და უხვი ნალექებით

სადგური, დღეთა რიცხვი ნალექებით	თ ვ ე												წელი
	I	II	III	IV	V	VI	VII	VIII	IX	X	XI	XII	
ამბროლაური	ინტენსიური	0.8	1.0	0.4	0.3	0.7	1.0	0.8	0.9	1.2	1.5	1.2	1.0
	უხვი	0.2	0.3	0.2	0.1	0.1	0.5	0.3	0.5	0.6	0.5	0.4	0.4
შოვი	ინტენსიური	1.0	0.8	0.9	1.0	1.4	1.2	1.2	1.5	1.3	1.8	0.9	0.9
	უხვი	0.2	0.2	0.2	0.1	0.3	0.2	0.5	0.5	0.5	0.6	0.3	0.3
ქაშისონის უდ	ინტენსიური	0.5	0.5	0.6	0.3	0.4	0.4	0.6	0.8	0.3	0.3	0.3	0.4
	უხვი	0.1	0.2	0.1	0.2	0.1	0.03	0.1	0.3	0.03	0.03	0.1	0.1



ნახ. 5.5.1. დღეთა რიცხვი უხვი ნალექებით წელიწადში

რუკიდან ჩანს, რომ რეგიონის ტერიტორიაზე უხვ ნალექიან დღეთა რიცხვი წლის განმავლობაში იცვლება ერთიდან (შესაძლოა 0-დან) 6-10 და მეტ დღემდე. უხვი ნალექები განსაკუთრებით ხშირია კავკასიონის მაღალმთიან ზონაში, სადაც მერყეობს 6-10 დღეს შორის.

ხშირად ერთ დღედამეში მოსული ნალექების ჯამი აღემატება ინტენსიური და უხვი ნალექებისათვის დადგენილ კრიტერიუმებს- 20 და 30 მმ-ს (იხ.ცხრილი 5.5.2).

ცხრილი 5.5.2 ნალექების დღედამური მაქსიმუმების მახასიათებლები. მმ.

პუნქტი	აბსოლუტური მაქსიმუმი	საშუალო მაქსიმუმი	მოსალოდნელი ერთხელ
ჭრებალო	88	52	94
შოვი	89	47	94

ცხრილი 5.5.2-დან ჩანს, რომ ნალექების აბსოლუტური მაქსიმუმი რამოდენიმეჯერ აღემატება ინტენსიური და უხვი ნალექების კრიტერიუმებს.

ცხრილის თანახმად საუკუნეში ერთხელ მაინც მოსალოდნელი დღედამური ნალექების ჯამებიც საკმაოდ მაღალია, და 90 მმ-ს აღემატება

დასკვნა

გამოკვლეულია რაჭა-ლეჩხეუმი და ქვემო სვანეთის რეგიონის კლიმატი, კლიმატური და აგროკლიმატური რესურსები. ნაშრომი შესრულებულია წინასწარ შემუშავებული სტანდარტის შესაბამისად, და წარმოადგენს ადრეულ წლებში შესრულებული საქართველოს სხვა ადმინისტრაციული რეგიონების ანალოგიური კვლევების გაგრძელებას.

გაანალიზებულია კლიმატის ფორმირების ძირითადი ფაქტორები: ფიზიკურ-გეოგრაფიული პირობები, კლიმატის რადიაციული ფაქტორები, ატმოსფერული ჰაერის წნევა და ატმოსფეროს ცირკულაციური პროცესები.

დეტალურად გამოკვლეულია კლიმატის ძირითადი ელემენტების ჰაერის ტემპერატურის, ჰაერის სინოტივის, ატმოსფერული ნალექების, თოვლის საფარის და ქარის ტერიტორიული განაწილება და გამოვლენილია ამ განაწილებათა რიგი კანონზომიერებები სივრცესა და დროში.

შეფასებულია რეგიონის საკურორტო, ჰელიოენერგეტიკული და ქარის ენერგეტიკული რესურსები. შემუშავებულია რეკომენდაციები მათი რაციონალურად გამოყენების მიზნით.

შეფასებულია აგროკლიმატური რესურსები, გამოკვლეულია აგროკულტურების სითბოთი და ტენიო უზრუნველყოფა, დადგენილია აგროკლიმატური ზონები, შესწავლილია აგროკულტურებისათვის ამინდის არახელსაყრელი მოვლენები და დამუშავებულია აგრომეტოროლოგიური პროგნოზების სქემები.

გაანალიზებულია ამინდის საშიში და სტიქიური მოვლენები: ძლიერი ქარები, ქარბუქი, ნისლი, წაყინვები, ინტენსიური და უხვი ატმოსფერული ნალექები.

ლიტერატურა პირველი თავის

1. მარჯაშვილი ლ., საქართველოს ფიზიკური გეოგრაფია, გამომცემლობა “ცოდნა”, თბილისი 1964, 285გვ.
2. საქართველოს სამეცნიერო-გამოყენებითი კლიმატური ცნობარი, ნაწ.1, თბილისი, 2011, 220გვ.
3. საქართველოს გეოგრაფია ნაწილი 1, ფიზიკური გეოგრაფია, გამომცემლობა ”მეცნიერება”, თბილისი 2000, 314გვ.
4. სამუკაშვილი რ. კავკასიის ტერიტორიის რადიაციული რეჟიმი და ჰელიოენერგეტიკული რესურსები, თბილისი, გამომცემლიბა “უნივერსალი”, 2017, 339 გვ.
5. Биометеорология. Избранные труды второго международного биоклиматического конгресса. Лондон 1966, 340с.
6. Борзенкова И.И. К методике расчёта суммарной радиации условий горного плато. Труды ГГО, вып. 179, Л., 1965, с.33-45.
7. Берлянд Т.Г. Методика климатологических расчётов суммарной радиации, Метеорология и гидрометеорология №6, 1960, 3-15с.
8. Берлянд М.Е., Берлянд Т.Г. Определение Эффективного излучения Земли с учётом облачности. Изд. АН СССР, сер. геофиз. №1, 1952, с.3-18.
9. Будыко М.И., Берлянд Т.Г., Зубенок Л.И. Методика климатологических расчётов составляющих теплового баланса. Труды ГГО, вып.40(110), Л., Гидрометеоиздат, 1954, с.3-15.
10. Диртнейрн И. Исследование радиации в Восточных Альпах с учётом зависимости от высоты над уровнем моря, Журнал Метеорологии, геофизики и биоклиматологии, Т.3, 1951, с.7-15.
11. Пивоварова З.И. Радиационные характеристики климата СССР, Л., Гидрометеоидат, 1977, 323с.
12. Пивоварова З.И., Стадник В.В. О точности данных наблюдений актинометрической сети и оптимальном расстоянии между станциями. Труды ГГО, вып. 249, 1969, с.3-32.
13. Самукашвили Р.Д. Влияние снежного покрова на годовой ход отраженной радиации и альбедо в условиях Кавказа. Труды ВГИ, вып. 46, 1980, с.33-42.
14. Самукашвили Р.Д. Радиационный режим северного климата Большого Кавказа. Изд., „Универсал”, Тбилиси, 2016, 159с.

15. Самукашвили Р.Д. О корреляционных связях между радиационным балансом и его составляющими для территории Кавказа. Труды ВГИ, вып. 66, 1987, с.17-22.
16. Сивков С.И. Методы расчёта характеристик солнечной радиации. Гидрометеоиздат Л., 1968, 131с.
17. Справочник по климату СССР, вып. 14, Облачность и атмосферные явления, Гидрометеоиздат Л., 1970, 314с.
18. Стейнхаузер Ф. О зависимости прямой солнечной и рассеянной радиации от высоты над уровнем моря в Восточных Альпах, Журнал Метеорология, Т.4, 1951, с.9-14.

ლიტერატურა მეორე თავის

1. ქ. ელიზბარაშვილი. საქართველოს პავა. თბილისი, 2017, 360გვ.
2. მარჯაშვილი ლ., საქართველოს ფიზიკური გეოგრაფია, გამომცემლობა “ცოდნა”, თბილისი 1964, 285გვ.
3. საქართველოს გეოგრაფია ნაწილი 1, ფიზიკური გეოგრაფია, გამომცემლობა ”მეცნიერება”, თბილისი 2000, 214გვ.
4. საქართველოს სამეცნიერო-გამოყენებითი კლიმატური ცნობარი, ნაწ.1, ცალკეული კლიმატური მახასიათებლები, თბილისი 2004, 220გვ.
5. საქართველოს კურორტები და საკურორტო რესურსები. ატლასი, მოსკოვი, 1989, 145გვ.
6. საქართველოს კლიმატური და აგროკლიმატური ატლასი. თბილისი, 2011, 120გვ.
7. საქართველოს ქარის ენერგეტიკული ატლასი, თბილისი, 2004, 240გვ.
8. საქართველოს პავა. ტომი. 1, აჭარა. სტუ ჰმი შრომათა კრებული, ტ.110, 2003, 113გვ.
9. საქართველოს პავა. ტომი. 2, აფხაზეთი. სტუ ჰმი შრომათა კრებული, ტ.110, 2006, 113გვ.
10. საქართველოს პავა. ტომი. 3, სამეცნიელო-ზემო სვანეთი. სტუ ჰმი შრომათა კრებული, ტ.110, 2010, 82გვ.
11. საქართველოს პავა. ტომი. 4, გურია. სტუ ჰმი შრომათა კრებული, ტ.118, 2011, 92გვ.
12. საქართველოს პავა. ტომი. 5, შიდა ქართლი. სტუ ჰმი შრომათა კრებული, ტ.122, 2016, 96გვ.

13. საქართველოს პავა. ტომი. 6, იმერეთი. სტუ პმი შრომათა კრებული, გ.126, 2018, 122გვ.
14. საქართველოს პავა. ტომი. 7, კახეთი. სტუ პმი შრომათა კტებული, გ.128, 2019.
15. Научно-прикладной спровочник по климату СССР Серия 3, Многолетние данные, Части 1-6, вып. 14, Грузинская ССР, Л., Гидрометеоиздат, 1990, 346с.
16. Справочник по климату СССР вып. 14, часть 3, Ветер, Л., Гидрометеоиздат, 1968, 386с.
17. Справочник по климату СССР, выпуск 14 . Температура воздуха и почвы. Гидрометеоиздат, Л , 1967, 374с.
18. Справочник по климату СССР вып. 14, Грузинская ССР, Солнечная радиация, радиационны баланс и солнечное сияние, Гидрометеоиздат Л., 1968, 72с.
19. Справочник по климату СССР вып. 14, Облачность и атмосферные явления, Гидрометеоиздат Л., 1970, 314с.
20. Сухишвили Э.В. Режим ветра на Колхидской низменности. Труды Зак НИГМИ, вып. 5, Л., Гидрометеоиздат, 1959, с.13-43.
21. Чирақадзе Г.И. Климат Тбилиси в новых границах. Труды Зак НИГМИ, вып. 26(32), 1957, с.3-19.
22. Цуцкиридзе Я.А. Радиационный и термический режим территории Грузии. Л., 1967, 162с.

ლიტერატურა მესამე თავის

1. ე. ელიზბარაშვილი. საქართველოს პავა. თბილისი, 2017, 360გვ.
2. ე. ელიზბარაშვილი. საქართველოს კლიმატური რესურსები. თბილისი, 2007, 328გვ
3. საქართველოს კურორტები და საკურორტო რესურსები. ატლასი, მოსკოვი, 1989, 145გვ.
4. საქართველოს კლიმატური და აგროკლიმატური ატლასი. თბილისი, 2011, 120გვ.
5. საქართველოს ქარის ენერგეტიკული ატლასი, თბილისი, 2004, 240გვ.
6. საქართველოს სამეცნიერო-გამოყენებითი კლიმატური ცნობარი, ნაწ.1, ცალკეული კლიმატური მახასიათებლები, თბილისი 2004, 220გვ.
7. საქართველოს პავა. სამეცნიერო-გამოყენებითი კლიმატური ცნობარი, ნაწ.1, ცალკეული კლიმატური მახასიათებლები, თბილისი 2004, 220გვ.
8. საქართველოს პავა. ტომი. 1, აჭარა. სტუ პმი შრომათა კრებული, გ.110, 2003, 113გვ.

12. საქართველოს პაკა. ტომი. 2, აფხაზეთი. სტუ პმი შრომათა კრებული, ტ.110, 2006, 113გვ.
13. საქართველოს პაკა. ტომი. 3, სამეგრელო-ზემო სვანეთი. სტუ პმი შრომათა კრებული, ტ.110, 2010, 82გვ.
14. საქართველოს პაკა. ტომი. 4, გურია. სტუ პმი შრომათა კრებული, ტ.118, 2011, 92გვ.
15. საქართველოს პაკა. ტომი. 5, შიდა ქართლი. სტუ პმი შრომათა კრებული, ტ.122, 2016, 96გვ.
16. საქართველოს პაკა. ტომი. 6, იმერეთი. სტუ პმი შრომათა კრებული, ტ.126, 2018, 122გვ.
17. საქართველოს პაკა. ტომი. 7, კახეთი. სტუ პმი შრომათა კრებული, ტ.128, 2019.
18. იჭინჭარაშვილი. კახეთის რეგიონის კლიმატური რესურსები. თბილისი, 2009, 119გვ.
19. Балабуев А.Г., Месхи И.С. Ветроенергетические ресурсы Грузинской ССР, Тбилиси АН ГСССР, 1959, 66с.
20. Биометеорология. Л., Гидрометеоиздат, 1965, 340с.
21. Научно-прикладной справочник по климату, СССР, серия 3, вып. 14, Грузинская ССР, Л., Гидрометеоиздат, 1990, 346с.
22. Самукашвили Р.Д. Прямая солнечная радиация на склонах в условиях Большого Кавказа, Труды ВГИ, вып. 62, Л., Гидрометеоиздат 1985, с.16-22.
23. Самукашвили Р.Д. Оценка условий практического использования лучистой энергии солнца в условиях Кавказа, Труды ВГИ, вып. 73, Л., Гидрометеоиздат 1988, с.18-33.
24. Сваниძე Г.Г., Гагуа В.П., Сухишвили Э.В. Возобновляемые энергоресурсы Грузии. Л., Гидрометеоиздат, 1987, 174с.
25. Справочник по климату СССР, выпуск 14 . Температура воздуха и почвы. Гидрометеоиздат, Л , 1967, 374с.
26. Справочник по климату СССР вып. 14, часть 3, Ветер, Л., Гидрометеоиздат, 1968, 386с.
27. Справочник по климату СССР вып. 14, Грузинская ССР, Солнечная радиация, радиационный баланс и солнечное сияние, Гидрометеоиздат Л., 1968, 72с.
28. Справочник по климату СССР вып. 14, Облачность и атмосферные явления, Гидрометеоиздат Л., 1970. 215с.

29. Цуцкиридзе Я.А. Ресурсы солнечной энергии.- В кн.: Климат и климатические ресурсы Грузии. Л., Гидрометеоиздат, 1971. Сю, 132-140.
30. Элизбарашвили Э.Ш., Гонгладзе Н.Ш.. Климатография курортов Грузии. Тбилиси, 1980, 246с.
31. Мелия Г.Т. Гелиоэнергетические ресурсы Грузинской ССР. Тбилиси, Изд-во. АН ГССР, 1959, 87с.
32. Сухишвили Э.В. Ветроэнергетические ресурсы Грузии. Труды ТбилНИГМИ, 1959, с.16-32.

ლიტერატურა მეოთხე თავის

1. მელაძე მ. კახეთის რეგიონში სასოფლო-სამეურნეო კულტურების ზრდა-განვითარების ძირითადი აგრომეტეოროლოგიური ფაქტორების უზრუნველყოფა. აგრარული მეცნიერების პრობლემები, გ. XXXVI, 2006, გვ. 20-22
2. მელაძე გ., თუთარაშვილი მ., მელაძე მ. კახეთის რეგიონში ფერმერულ მეურნეობათა განვითარება აგროკლიმატური პირობების გათვალისწინებით. საქართველოს მეცნიერებათა აკადემიის პიდრომეტეოროლოგიის ინსტიტუტის შრომები, გ. 111 თბილისი, 2007, გვ. 160-167
3. მელაძე გ., მელაძე მ. კახეთის რეგიონის აგროეკოლოგიური ზონები. საქართველოს სოფლის მეურნეობის მეცნიერებათა აკადემიის მოამბე, გ. 33, 2014, გვ. 215-218
4. მელაძე გ., მელაძე მ. საქართველოს ადმოსავლეთ რეგიონების აგროკლიმატური რესურსები. გამომც. „უნივერსალი”, თბილისი, 2010, გვ. 293
5. მელაძე გ., მელაძე მ., თუთარაშვილი მ. აგრომეტეოროლოგიური ფაქტორების გავლენა საშემოდგომო ხორბლის გამოზამთრებასა და მოსავალზე. საქართველოს ტექნიკური უნივერსიტეტის პიდრომეტეოროლოგიის ინსტიტუტის შრომები, გ. 116, 2011 გვ. 26-29
6. საქართველოს კლიმატური და აგროკლიმატური ატლასი. თბილისი, 2011, 120გვ.
7. საქართველოს პავა. ტომი. 1, აჭარა. სტუ პმი შრომათა კრებული, გ.110, 2003, 113გვ.
8. საქართველოს პავა. ტომი. 2, აფხაზეთი. სტუ პმი შრომათა კრებული, გ.110, 2006, 113გვ.

9. საქართველოს პავა. ტომი. 3, სამეგრელო-ზემო სვანეთი. სტუ პმი შრომათა კრებული, ტ.110, 2010, 82გვ.
10. საქართველოს პავა. ტომი. 4, გურია. სტუ პმი შრომათა კრებული, ტ.118, 2011, 92გვ.
11. საქართველოს პავა. ტომი. 5, შიდა ქართლი. სტუ პმი შრომათა კრებული, ტ.122, 2016, 96გვ.
12. საქართველოს პავა. ტომი. 6, იმერეთი. სტუ პმი შრომათა კრებული, ტ.126, 2018, 122გვ.
13. საქართველოს პავა. ტომი. 7, კახეთი. სტუ პმი შრომათა კრებული, ტ.128, 2019.
14. Агроклиматические ресурсы Грузинской ССР, под. ред. Турманидзе Т.И. Гидрометеоиздат, Л., 1978, 343с.

ლიტერატურა მეცნიერებების

1. ე. ელიზბარაშვილი. საქართველოს პავა. ობილისი, 2017, 360გვ.
2. ე.ელიზბარაშვილი, მ.ტატიშვილი, მ.ელიზბარაშვილი, რ.მესხია, შ.ელიზბარაშვილი. საქართველოს კლიმატის ცვლილება გლობალური დათბობის პირობებში, ობილისი, 2013, 128გვ.
3. საქართველოს სამეცნიერო-გამოყენებითი კლიმატური ცნობარი. ცალკეული კლიმატური მახასიათებლები. ნაწ.1, ობილისი, 2004, 220გვ.
4. საქართველოს კლიმატური და აგროკლიმატური ატლასი. ობილისი, 2011, 120გვ.
5. საქართველოს ქარის ენერგეტიკული ატლასი, ობილისი, 2004, 240გვ.
5. საქართველოს პავა. ტომი. 1, აჭარა. სტუ პმი შრომათა კრებული, ტ.110, 2003, 113გვ.
6. საქართველოს პავა. ტომი. 2, აფხაზეთი. სტუ პმი შრომათა კრებული, ტ.110, 2006, 113გვ.
7. საქართველოს პავა. ტომი. 3, სამეგრელო-ზემო სვანეთი. სტუ პმი შრომათა კრებული, ტ.110, 2010, 82გვ.
8. საქართველოს პავა. ტომი. 4, გურია. სტუ პმი შრომათა კრებული, ტ.118, 2011, 92გვ.
9. საქართველოს პავა. ტომი. 5, შიდა ქართლი. სტუ პმი შრომათა კრებული, ტ.122, 2016, 96გვ.

10. საქართველოს პაგა. ტომი. 6, იმერეთი. სტუ პმი შრომათა კრებული, ტ.126, 2018, 122გვ.
11. საქართველოს პაგა. ტომი. 7, კახეთი. სტუ პმი შრომათა კრებული, ტ.128, 2019.
12. Справочник по климату СССР вып. 14, часть 3, Ветер, Л., Гидрометеоиздат, 1966, 386с.
13. Справочник по климату СССР вып. 14, Облачность и атмосферные явления, Гидрометеоиздат Л., 1970, 315с.
14. Элизбарашвили Э.Ш.,Элизбарашвили М.Э. Основные проблемы климатологии ландшафтов. Зеон. Тбилиси, 2006, 118 с.
15. Элизбарашвили Э.Ш., Элизбарашвили М.Э. Стихийные метеорологические явления на территории Грузии. Зеон. Тбилиси,2012, 104 с.
16. Impacts of Desertification and Drought and other Extreme Meteorological Events. Prepared by Gathara S.T. Geneva, Switzerland, 2006.